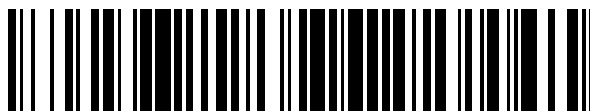


19



OFICINA ESPAÑOLA DE
PATENTES Y MARCAS

ESPAÑA



11 Número de publicación: **2 778 905**

51 Int. Cl.:

C07K 14/705 (2006.01)

12

TRADUCCIÓN DE PATENTE EUROPEA

T3

86 Fecha de presentación y número de la solicitud internacional: **26.04.2016 PCT/GB2016/051161**

87 Fecha y número de publicación internacional: **03.11.2016 WO16174405**

96 Fecha de presentación y número de la solicitud europea: **26.04.2016 E 16721210 (9)**

97 Fecha y número de publicación de la concesión europea: **19.02.2020 EP 3288969**

54 Título: **Constructo de ácido nucleico para la expresión de más de un receptor de antígeno quimérico**

30 Prioridad:

27.04.2015 GB 201507111

45 Fecha de publicación y mención en BOPI de la traducción de la patente:

12.08.2020

73 Titular/es:

**UCL BUSINESS LTD (100.0%)
The Network Building, Tottenham Court Road
London W1T 4TP, GB**

72 Inventor/es:

**PULÉ, MARTIN y
CORDOBA, SHAUN**

74 Agente/Representante:

ISERN JARA, Jorge

ES 2 778 905 T3

Aviso: En el plazo de nueve meses a contar desde la fecha de publicación en el Boletín Europeo de Patentes, de la mención de concesión de la patente europea, cualquier persona podrá oponerse ante la Oficina Europea de Patentes a la patente concedida. La oposición deberá formularse por escrito y estar motivada; sólo se considerará como formulada una vez que se haya realizado el pago de la tasa de oposición (art. 99.1 del Convenio sobre Concesión de Patentes Europeas).

DESCRIPCIÓN

Construceto de ácido nucleico para la expresión de más de un receptor de antígeno quimérico

5 Campo de la invención

La presente invención se refiere a constructos y enfoques para expresar más de un receptor de antígeno quimérico (CAR) en la superficie de una célula. La célula puede ser capaz de reconocer específicamente una célula objetivo, debido a un patrón diferencial de expresión (o no expresión) de dos o más antígenos por parte de la célula objetivo.
 10 Los constructos de la invención permiten la modulación de la expresión relativa de los dos o más CAR en la superficie celular mediante un método que implica la coexpresión de los CAR a partir de un único vector.

Antecedentes de la invención

15 Se han descrito varios agentes inmunoterapéuticos para su uso en el tratamiento del cáncer, que incluyen anticuerpos monoclonales terapéuticos (mAb), mAb inmunoconjugados, mAb radioconjugados y activadores de células T biespecíficas.

20 Típicamente, estos agentes inmunoterapéuticos se unen a un único antígeno: por ejemplo, Rituximab se une a CD20; Myelotarg se une a CD33; y Alemtuzumab se une a CD52.

Sin embargo, es relativamente raro que la presencia (o ausencia) de un solo antígeno describa eficazmente un cáncer.

25 La hipótesis de Goldie-Coldman proporciona un problema particular en el campo de la oncología: que describe que el único objetivo de un solo antígeno puede dar como resultado la fuga del tumor mediante la modulación de dicho antígeno debido a la alta tasa de mutación inherente en la mayoría de los cánceres. Esta modulación de la expresión del antígeno puede reducir la eficacia de los compuestos inmunoterapéuticos conocidos.

30 La heterogeneidad tumoral describe la observación de que diferentes células tumorales pueden mostrar distintos perfiles morfológicos y fenotípicos, que incluyen morfología celular, expresión génica, metabolismo, proliferación y potencial metastásico. Este fenómeno ocurre tanto entre tumores como dentro de los tumores. Se ha observado heterogeneidad tumoral en leucemias, cánceres de mama, próstata, colon, cerebro, cabeza y cuello, vejiga y ginecológicos, por ejemplo. La heterogeneidad tumoral puede dar como resultado la expresión de diferentes antígenos en la superficie de las células dentro de un tumor o entre tumores. Esta heterogeneidad de las células cancerosas
 35 presenta desafíos importantes en el diseño de estrategias de tratamiento efectivas.

Por lo tanto, existe la necesidad de agentes inmunoterapéuticos que sean capaces de unirse a más de un antígeno para reflejar el patrón complejo de la expresión del marcador que está asociada con muchos cánceres.

40 Receptores de antígeno quimérico (CAR)

Los receptores de antígeno quimérico son proteínas que injertan la especificidad de un anticuerpo monoclonal (mAb) para la función efectora de una célula T. Su forma habitual es la de una proteína de dominio transmembrana tipo I con un terminal amino que reconoce el antígeno, un espaciador, un dominio transmembrana, todo conectado a un endodominio compuesto que transmite señales de activación y supervivencia de células T (véase Figura 1A).
 45

La forma más común de estas moléculas son fusiones de fragmentos variables de cadena sencilla (scFv) derivados de anticuerpos monoclonales que reconocen un antígeno objetivo, fusionado a través de un espaciador y un dominio transmembrana a un endodominio de señalización. Dichas moléculas dan como resultado la activación de las células T en respuesta al reconocimiento por parte del scFv de su objetivo. Cuando las células T expresan dicho CAR, reconocen y eliminan las células objetivo que expresan el antígeno objetivo. Se han desarrollado varios CAR contra antígenos asociados a tumores, y los enfoques de transferencia adoptiva que usan tales células T que expresan CAR se encuentran actualmente en ensayos clínicos para el tratamiento de varios tipos de cáncer.
 50

55 Se ha observado que el uso de un enfoque con CAR para el tratamiento del cáncer, la heterogeneidad tumoral y la inmunoección pueden provocar el escape del tratamiento con CAR. Por ejemplo, en el estudio descrito por Grupp et al., (2013; New Eng. J. Med 368: 1509-1518), se utilizó el enfoque de células T modificado con CAR para el tratamiento de la leucemia linfocítica aguda. Se descubrió que un paciente del ensayo con CAR anti-CD19 recayó con enfermedad negativa para CD19 dos meses después del tratamiento.
 60

Expresión de dos especificidades de unión a CAR

65 Se han desarrollado CAR biespecíficos conocidos como CAR en tándem o TanCAR en un intento de unir múltiples marcadores específicos de cáncer simultáneamente. En un TanCAR, el dominio extracelular comprende dos especificidades de unión a antígeno en tándem, unidas por un conector. Por lo tanto, las dos especificidades de unión

(scFv) están unidas a una sola porción transmembrana: un scFv está yuxtapuesto a la membrana y el otro en posición distal.

Grada et al., (2013, Mol Ther Nucleic Acids 2: e105 describe un TanCAR que incluye un scFv específico de CD19, seguido de un conector Gly-Ser y luego un scFv específico de HER2. El HER2-scFv estaba en la posición yuxtamembrana, y el CD19-scFv en la posición distal. Se demostró que el TanCAR induce distinta reactividad de las células T contra cada uno de los dos antígenos tumorales restringidos. Esta disposición se eligió debido a las longitudes respectivas de HER2 (632 aa/125Å) y CD19 (280aa, 65Å) se presta por sí misma para esa disposición espacial particular. También se sabía que el HER2-scFv unía los 4 bucles más distales de HER2.

El problema con este enfoque es que el scFv yuxtamembrana puede ser inaccesible debido a la presencia del scFv distal, especialmente el que está unido al antígeno. En vista de la necesidad de elegir las posiciones relativas de los dos scFv en vista de la disposición espacial del antígeno en la célula objetivo, puede que no sea posible utilizar este enfoque para todos los pares de unión de scFv. Además, es poco probable que el enfoque TanCAR pueda usarse para más de dos scFv, un TanCAR con tres o más scFv sería una molécula muy grande y los scFv podrían replegarse entre sí, ocultando los sitios de unión al antígeno. También es dudoso que la unión al antígeno por el scFv más distal, que está separado del dominio transmembrana por dos o más scFv adicionales, sea capaz de desencadenar la activación de las células T.

Una opción alternativa sería expresar dos o más CAR del mismo vector.

Se han desarrollado varios métodos diferentes para permitir la coexpresión de dos proteínas a partir de un solo vector (véase Figura 3).

Los intentos iniciales usaron dos promotores diferentes dentro del mismo casete. Esto da como resultado dos transcripciones separadas, cada una de las cuales codifica para una proteína separada. Este es un enfoque difícil por varias razones. Un problema clave es la "interferencia del promotor" mediante la cual un promotor domina y provoca el silenciamiento del segundo promotor. Además, diferentes promotores funcionan de manera diferente en diferentes contextos celulares y esto hace que el "ajuste" consistente de la expresión relativa de cada transgén sea difícil de lograr.

Un enfoque alternativo es usar una secuencia de entrada al ribosoma interno (IRES). En el presente documento, se genera una sola transcripción. La secuencia IRES en la transcripción se coloca entre los marcos de lectura abiertos para los dos transgenes e imita una estructura de caperuza de ARNm. Por lo tanto, el ribosoma inicia la traducción en la caperuza 5' o la IRES, lo que resulta en la expresión de dos proteínas separadas. Una limitación clave con este enfoque es la incapacidad de controlar la expresión relativa. La transcripción 3' generalmente se expresa menos que la 5', pero la relación de expresión es difícil de predecir y ajustar.

Se ha proporcionado un enfoque adicional después de la caracterización del papel del péptido 2A del virus de la fiebre aftosa (FMDV) para permitir que el FMDV (y los virus relacionados) expresen múltiples proteínas desde un único marco de lectura abierto (ORF) (Donnelly et al.; J. Gen. Virol.; 82, 1027-1041 (2001)). El péptido 2A (y sus homólogos) se escinde con una eficiencia muy alta inmediatamente después de la traducción del ORF, permitiendo la expresión de múltiples péptidos a partir de un solo ORF. Un problema con el uso del péptido 2A para escisión entre diferentes péptidos en el mismo ORF es que la expresión está limitada a una relación 1:1.

La expresión relativa de diferentes antígenos tumorales es muy variable. Para adaptar el reconocimiento de una célula tumoral por una célula que expresa dos o más CAR, sería muy ventajoso si la expresión relativa de los CAR en la superficie celular reflejara la expresión relativa de los antígenos en la célula tumoral.

Por lo tanto, existe la necesidad de métodos alternativos para expresar más de un CAR a partir de un único vector que permita tal "adaptación" del reconocimiento de antígeno.

Resumen de los aspectos de la invención

Los presentes inventores han desarrollado un panel de pares de receptores de antígenos quiméricos "controlados lógicamente" que, cuando son expresados por una célula, tal como una célula T, son capaces de detectar un patrón particular de expresión de al menos dos antígenos objetivo. Si los al menos dos antígenos objetivo se denotan arbitrariamente como antígeno A y antígeno B, las tres opciones posibles son las siguientes:

"COMPUERTA O ": la célula T se activa cuando el antígeno A o el antígeno B están presentes en la célula objetivo
 "COMPUERTA Y ": la célula T se activa solo cuando ambos antígenos A y B están presentes en la célula objetivo
 "COMPUERTA Y NO": la célula T se activa si el antígeno A está presente solo en la célula objetivo, pero no si ambos antígenos A y B están presentes en la célula objetivo.

Las células T modificadas que expresan estas combinaciones de CAR se pueden adaptar para que sean exquisitamente específicas para las células cancerosas, en función de su expresión particular (o falta de expresión) de dos o más marcadores.

5 Los presentes inventores también han descubierto que, cuando un CAR se coexpresa con un segundo CAR como una poliproteína que después de la traducción se escinde para separar los dos CAR, es posible modular la expresión relativa de la superficie celular de los dos CAR reduciendo el tráfico a la superficie celular de uno o ambos CAR y reduciendo su vida media en la superficie celular. Esto no necesita limitarse a un par de CAR, sino que puede usarse para permitir el control de la expresión relativa de múltiples proteínas traducidas inicialmente como una poliproteína.

10 Como se usa en el presente documento, 'poliproteína' se refiere a una secuencia de polipéptidos traducida a partir de un solo constructo de ácido nucleico como una única entidad, pero que comprende secuencias de polipéptidos que se separan posteriormente y que funcionan como entidades discretas (por ejemplo, CAR separados).

15 La presente invención se refiere a una compuerta lógica O, en la que la expresión relativa de los dos CAR se modula mediante la incorporación de una señal de retención intracelular en uno o ambos CAR y/o alterando el péptido de señalización de un CAR para eliminar o reemplazar aminoácidos hidrófobos.

20 Por lo tanto, en un primer aspecto, la presente invención proporciona un constructo de ácido nucleico que comprende la siguiente estructura:

A-X-B

en la cual

25 A y B son secuencias de ácido nucleico que codifican un primer receptor de antígeno quimérico (CAR) y un segundo CAR; y

X es una secuencia de ácido nucleico que codifica un sitio de escisión, en el que

30 el primer CAR y el segundo CAR reconocen diferentes antígenos; el primer CAR y el segundo CAR comprenden cada uno un endodominio activador; y en el que

(a) el primer CAR y/o el segundo CAR comprenden una señal de retención intracelular seleccionada del siguiente grupo: una señal de endocitosis; una señal de retención de Golgi; una señal de reciclaje de la red trans-Golgi (TGN); una señal de retención del retículo endoplásmico (ER); y una señal de clasificación lisosómica; y/o

35 (b) el péptido de señalización del primer o segundo CAR comprende una o más mutaciones de tal manera que el péptido de señalización del primer CAR y el segundo CAR difieren en su número de aminoácidos hidrófobos y en el que un péptido de señalización comprende hasta cinco aminoácidos hidrófobos más que el otro péptido de señalización.

40 Para (b) el péptido de señalización mutado puede tener menos aminoácidos hidrófobos que la secuencia del péptido de señalización "de tipo silvestre" de la que se deriva. El péptido de señalización mutado puede tener menos aminoácidos hidrófobos que el péptido de señalización del otro CAR.

45 Cada CAR puede comprender:

- (i) un dominio de unión a antígeno;
- (ii) un espaciador; y
- (iii) un dominio transmembrana.

50 El espaciador del primer CAR puede ser diferente al espaciador del segundo CAR. Por ejemplo, el espaciador del primer CAR puede tener una longitud y/o configuración diferente del espaciador del segundo CAR, de modo que cada CAR está diseñado para el reconocimiento de su respectivo antígeno objetivo.

55 Los dos o más CAR pueden tener porciones de alta homología, por ejemplo, los dominios de señalización transmembrana y/o intracelular pueden ser altamente homólogos. Si se usan los mismos conectores o similares para los dos CAR, entonces también serán altamente homólogos. Con el fin de evitar la recombinación homóloga entre las secuencias, porciones de áreas que codifican secuencias de alta homología pueden ser "codones desplazados". El desplazamiento de codones implica el uso de codones alternativos en regiones de secuencia que codifican secuencias de aminoácidos iguales o similares.

60 En una realización particular, un CAR se une a CD19 y el otro CAR se une a CD20. En otra realización, un CAR se une a CD19 y el otro CAR se une a CD22.

65 La presente invención se refiere a un método para modular la expresión relativa de dos (o más) CAR en una compuerta lógica O, mediante uno o ambos de los siguientes enfoques (a) por la incorporación de una señal de retención

intracelular en uno o ambos CAR y (b) alterando el péptido de señalización de un CAR para eliminar o reemplazar aminoácidos hidrófobos.

Para el enfoque (a), el endodominio del CAR puede comprender la señal de retención intracelular.

5 La señal de retención intracelular puede dirigir el CAR lejos de la ruta secretora y/o hacia un compartimiento intracelular unido a la membrana, tal como un compartimiento lisosómico, endosómico o de Golgi.

10 La señal de retención intracelular puede ser, por ejemplo, una señal de clasificación basada en tirosina, una señal de clasificación basada en dileucina, una señal de agrupación ácida, una señal de evitación lisosómica, una señal de tipo NPF_X(1,2)D, una señal KDEL, una señal K_{KX}'X' o una señal K_X'K_X'X' (en las que X' es cualquier aminoácido).

15 La señal de retención intracelular puede comprender una secuencia seleccionada del grupo de: NPX'Y, YX'X'Z', [DE] X'X'X'L[LI], DX'X'LL, DP[FW], FX'DX'F, NPF, LZX'Z[DE], LLDLL, PWDLW, KDEL, K_{KX}'X' o K_X'K_X'X'; en las que X' es cualquier aminoácido y Z' es un aminoácido con una cadena lateral hidrófoba voluminosa.

La señal de retención intracelular puede comprender cualquiera de las secuencias mostradas en las Tablas 7 a 11.

20 La señal de retención intracelular puede comprender la señal de retención intracelular de la proteína 1 relacionada con la tirosinasa (TYRP)-1. La señal de retención intracelular puede comprender el dominio intracelular de TYRP-1. La señal de retención intracelular puede comprender la secuencia NQPLLD (SEQ ID NO. 1).

25 La señal de retención intracelular puede comprender la señal de retención intracelular adenoviral E3/19K. La señal de retención intracelular puede comprender el dominio citosólico E3/19K. La señal de retención intracelular puede comprender la secuencia KYKSRRSFIDEKKMP (SEQ ID NO. 2); o DEKKMP (SEQ ID NO. 3).

La señal de retención intracelular puede ser proximal o distal a un dominio transmembrana del CAR.

30 Para el enfoque (b), los péptidos señal del primer y segundo CAR son diferentes. Pueden diferir en su número de aminoácidos hidrófobos. Un péptido de señalización puede comprender una o más mutaciones de manera que tenga menos aminoácidos hidrófobos, ya sea a) que la secuencia de tipo silvestre de la que se deriva; o b) que el otro péptido de señalización.

35 Los péptidos señal pueden ser diferentes y la secuencia de un péptido de señalización puede alterarse de modo que los aminoácidos hidrófobos se eliminen o reemplacen. Alternativamente, el primer péptido de señalización y el segundo péptido de señalización pueden derivarse de la misma secuencia, pero un péptido de señalización puede comprender una o más eliminaciones/sustituciones de aminoácidos para eliminar/reemplazar uno o más aminoácidos hidrófobos en comparación con el otro péptido de señalización.

40 El o los aminoácidos hidrófobos eliminados o reemplazados pueden seleccionarse del grupo: Alanina (A); Valina (V); Isoleucina (I); Leucina (L); Metionina (M); Fenilalanina (P); Tirosina (Y); Triptófano (W) o del grupo Valina (V); Isoleucina (I); Leucina (L); y Triptófano (W).

45 Para el enfoque (b), un péptido de señalización puede comprender una, dos, tres, cuatro o cinco mutaciones, de modo que tenga uno, dos, tres, cuatro o cinco aminoácidos hidrófobos menos que: la secuencia señal de tipo silvestre de la cual se deriva y/o el otro péptido de señalización.

50 En el constructo de ácido nucleico de la presente invención, la secuencia de ácido nucleico de X puede ser una secuencia de ácido nucleico que codifica un péptido de auto escisión, un sitio de escisión de furina o un sitio de escisión del virus del grabado del tabaco.

La secuencia de ácido nucleico de X puede ser una secuencia de ácido nucleico que codifica un péptido de auto escisión 2A de un aftovirus o un cardiovirus o un péptido similar a 2A.

55 El constructo de ácido nucleico puede comprender una tercera secuencia de ácido nucleico que codifica una proteína de interés (POI). La POI puede ser una proteína transmembrana.

60 La POI puede seleccionarse de una lista de: receptores excitadores tales como 41BB, OX40, CD27, CD28 y moléculas relacionadas; o receptores inhibidores tales como PD1, CTLA4, LAIR1, CD22 y moléculas relacionadas; o moléculas receptoras de citoquinas tales como IL1R, IL2R, IL7R, IL15R y moléculas relacionadas; o moléculas de unión tales como N-CAM, V-CAM, L1-CAM, LFA-1, CDH1-3, selectinas o integrinas. La POI puede ser un tercer CAR.

La POI puede ser una proteína sintética tal como un gen suicida o un gen marcador.

65 La cantidad de un CAR que comprende una señal de retención intracelular y/o que tiene un péptido de señalización alterado que se expresa en la superficie celular puede ser, por ejemplo, inferior al 90%, 70%, 50% o 30% en

comparación a un CAR expresado a partir del mismo constructo de ácido nucleico que no comprende una señal de retención intracelular y que tiene un péptido de señalización inalterado.

La invención también proporciona un constructo de ácido nucleico que comprende la siguiente estructura:

A-X-B-Y-C

en la cual

A, B y C son secuencias de ácido nucleico que codifican un primer, segundo y tercer polipéptidos de interés (POI); y X e Y son secuencias de ácido nucleico que pueden ser iguales o diferentes, cada una de las cuales codifica un sitio de escisión, en las que al menos dos de los POI son receptores de antígeno quimérico (CAR) que comprenden una señal de retención intracelular; y/o difieren en el número de aminoácidos hidrófobos en sus péptidos señal.

En esta realización, los al menos dos POI que son CAR y que comprenden una señal de retención intracelular pueden:

- (a) comprender diferentes señales de retención intracelular; y/o
- (b) tener la señal de retención intracelular ubicada en una posición diferente en el CAR,

de modo que cuando el ácido nucleico se expresa en una célula, existe una expresión relativa diferencial de los al menos dos CAR en la superficie celular.

El tercer POI puede ser un polipéptido que permite la selección de células transducidas y/o permite que se eliminen las células que expresan el polipéptido.

El tercer POI puede ser otro CAR. Por lo tanto, la presente invención proporciona un constructo de ácido nucleico que, cuando es expresado por una célula, hace que la célula exprese dos o más CAR en la superficie celular, de modo que sea específicamente estimulada por una célula, tal como una célula tumoral, que porta un patrón distinto de dos o más antígenos. La expresión de cada CAR en la superficie celular puede adaptarse para reflejar la expresión de cada antígeno en la célula objetivo.

En un segundo aspecto, la presente invención proporciona un vector que comprende un constructo de ácido nucleico de acuerdo con el primer aspecto de la invención.

El vector puede ser un vector retroviral o un vector lentiviral o un transposón.

En un tercer aspecto, la presente invención proporciona una célula que comprende un constructo de ácido nucleico de acuerdo con el primer aspecto de la invención o un vector de acuerdo con el segundo aspecto de la invención.

La célula puede ser una célula inmune tal como una célula T o una célula asesina natural (NK).

En un cuarto aspecto, la presente invención proporciona un método para fabricar una célula de acuerdo con el tercer aspecto de la invención, que comprende la etapa de introducir: un constructo de ácido nucleico de acuerdo con el primer aspecto de la invención o un vector de acuerdo con el segundo aspecto de la invención, en una célula *ex vivo*.

La célula puede ser parte o derivarse de una muestra aislada de un sujeto.

La célula utilizada en el método del cuarto aspecto de la invención puede ser de una muestra aislada de un paciente, un donante de trasplante hematopoyético relacionado o no relacionado, un donante completamente desconectado, de sangre del cordón umbilical, diferenciado de una línea celular embrionaria, diferenciado de una línea celular progenitora inducible, o derivado de una línea celular transformada.

En un quinto aspecto, la presente invención proporciona una composición farmacéutica que comprende una pluralidad de células de acuerdo con el cuarto aspecto de la invención. La composición puede ser una composición de células T y/o NK autólogas.

En este documento se describe un método para tratar y/o prevenir una enfermedad, que comprende la etapa de administrar una composición farmacéutica de acuerdo con el quinto aspecto de la invención a un sujeto.

El método puede comprender las siguientes etapas:

- (i) aislamiento de una muestra que contiene células T y/o NK de un sujeto;
- (ii) transducción o transfección de las células T y/o NK con: un constructo de ácido nucleico de acuerdo con el primer aspecto de la invención o un vector de acuerdo con el segundo aspecto de la invención; y
- (iii) administrar las células T y/o NK de (ii) a un sujeto.

En un sexto aspecto, la presente invención proporciona una composición farmacéutica de acuerdo con el quinto aspecto de la invención para su uso en el tratamiento y/o prevención de una enfermedad.

5 También se describe en el presente documento el uso de una célula de acuerdo con el tercer aspecto de la invención en la fabricación de un medicamento para tratar y/o prevenir una enfermedad.

La invención se refiere además a un método para modular la expresión relativa de la superficie celular de un primer receptor de antígeno quimérico (CAR) expresado a partir de un constructo de ácido nucleico único con un segundo
10 CAR mediante (a) la inclusión de una señal de retención intracelular en la secuencia de ácido nucleico que codifica el primer y/o segundo CAR y/o (b) alterando la secuencia de ácido nucleico que codifica el péptido de señalización de un CAR para eliminar o reemplazar uno o más aminoácidos hidrófobos en comparación con el péptido de señalización del otro CR. El constructo de ácido nucleico puede ser como se define en el primer aspecto de la invención.

15 Al proporcionar dos o más CAR en la superficie de la célula T, es posible unir múltiples marcadores de cáncer simultáneamente, proporcionando una mejor eficacia terapéutica para tumores heterogéneos y evitando el problema del escape del cáncer.

Como los CAR se expresan en la superficie de la célula T como moléculas separadas, este enfoque supera los
20 problemas espaciales y de accesibilidad asociados con los TanCAR. La eficiencia de activación de las células T también se mejora. Como cada CAR tiene su propio espaciador, es posible adaptar el espaciador y, por lo tanto, la distancia que el dominio de unión se proyecta desde la superficie de las células T y su flexibilidad, etc., al antígeno objetivo particular. Esta elección no se ve afectada por las consideraciones de diseño asociadas con los TanCAR, es decir, que un CAR necesita estar en yuxtaposición a la membrana de la célula T y un CAR debe estar distal, colocado
25 en tándem con el primer CAR.

Al proporcionar un único ácido nucleico que codifica los dos CAR separados por un sitio de escisión, es posible
30 modificar células T para coexpresar los dos CAR usando un procedimiento simple de transducción sencilla. Se podría usar un procedimiento de transfección doble con secuencias que codifican CAR en constructos separados, pero esto sería más complejo y costoso y requeriría más sitios de integración para los ácidos nucleicos. Un procedimiento de doble transfección también se asociaría con la incertidumbre sobre si ambos ácidos nucleicos que codifican CAR han sido transducidos y expresados de manera efectiva. Esto es especialmente cierto para un enfoque de CAR múltiple en el que se introducen tres o más CAR en la célula.

35 La inclusión de una señal de retención intracelular en un CAR, o la alteración del péptido de señalización del CAR para reducir el número de aminoácidos hidrófobos, reduce la cantidad de CAR expresada en la superficie celular. Como tal, se puede modular el nivel de expresión relativo de dos CAR expresados a partir de un solo constructo. Como un CAR solo está activo en la superficie celular, la reducción de la expresión relativa de la superficie celular del CAR también reduce su actividad relativa.

40 Por lo tanto, la presente invención proporciona un constructo de ácido nucleico que codifica una compuerta O, en la que el nivel relativo de expresión de los dos o más CAR puede ajustarse finamente, dependiendo del nivel relativo de expresión de los antígenos respectivos en la célula objetivo.

45 Esta invención puede extenderse para modular la expresión relativa de tres o más proteínas expresadas como un polipéptido concatenado, separadas por sitios de escisión y expresión de superficie relativa dictada por señales de retención o péptidos señal de actividad diferente.

Descripción de las Figuras

50 Figura 1: (a) Arquitectura generalizada de un CAR: un dominio de unión reconoce el antígeno; el espaciador eleva el dominio de unión desde la superficie celular; el dominio transmembrana ancla la proteína a la membrana y el endodominio transmite señales. (b) a (d): Diferentes generaciones y permutaciones de endodominios de CAR: (b) los diseños iniciales transmitieron señales ITAM solo a través del endodominio FcεR1-γ o CD3ζ, mientras que los diseños
55 posteriores transmitieron además (c) uno o (d) dos señales coestimuladores en cis.

Figura 2: Diagrama esquemático que ilustra las compuertas lógicas

La invención se refiere a la modificación de células T para responder a reglas lógicas de expresión de antígeno de
60 células objetivo. Esto se ilustra mejor con un diagrama de dispersión imaginario de FACS. Las poblaciones de células objetivo expresan ambos, uno o ninguno de los antígenos "A" y "B". Diferentes poblaciones objetivo (marcadas en rojo) son destruidas por las células T transducidas con un par de CAR conectados por diferentes compuertas. Con los receptores con compuerta O, se eliminarán tanto las células positivas sencillas como las positivas dobles. Con los receptores Y, solo se eliminan las células objetivo doblemente positivas. Con la compuerta Y NO, los objetivos con doble positivo se conservan, mientras que los objetivos con un solo positivo serán eliminados.

65 Figura 3: Creación de poblaciones de células objetivo.

Las células SupT1 se usaron como células objetivo. Estas células se transdujeron para expresar CD19, CD33 o tanto CD19 como CD33. Las células objetivo se tiñeron con anticuerpos apropiados y se analizaron por citometría de flujo.

Figura 4: Diseño del casete para una compuerta O

5 Un solo marco de lectura abierto le proporciona a ambos CAR una secuencia FMD-2A dentro del marco que da como resultado dos proteínas. Señal 1 es un péptido de señalización derivado de IgG1 (pero puede ser cualquier péptido de señalización efectivo). scFv1 es el segmento variable de cadena sencilla que reconoce CD19 (pero puede ser un scFv o un bucle peptídico o ligando o, de hecho, cualquier dominio que reconozca cualquier objetivo arbitrario deseado). STK es el tallo de CD8 pero puede ser cualquier dominio extracelular adecuado. CD28tm es el dominio transmembrana CD28 pero puede ser cualquier dominio transmembrana de proteína tipo I estable y CD3Z es el endodominio CD3 Zeta pero puede ser cualquier endodominio que contenga ITAM. Señal 2 es un péptido de señalización derivado de CD8 pero puede ser cualquier péptido de señalización efectivo que sea diferente en la secuencia de ADN de la señal1. scFv reconoce CD33 pero en cuanto a scFv1 es arbitrario. HC2CH3 es la bisagra-CH2-CH3 de IgG1 humana, pero puede ser cualquier dominio extracelular que no se empareje en forma cruzada con el espaciador utilizado en el primer CAR. Los códigos de CD28tm' y CD3Z' para la misma secuencia de proteínas que CD28tm y CD3Z son de codón desplazado para evitar la recombinación homóloga.

Figura 5: Representación esquemática de los receptores de antígeno quimérico (CAR) para una compuerta O

20 Se construyeron CAR estimuladores que consisten ya sea en un terminal N, A) dominio de scFv anti-CD19 seguido por la región de bisagra extracelular de CD8 humano o B) dominio de scFv anti-CD33 seguido por la región bisagra extracelular, región CH2 y CH3 (que contiene una mutación pvaa para reducir la unión a FcR) de IgG1 humana. Ambos receptores contienen un dominio transmembrana CD28 humano y un dominio intracelular CD3 Zeta humano (CD247). "S" representa la presencia de enlaces disulfuro.

25 Figura 6: Datos de expresión que muestran la coexpresión de ambos CAR en la superficie de una célula T.

Figura 7: Análisis funcional de la compuerta O

30 Las células efectoras (5×10^4 células) que expresan el constructo de la compuerta O se incubaron conjuntamente con un número variable de células objetivo y se analizó IL-2 después de 16 horas mediante ELISA. El gráfico muestra la secreción máxima promedio de IL-2 de una estimulación química (PMA y Ionomicina) de las células efectoras solas y la IL-2 de fondo promedio de las células efectoras sin ningún estímulo a partir de tres réplicas.

Figura 8: Métodos utilizados para expresar diferentes proteínas del mismo vector.

35 (a) Dos promotores diferentes dentro del mismo casete dan como resultado dos transcripciones diferentes que dan lugar a proteínas separadas. (b) El uso de una secuencia de entrada de ribosoma interno (IRES) conduce a una única transcripción que se traduce en dos proteínas separadas. (c) El uso del péptido 2A del FMDV da como resultado una única transcripción y una única poliproteína que se divide rápidamente en dos proteínas separadas.

Figura 9: el endodominio TYRP1 puede dirigir la retención de una proteína transmembrana con un endodominio complejo

40 Tyrp1 es una proteína transmembrana tipo I, de 537 aa de largo. El motivo de la dileucina, que retiene la proteína en el compartimento intracelular, se indica como un rectángulo negro en el dominio citoplasmático. (A) Tyrp1 (tipo silvestre). Tyrp1 de tipo silvestre consta de una señal peptídica, un dominio luminal, un dominio transmembrana y un dominio citoplasmático. El dominio citoplasmático contiene la señal de retención de dileucina. (B) Tyrp1 (tipo silvestre)-Conector-SG-eGFP. Este constructo contiene el Tyrp1 de tipo silvestre simplemente fusionado a eGFP a través de un conector serina-glicina-glicina-glicina-serina. El Tyrp1-L-eGFP representa el Tyrp1 proximal citoplasmático. (C) Tyrp1 Luminal (LM)-Transmembrana (TM)-Conector SG - eGFP- Tyrp1 citoplasmático (CP). Este constructo constituye el Tyrp1 citoplasmático distal, ya que el conector SG-eGFP se interpone entre los dominios transmembrana y citoplasmático. (D): Tyrp1 Luminal (LM)-Transmembrana (TM)-conector SG-eGFP. Este constructo sirve como control positivo, ya que el dominio citoplasmático que contiene la señal de retención ha sido excluido. Todas los constructos se coexpresan con IRES.CD34. La tinción de las células SupT1 transducidas se muestran con tinción intracelular y superficial en la parte inferior izquierda/derecha, respectivamente.

Figura 10: Funcionalidad de la señal de retención TYRP1 en células primarias

55 Se generó un constructo que coexpresa un CAR anti-CD19 y un anti-CD33 usando un péptido similar a FMD-2A. También se generaron dos variantes de este constructo: en la primera variante, el motivo de dileucina de TYRP1 se insertó en el endodominio CAR anti-CD19 justo próximo al dominio TM; en la segunda variante, el mismo motivo de dileucina TYRP1 se unió al terminal carboxilo del endodominio CAR anti-CD19. Las PBMC se aislaron de la sangre y se estimularon usando PHA e IL-2. Dos días después, las células se transdujeron en placas recubiertas con retronectina con retrovirus que contenía los diferentes constructos CAR de CD19:CD33. El día 5, se evaluó el nivel de expresión de los dos CAR traducidos por el constructo mediante citometría de flujo usando fusiones de CD19-Fc y CD33-Fc recombinantes. A. Muestra una caricatura del gen sintético construido para permitir la coexpresión; B. Muestra una caricatura de los pares de proteínas subsiguientes generados por los tres constructos; C. Muestra la expresión de los dos receptores por citometría de flujo. En el constructo original, ambos CAR se expresan igualmente. 60 Con la incorporación del motivo de dileucina distalmente en el endodominio del CAR anti-CD19, la expresión de CAR de CD33 permanece constante pero la expresión de CD19 cae a niveles intermedios. Con la incorporación del motivo 65

de dileucina proximalmente en el endodominio del CAR anti-CD19, la expresión de CAR de CD33 permanece constante, pero la expresión de CD19 cae a niveles bajos.

Figura 11: Señal de retención de la cola citosólica de E3/19K

Se generó un constructo que coexpresa un CAR anti-CD19 y un anti-CD33 usando un péptido similar a FMD-2A. También se generaron dos variantes de este constructo: en la primera variante, los últimos 6 aa de E3/19K (DEKKMP), que se encontraron críticos por su capacidad de retención de Golgi/ER, se unieron al terminal carboxilo del endodominio de CAR anti-CD33; en la segunda variante, toda la cola citosólica de la proteína E3/19K del adenovirus se unió al terminal carboxilo del endodominio CAR anti-CD33

Figura 12: Funcionalidad de la señal de retención de E3/19K

Los constructos mostradas en la Figura 4 se transfectaron en células 293T y se evaluó el nivel de expresión de los dos CAR traducidos por el constructo mediante citometría de flujo usando fusiones de CD19-Fc y CD33-Fc recombinantes. Se observó una retención clara cuando la proteína de longitud completa E3/19K del adenovirus, o el motivo DEKKMP se colocó en el receptor anti-CD33. Los niveles de expresión del receptor anti-CD19 no se vieron afectados.

Figura 13: Diagrama esquemático que ilustra la función de las secuencias de señal en el direccionamiento de proteínas

Figura 14: Diagrama esquemático del constructo de ácido nucleico que codifica dos CAR

Figura 15: Verificación de la función de una secuencia de señal sustituida.

El documento PCT/GB2014/053452 describe el sistema de vector que codifica dos receptores de antígeno quimérico (CAR), uno contra CD19 y otro contra CD33. El péptido de señalización utilizado para los CAR en ese estudio fue el péptido de señalización de la secuencia señal humana CD8a. Para los propósitos de este estudio, este fue sustituido con el péptido de señalización de la región V-III de la cadena kappa de Ig murina, que tiene la secuencia: **METDTLILWVLLLLVPGSTG** (residuos hidrófobos resaltados en negrita). Para establecer que la secuencia señal V-III de la cadena kappa de Ig murina funcionaba tan bien como la secuencia señal de CD8a humano, se realizó un estudio comparativo. Para ambas secuencias señal, se observó la expresión funcional de CAR anti-CD33 y CAR anti-CD19.

Figura 16: Prueba del efecto de la eliminación de un aminoácido en la región V-III de la cadena kappa de Ig murina. Se creó la cadena kappa mutante 1 con la siguiente eliminación (mostrada en gris) en la región h **METDTLILWVLLLLVPGSTG** y se observó la expresión relativa en CAR anti-CD33 y CAR anti-CD19.

Figura 17: Prueba del efecto de dos eliminaciones de aminoácidos en la región V-III de la cadena kappa de Ig murina. Se creó la cadena kappa mutante 2 con las siguientes eliminaciones (mostradas en gris) en la región h **METDTLILWVLLLLVPGSTG** y se observó la expresión relativa en CAR anti-CD33 y CAR anti-CD19.

Figura 18: Prueba del efecto de tres eliminaciones de aminoácidos en la región V-III de la cadena kappa de Ig murina. Se creó la cadena kappa mutante 2 con las siguientes eliminaciones (mostradas en gris) en la región h **METDTLILWVLLLLVPGSTG** y se observó la expresión relativa en CAR anti-CD33 y CAR anti-CD19.

Figura 19: Prueba del efecto de cinco eliminaciones de aminoácidos en la región V-III de la cadena kappa de Ig murina. Se creó la cadena kappa mutante 2 con las siguientes eliminaciones (mostradas en gris) en la región h **METDTLILWVLLLLVPGSTG** y se observó la expresión relativa en CAR anti-CD33 y CAR anti-CD19

Descripción detallada

Receptores de antígeno quimérico (CAR)

La presente invención proporciona un constructo de ácido nucleico que expresa dos o más receptores de antígeno quimérico (CAR).

Los CAR, que se muestran esquemáticamente en la Figura 1, son proteínas quiméricas transmembrana de tipo I que conectan un dominio de reconocimiento de antígeno extracelular (aglutinante) a un dominio de señalización intracelular (endodominio). El aglutinante es típicamente un fragmento variable de cadena sencilla (scFv) derivado de un anticuerpo monoclonal (mAb), pero puede basarse en otros formatos que comprenden un sitio de unión a antígeno similar a un anticuerpo. Por lo general, es necesario un dominio espaciador para aislar el aglutinante de la membrana y permitirle una orientación adecuada. Un dominio espaciador común utilizado es el Fc de IgG1. Los espaciadores más compactos pueden ser suficientes, por ejemplo el tallo de CD8a e incluso solo la bisagra IgG1 sola, dependiendo del antígeno. Un dominio transmembrana ancla la proteína en la membrana celular y conecta el espaciador al endodominio.

Los diseños de CAR tempranos tenían endodominios derivados de las partes intracelulares de la cadena γ de Fc ϵ R1 o CD3 ζ . En consecuencia, estos receptores de primera generación transmitieron la señal inmunológica 1, que fue

suficiente para desencadenar la muerte de las células T de las células objetivo relacionadas, pero no pudo activar completamente las células T para proliferar y sobrevivir. Para superar esta limitación, se han construido endodominios compuestos: la fusión de la parte intracelular de una molécula coestimuladora de células T con la de CD3 ζ da como resultado receptores de segunda generación que pueden transmitir una señal activadora y coestimuladora simultáneamente después del reconocimiento de antígeno. El dominio coestimulador más utilizado es el de CD28. Esto proporciona la señal coestimuladora más potente, a saber, la señal inmunológica 2, que desencadena la proliferación de células T. También se han descrito algunos receptores que incluyen los endodominios de la familia de receptores de TNF, tales como el OX40 y el 41BB estrechamente relacionados que transmiten señales de supervivencia. Incluso se han descrito CAR más potentes de tercera generación que tienen endodominios capaces de transmitir señales de activación, proliferación y supervivencia.

Los ácidos nucleicos que codifican CAR pueden transferirse a células (tal como células T) usando, por ejemplo, vectores retrovirales o lentivirales. De esta manera, se puede generar una gran cantidad de células T específicas de cáncer para la transferencia de células adoptivas. Cuando el CAR se une al antígeno objetivo, esto da como resultado la transmisión de una señal de activación a la célula T en la que se expresa. Por lo tanto, el CAR dirige la especificidad y la citotoxicidad de la célula T hacia las células tumorales que expresan el antígeno objetivo.

Los inventores han definido tres categorías distintas de células que coexpresan un primer CAR y un segundo CAR de modo que la célula pueda reconocer un patrón de expresión deseado en las células objetivo en la forma de una compuerta lógica como se detalla en las tablas de verdad: Tablas 1, 2 y 3.

Tanto el primero como el segundo CAR (y opcionalmente posteriores) comprenden:

- (i) un dominio de unión a antígeno;
- (ii) un espaciador;
- (iii) un dominio transmembrana; y
- (iv) un dominio intracelular, que puede comprender o asociarse con un endodominio de señalización de células T.

Tabla 1: Tabla de verdad para la COMPUERTA O de CAR

Antígeno A	Antígeno B	Respuesta
Ausente	Ausente	Sin activación
Ausente	Presente	Activación
Presente	Ausente	Activación
Presente	Presente	Activación

Tabla 2: Tabla de verdad para COMPUERTA Y de CAR

Antígeno A	Antígeno B	Respuesta
Ausente	Ausente	Sin activación
Ausente	Presente	Sin activación
Presente	Ausente	Sin activación
Presente	Presente	Activación

Tabla 3: Tabla de verdad para COMPUERTA Y NO de CAR

Antígeno A	Antígeno B	Respuesta
Ausente	Ausente	Sin activación
Ausente	Presente	Sin activación
Presente	Ausente	Activación
Presente	Presente	Sin activación

Usando el constructo de ácido nucleico de la presente invención, el primer y el segundo CAR se producen como un polipéptido que comprende ambos CAR, junto con un sitio de escisión.

La SEQ ID NO. 4 es un ejemplo de una compuerta O, que comprende dos CAR. El constructo de ácido nucleico de la invención puede comprender una u otra parte de la siguiente secuencia de aminoácidos, que corresponde a un solo CAR. Una o ambas secuencias de CAR pueden modificarse para incluir una o más señales de retención intracelular, y/o para alterar sus péptidos señal, como se define a continuación.

La SEQ ID NO. 4 es una compuerta O de CAR que reconoce CD19 O CD33
SEQ ID NO. 4

ES 2 778 905 T3

MSLPVTALLLPLALLLHAARPDIQMTQTTSSLSASLGDRVTISCRASQDISKYLWYQQKPD
GTVKLLIYHTSRLHSGVPSRFSGSGSGTDYSLTISNLEQEDIATYFCQQGNTLPYTFGGGK
LEITKAGGGGSGGGGSGGGGSGGGGSEVKLQESGPGLVAPSQSLSVTCTVSGVSLPDYG
VSWIRQPPRKLEWLGVIWGSETTYNSALKSRLTIKDNSKSQVFLKMNSLQTD DDTAIYYC
AKHYYYGGSYAMDYWGQGSTVTVSSDPTTTPAPRPPTPAPTIASQPLSLRPEACRPAAGG
AVHTRGLDFACDIFWLVVGGVLACYSLLVTVAFIIFWRRVKFSRSADAPAYQQGQNQL
YNELNLGRREEYDVLDKRRGRDPEMGGKPRRKNPQEGLYNELQKDKMAEAYSEIGMKGE
RRRGKGGHDGLYQGLSTATKDTYDALHMQUALPPRAEGRGSLTTCGDVEENPGPMAVPTQ
VLGLLLLWLT DARC DIQMTQSPSSLSASVGDRTITCRASEDIYFNLWYQQKPGKAPKLLI
YD TNRLADGVPSRFSGSGSGTQYTLTISSLQPEDFATYYCQHYKNYPLTFGGGKLEIKRS
GGGGSGGGGSGGGGSGGGGSRSEVQLVESGGGLVQP GGSRLS CAASGFTLSNYGMH
WIRQAPGKGLEWSSISLNGGSTYYRDSVKGRFTISRDNASTLYLQMNSLRAEDTAVYYC
AAQDAYTGGYFDYWGQGLVTVSSMDPAEPKSPDKTHTCPPCPAPPVAGPSVFLFPPKPK
DTLMIARTPEVTCVVVDVSHEDPEVKFNWYVDGVEVHNAKTKPREEQYNSTYRVVSVLTVL
HQDWLNGKEYKCKVSNKALPAPIEKTISKAKGQPREPQVYTLPPSRDELTKNQVSLTCLVK
GFYPSDIAVEWESNGQPENNYKTPPVLDSDGSFFLYSKLTVDKSRWQQGNV FSCSVMHE
ALHNHYTQKSLSLSPGKKDPKFWLVVGGVLACYSLLVTVAFIIFWRSRVKFSRSADAPA
YQQGQNQLYNELNLGRREEYDVLDKRRGRDPEMGGKPRRKNPQEGLYNELQKDKMAEA
YSEIGMKGERRRGKGGHDGLYQGLSTATKDTYDALHMQUALPPR

La SEQ ID NO 4 se desglosa de la siguiente manera:

5 Péptido señal derivado de CD8a humano:
MSLPVTALLLPLALLLHAARP

ScFv aCD19

DIQMTQTTSSLSASLGDRVTISCRASQDISKYLWYQQKPDGTVKLLIYHTSRLHSGVPSRF
SGSGSGTDYSLTISNLEQEDIATYFCQQGNTLPYTFGGGKLEITKAGGGGSGGGGSGGG
10 GSGGGGSEVKLQESGPGLVAPSQSLSVTCTVSGVSLPDYGVSWIRQPPRKLEWLGVIW
GSETTYNSALKSRLTIKDNSKSQVFLKMNSLQTD DDTAIYYCAKHYYGGSYAMDYWGQ
TSVTVS

Conector:
SD

15 CD8aSTK humano:
PTTTPAPRPPTPAPTIASQPLSLRPEACRPAAGGAVHTRGLDFACDI

20 CD28TM Humana:
FVWLVWGGVLACYSLLVTVAFIIFWV

Dominio intracelular de CD3zeta Humana
RRVKFSRSADAPAYQQGQNQLYNELNLGRREEYDVLDKRRGRDPEMGGKPRRKNPQEG
LYNELQKDKMAEAYSEIGMKGERRRGKGGHDGLYQGLSTATKDTYDALHMQUALPPR

25 Péptido 2A:
RAEGRGSLTTCGDVEENPGP

Péptido señal derivado de la cadena kappa de Ig de ratón:
MAVPTQVLGLLLLWLTD
30 scFv aCD33:

RCDIQMTQSPSSLSASVGDRTITCRASEDIYFNLVWYQQKPGKAPKLLIYDTNRLADGVPS
RFSGSGSGTQYTLTISSLPEDFATYYCQHYKNYPLTFGQGTKLEIKRSGGGGSGGGGSG
GGGSGGGSRSEVQLVESGGGLVQPGGSLRLSCAASGFTLSNYGMHWIRQAPGKGLEW
VSSISLNGGSTYYRDSVKGRFTISRDNASTLYLQMNSLRAEDTAVYYCAAQDAYTGGYFD
YWGQGLTVSSM

Conector:
DPA

5

Bisagra y Fc derivados de IgG1 humana con mutaciones para prevenir la asociación de FcRg (HCH2CH3pvaa):
EPKSPDKTHTCPPCPAPPVAGPSVFLFPPKPKDTLMIARTPEVTCVVVDVSHEDPEVKFNW
YVDGVEVHNAKTKPREEQYNSTYRVVSVLTVLHQDWLNGKEYKCKVSNKALPAPIEKTISK
AKGQPREPQVYTLPPSRDELTKNQVSLTCLVKGFYPSDIAVEWESNGQPENNYKTTTPVLD
SDGSFFLYSKLTVDKSRWQQGNVFCFSVMHEALHNHYTQKSLSLSPGK

10

Conector:
KDPK

CD28TM Humana:
FVWLWGGVLACYSLLVTVAFIIFWV

15

Conector:
RS

Dominio intracelular de CD3zeta Humana:
RVKFSRSADAPAYQQGQNQLYNELNLGRREEYDVLDKRRGRDPGEMGGKPRRKNPQEGL
YNELQKDKMAEAYSEIGMKGERRRGKGGHDGLYQGLSTATKDTYDALHMQUALPPR

20

La presente invención se refiere a la modulación de la expresión relativa de los dos o más CAR en una compuerta O. Esto puede hacerse, por ejemplo, mediante la inclusión de una señal de retención intracelular en uno u otro CAR.

25

En relación con la SEQ ID NO. 4 dada anteriormente, una posición adecuada para la señal de retención intracelular puede determinarse fácilmente basándose en la posición de la señal de retención, o señales de un tipo similar, en su proteína nativa. El efecto modulador de la señal de retención también puede ajustarse en forma fina eligiendo una determinada posición para la señal de retención en la molécula.

30

Por ejemplo, el constructo de ácido nucleico puede comprender una secuencia de proteína de retención tyrp-1, tal como:
RARRSMDEANQPLLTDQYQCYAEEYEKLQNPNSVV

35

Una secuencia de este tipo puede incluirse, por ejemplo, en la secuencia CAR de CD19 para que el nivel relativo de expresión de CAR de CD19 se reduzca con respecto a CAR de CD33.

La posición de la señal de retención tyrp-1 en el receptor aCD19 alterará la cantidad de reducción: para niveles de expresión bajos, la señal de retención tyrp-1 puede colocarse entre "CD28TM Humana" y el "dominio intracelular de CD3zeta humano"; para niveles de expresión medios, la señal de retención tyrp-1 puede colocarse entre el "dominio intracelular de CD3zeta humano" y el "péptido 2A" en la SEQ ID NO. 4.

40

Alternativamente, el constructo de ácido nucleico puede comprender la señal de retención intracelular E3/19K adenoviral. La señal de retención intracelular puede comprender el dominio citosólico E3/19K KYKSRRSFIDEKKMP (SEQ ID NO. 2) o una porción de la misma, tal como la secuencia DEKKMP (SEQ ID NO. 3).

45

La señal de retención E3/19K se puede colocar en el terminal C del CAR cuya expresión se va a reducir.

El constructo de ácido nucleico de la invención puede codificar la SEQ ID NO. 4 o cualquiera de sus partes componentes, tales como el CAR de CD19 o el CAR de CD33. El constructo de ácido nucleico de la invención puede codificar una variante de la parte que codifica CAR de la secuencia mostrada como SEQ ID NO. 4 que tiene al menos 80, 85, 90, 95, 98 o 99% de identidad de secuencia, siempre que la secuencia variante sea un CAR que tiene las propiedades requeridas.

50

Los métodos de alineación de secuencias son bien conocidos en la técnica y se logran utilizando programas de alineación adecuados. El porcentaje de identidad de secuencia se refiere al porcentaje de residuos de aminoácidos o nucleótidos que son idénticos en las dos secuencias cuando están alineados de manera óptima. La homología o identidad de la secuencia de nucleótidos y proteínas se puede determinar utilizando algoritmos estándar como un programa BLAST (Herramienta de búsqueda de alineación local básica en el Centro Nacional de Información sobre Biotecnología) utilizando parámetros predeterminados, que están disponibles públicamente en <http://blast.ncbi.nlm.nih.gov>. Otros algoritmos para determinar la identidad u homología de secuencia incluyen: LALIGN (<http://www.ebi.ac.uk/Tools/psa/lalign/> y <http://www.ebi.ac.uk/Tools/psa/lalign/nucleotide.html>), AMAS (Análisis de secuencias múltiples alineadas, en <http://www.compbio.dundee.ac.uk/Software/Amas/amas.html>), FASTA (<http://www.ebi.ac.uk/Tools/sss/fasta/>), Clustal Omega (<http://www.ebi.ac.uk/Tools/msa/clustalo/>), SIM (<http://web.expasy.org/sim/>) y EMBOSS Needle (http://www.ebi.ac.uk/Tools/psa/emboss_needle/nucleotide.html).

En la compuerta O lógica de CAR, los dominios de unión a antígeno del primer y segundo CAR se unen a diferentes antígenos y ambos CAR comprenden un endodominio activador. Los dominios espaciadores pueden ser iguales o suficientemente diferentes para evitar el emparejamiento cruzado de los dos receptores diferentes. Por lo tanto, una célula puede ser modificada para activarse tras el reconocimiento de uno o ambos antígenos. Esto es útil en el campo de la oncología, como lo indica la hipótesis de Goldie-Coldman: el único direccionamiento de un solo antígeno puede provocar el escape del tumor por la modulación de dicho antígeno debido a la alta tasa de mutación inherente en la mayoría de los cánceres. Al apuntar simultáneamente a dos antígenos, la probabilidad de tal escape se reduce exponencialmente.

Se conocen diversos antígenos asociados a tumores como se muestra en la siguiente Tabla 4. Para una enfermedad dada, el primer CAR y el segundo CAR pueden unirse a dos TAA diferentes asociados con esa enfermedad. De esta forma, se evita el escape tumoral al modular un solo antígeno, ya que también se dirige un segundo antígeno. Por ejemplo, cuando se dirige a una neoplasia maligna de células B, tanto CD19 como CD20 pueden ser dirigidos simultáneamente. Con una compuerta O lógica de CAR, es importante que los dos CAR no se heterodimerizan.

Tabla 4

Tipo de cáncer	TAA
Linfoma difuso de células B grandes	CD19, CD20
Cáncer de mama	ErbB2, MUC1
AML	CD13, CD33
Neuroblastoma	GD2, NCAM
B-CLL	CD19, CD52
Cáncer colorrectal	Proteína de unión a folato, CA-125

Expresión diferencial de antígenos objetivo

CD19/CD22

El constructo de ácido nucleico de la presente invención puede codificar una compuerta O que comprende un CD19 que reconoce CAR y un CD22 que reconoce CAR. Una compuerta O de CD19/CD22 es útil para el tratamiento de una serie de neoplasias malignas de células B, incluidas la leucemia linfoblástica aguda de células B (B-ALL), el linfoma de células B y la leucemia linfocítica crónica de células B (B-CLL).

Se ha informado en varios estudios que los niveles de expresión de CD19 y CD22 son muy diferentes en estas condiciones.

Por ejemplo, Haso et al., (2013, Blood 121: 1165-1174) midieron la expresión superficial de CD22 y CD19 en varias líneas celulares de ALL precursoras de células B y descubrieron que todas las líneas celulares expresaban tanto CD22 como CD19, pero CD19 tenía un densidad de sitio significativamente mayor (la expresión de CD22 varió de 6,485 a 54,878 moléculas/célula versus un intervalo de expresión de CD19 de 14,112 a 56,946 moléculas/célula).

De manera similar, Du et al., (2008 Cancer Res 68: 6300-6305) examinaron los niveles de expresión superficial de CD19 y CD22 en seis líneas de linfoma de células B y descubrieron que los niveles de CD19 eran 4-9 veces más altos que los niveles de CD22 en las células de linfoma de células B (los niveles de CD19 oscilaron entre 210,000 y 578,000 sitios por célula, mientras que los niveles de CD22 variaron entre 26,000 y 94,000 sitios por célula).

En la compuerta O de la presente invención, la expresión relativa de CAR de CD19 y CAR de CD22 puede modificarse para reflejar los niveles relativos de CD19 y CD22 en las células cancerosas. El nivel de expresión del CAR de CD22 puede reducirse mediante la incorporación de una señal de retención intracelular o alterando el péptido de señalización de modo que tenga menos aminoácidos hidrófobos que el péptido de señalización del CAR de CD19.

CD19/CD20

Berton et al., (2014, Haematol & Oncol 7:33) investigaron los valores medios de capacidad de unión a anticuerpos de CD19 y CD20 en tumores malignos B primarios y líneas celulares B, como sigue:

5 Raji, Ramos, Namalwa: líneas celulares del linfoma de Burkitt humanas
 SU-DHL-6: línea celular de linfoma histiocítico difuso humano
 Mec-1: línea celular de B-CLL humano

10 Se descubrió que para las líneas celulares de linfoma de Burkitt humano, el número de sitios antigénicos era 2-27 veces mayor para CD20 que para CD19. Por el contrario, el número de sitios antigénicos para CD19 fue mayor que CD20 para la línea celular de linfoma histiocítico difuso humano (22 veces) y la línea celular de B-CLL (3 veces).

15 La compuerta O de la presente invención puede comprender un que un CAR reconoce CD19 y un CAR que reconoce CD20. La expresión relativa del CAR de CD19 y del CAR de CD20 puede modificarse para reflejar los niveles relativos de CD19 y CD20 en las células cancerosas. Para algunos tipos de cáncer, el nivel de expresión del CAR de CD20 puede reducirse mediante la incorporación de una señal de retención intracelular o alterando el péptido de señalización de modo que tenga menos aminoácidos hidrófobos que el péptido de señalización del CAR de CD19. Para otros tipos de cáncer, el nivel de expresión del CAR de CD19 puede reducirse mediante la incorporación de una señal de retención intracelular o alterando el péptido de señalización de modo que tenga menos aminoácidos hidrófobos que el péptido de señalización del CAR de CD20.

20 Péptido señal

25 Los polipéptidos A y B (y opcionalmente otros, C, D, etc.) codificados por el constructo de ácido nucleico de la invención pueden comprender cada uno una secuencia señal de modo que cuando el polipéptido se expresa dentro de una célula, la proteína naciente se dirige al retículo endoplásmico (ER) (véase la Figura 13).

El término "péptido de señalización" es sinónimo de "secuencia señal".

30 Un péptido de señalización es un péptido corto, comúnmente de 5 a 30 aminoácidos de longitud, presente en el terminal N de la mayoría de las proteínas recién sintetizadas que están destinadas a la vía secretora. Estas proteínas incluyen aquellas que residen dentro de ciertos orgánulos (por ejemplo, el retículo endoplásmico, golgi o los endosomas), son secretadas por la célula y las proteínas transmembrana.

35 Los péptidos señal contienen comúnmente una secuencia central que es un tramo largo de aminoácidos hidrófobos que tiene una tendencia a formar una única hélice alfa. El péptido de señalización puede comenzar con un tramo corto de aminoácidos con carga positiva, lo que ayuda a reforzar la topología adecuada del polipéptido durante la translocación. Al final del péptido de señalización, típicamente hay un tramo de aminoácidos que es reconocido y escindido por la peptidasa señal. La peptidasa señal puede escindirse durante o después de la finalización de la translocación para generar un péptido de señalización libre y una proteína madura. Los péptidos señal libres son luego digeridos por proteasas específicas.

40 El péptido de señalización se coloca comúnmente en el terminal amino de la molécula, aunque se conocen algunos péptidos señal del terminal carboxilo.

45 Como se mencionó anteriormente, las secuencias señal tienen una estructura tripartita, que consiste en una región central hidrófoba (región h) flanqueada por una región n y c. Esta última contiene el sitio de escisión consenso de la peptidasa señal (SPasa). Usualmente, las secuencias señal se escinden de manera cotraduccional, las secuencias señal escindidas resultantes se denominan péptidos señal.

50 En el péptido de señalización de la región V-III de la cadena kappa de Ig murina, que tiene la secuencia: **METDTLILWVLLLLVPGSTG**: la región n tiene la secuencia METD; la región h (mostrada en negrita) tiene la secuencia TLILWVLLLLV; y la región c tiene la secuencia PGSTG.

55 En el constructo de ácido nucleico de la presente invención, los péptidos señal de los dos CAR pueden diferir en el número de aminoácidos hidrófobos, para modular los niveles relativos de expresión de los CAR en la superficie celular.

60 En el constructo de ácido nucleico de la presente invención, la secuencia señal de los dos (o más) polipéptidos, por lo tanto, pueden diferir en sus regiones h. Un polipéptido (que tiene una expresión relativa más alta) puede tener un mayor número de aminoácidos hidrófobos en la región h que el otro polipéptido (que tiene una expresión relativa más baja). El péptido de señalización del polipéptido con menor expresión relativa puede comprender una o más mutaciones de aminoácidos, tales como sustituciones o eliminaciones, de aminoácidos hidrófobos en la región h que el péptido de señalización del polipéptido con menor expresión relativa.

65 El primer péptido de señalización y el segundo péptido de señalización pueden tener sustancialmente las mismas regiones n y c, pero difieren en la región h como se explicó anteriormente. "Sustancialmente igual" indica que las

ES 2 778 905 T3

regiones n y c pueden ser idénticas entre el primer y el segundo péptido de señalización o pueden diferir en uno, dos o tres aminoácidos en la cadena n o c, sin afectar la función del péptido de señalización.

5 Los aminoácidos hidrófobos en el núcleo pueden ser, por ejemplo: alanina (A); Valina (V); Isoleucina (I); Leucina (L); Metionina (M); Fenilalanina (P); Tirosina (Y); o triptófano (W).

Los ácidos hidrófobos mutados para alterar la eficacia del péptido de señalización pueden ser cualquiera de la lista anterior, en particular: Valina (V); Isoleucina (I); Leucina (L); y triptófano (W).

10 De los residuos en la región h, un péptido de señalización (por ejemplo, el péptido de señalización alterado) puede comprender al menos 10%, 20%, 30%, 40% o 50% menos aminoácidos hidrófobos que el otro péptido de señalización (por ejemplo, el péptido de señalización inalterado).

15 Cuando la región h comprende 5-15 aminoácidos, un péptido de señalización puede comprender 1, 2, 3, 4 o 5 aminoácidos más hidrófobos que el otro péptido de señalización.

20 El péptido de señalización alterado puede comprender 1, 2, 3, 4 o 5 eliminaciones o sustituciones de aminoácidos de aminoácidos hidrófobos. Los aminoácidos hidrófobos pueden reemplazarse por aminoácidos no hidrófobos, tales como los aminoácidos hidrofílicos o neutros.

Las secuencias señal se pueden detectar o predecir utilizando técnicas de software (véase, por ejemplo, <http://www.predisi.de/>).

25 Se conoce una gran cantidad de secuencias señal, y están disponibles en bases de datos. Por ejemplo, <http://www.sianalpeptide.de> enlista 2109 péptidos señal de mamíferos confirmados en su base de datos.

30 La Tabla 5 proporciona una lista de secuencias de señal solamente con fines ilustrativos. El núcleo hidrófobo se resalta en negrita. Esta incluye ejemplos de aminoácidos que pueden sustituirse o eliminarse para los fines de la presente invención.

Tabla 5

Número de Acceso	Nombre de la entrada	Nombre de la proteína	Longitud	Secuencia señal (centro hidrófobo)
P01730	CD4_HUMANA	Glicoproteína de superficie de células T CD4	25	MNRGVPFRRHLLLVLQLALLPAATQ G
P08575	CD45_HUMANA	Antígeno común de leucocitos	23	MYLWLKLLAFGFALDTEVFVTG
P01732	CD8A_HUMANA	Cadena alfa de la glicoproteína de superficie de células T CD8	21	MALPVTALLLPLALLLHAARP
P10966	CD8B_HUMANA	Cadena beta de la glicoproteína de superficie de células T CD8	21	MRPRLWLLLAQLTVLHGNSV
P06729	CD2_HUMANA	Antígeno de superficie de células T CD2	24	MSFPCKFVASFLLIFNVSSKGAVS
P06127	CD5_HUMANA	Glicoproteína de superficie de células T CD5	24	MPMGSLQPLATLYLLGMLVASCLG
P09564	CD7_HUMANA	Antígeno de células T CD7	25	MAGPPRLLLLPLLLALARGLPGALA
P17643	TYRP1_HUMANA	Ácido 5,6-dihidroxlindol-2-carboxílico oxidasa	24	MSAPKLLSLGOFPLLLFQQARA
P00709	LALBA_HUMANA	Alfa lactoalbúmina	19	MRFFVPLFLVGILFPAILA
P16278	BGAL_HUMANA	Beta galactosidasa	23	MPGFVLRILPLLLVLLLLGPTRG
P31358	CD52_HUMANA	Antígeno CAMPATH-1	24	MKRFLFLLLTISLLVMVQIQTGLS
Q6YHK3	CD109_HUMANA	Antígeno CD109	21	MQGFPLLTAAHLLCVCTAALA
P01024	CO3_HUMANA	Complemento C3	22	MGPTSGPSLLLLLLTHLPLALG
P10144	GRAB_HUMANA	Granzima B	18	MQPILLLAFLLLPRAA
P04434	KV310_HUMANA	región VH V-III de la cadena kappa de Ig	20	MEAPAQLLFLLLWLDPDTR
P06312	KV401_HUMANA	región V-VI de la cadena kappa de Ig	20	MVLQTVQVIFISLLLVISGAYG
P06319	LV605_HUMAN	Región EB4 V-VI de la cadena lambda de Ig	19	MAWAPLLLLTLLAHCIDCWA
P31785	IL2RG_HUMAN	Cadena gamma común del receptor de citocinas	22	MLKPSLPFTSLLFLQLPLLGVG

(continuación)

Número de Acceso	Nombre de la entrada	Nombre de la proteína	Longitud	Secuencia señal (centro hidrófobo)
Q8N4F0	BPIL1_HUMAN	proteína tipo 1 que aumenta la capacidad bactericida/ permeabilidad	20	MAWASRLGLLLALLLPWGA
P55899	FCGRN_HUMAN	subunidad p51 grande de FcRn receptor de IgG	23	MGVPRPQPWALGLLLFLLPGSLG

El péptido de señalización mutado comprende una o más mutaciones de tal manera que tiene menos aminoácidos hidrófobos que el péptido de señalización de tipo silvestre del que se deriva. El término "tipo silvestre" significa la secuencia del péptido de señalización que se produce en la proteína natural de la que se deriva. Por ejemplo, el péptido de señalización descrito en los ejemplos es el péptido de señalización de la región V-III de la cadena kappa de Ig murina, que tiene la secuencia de tipo silvestre: METDTLILWVLLLLVPGSTG.

El término "tipo silvestre" también incluye péptidos señal derivados de una proteína natural que comprende una o más mutaciones de aminoácidos en la región n o c. Por ejemplo, es común modificar un péptido de señalización natural con una sustitución de aminoácidos conservada en el terminal N para introducir un sitio de restricción. Dichas secuencias de péptidos señal modificadas (que no comprenden ninguna mutación en la región h) se consideran "de tipo silvestre" para los fines de la presente invención.

La presente invención también se refiere a secuencias de péptidos señal sintéticos, que no pueden definirse con referencia a una secuencia de tipo silvestre. En esta realización, el péptido de señalización de un polipéptido comprende menos aminoácidos hidrófobos que la secuencia señal del otro polipéptido. Las dos secuencias señal pueden derivarse de la misma secuencia de péptido de señalización sintético, pero difieren en el número de aminoácidos hidrófobos en la región central.

Dominio de unión a antígeno

El dominio de unión a antígeno es la porción del CAR que reconoce el antígeno. Se conocen numerosos dominios de unión a antígeno en la técnica, incluidos los basados en el sitio de unión a antígeno de un anticuerpo, miméticos de anticuerpos y receptores de células T. Por ejemplo, el dominio de unión a antígeno puede comprender: un fragmento variable de cadena sencilla (scFv) derivado de un anticuerpo monoclonal; un ligando natural del antígeno objetivo; un péptido con suficiente afinidad por el objetivo; un anticuerpo de dominio único; un aglutinante artificial simple tal como Darpina (proteína diseñada de repeticiones de anquirina); o una cadena sencilla derivada de un receptor de células T.

El dominio de unión a antígeno puede comprender un dominio que no está basado en el sitio de unión a antígeno de un anticuerpo. Por ejemplo, el dominio de unión a antígeno puede comprender un dominio basado en una proteína/péptido que es un ligando soluble para un receptor de superficie de células tumorales (por ejemplo, un péptido soluble tal como una citocina o una quimiocina); o un dominio extracelular de un ligando anclado a la membrana o un receptor para el que la contraparte del par de unión se expresa en la célula tumoral.

El dominio de unión a antígeno puede basarse en un ligando natural del antígeno. Por ejemplo, el dominio de unión a antígeno puede comprender APRIL, el ligando natural de BCMA.

El dominio de unión a antígeno puede comprender un péptido de afinidad de una biblioteca combinatoria o una proteína/péptido de afinidad diseñada de novo.

Dominio espaciador

Los CAR pueden comprender una secuencia espaciadora para conectar el dominio de unión a antígeno con el dominio transmembrana y separar espacialmente el dominio de unión a antígeno del endodominio. Un espaciador flexible permite que el dominio de unión a antígeno se oriente en diferentes direcciones para facilitar la unión.

El primer y segundo CAR codificados por el constructo de ácido nucleico de la invención pueden comprender diferentes moléculas espaciadoras. Por ejemplo, la secuencia espaciadora puede, por ejemplo, comprender una región Fc de IgG1, una bisagra de IgG1 o un tallo de CD8 humano o el tallo de CD8 de ratón. El espaciador puede comprender alternativamente una secuencia conectora alternativa que tiene propiedades de espaciamiento de longitud y/o dominio similares a las de una región Fc de IgG1, una bisagra de IgG1 o un tallo de CD8. Se puede alterar un espaciador IgG1 humano para eliminar los motivos de unión a Fc.

A continuación se presentan ejemplos de secuencias de aminoácidos para estos espaciadores:

SEQ ID NO. 5 (bisagra-CH2CH3 de IgG1 humana)

AEPKSPDKTHTCPPCPAPPVAGPSVFLFPPKPKDTLMIARTPEVTCVVVDVSHEDPEVKFN
 WYVDGVEVHNAKTKPREEQYNSTYRVVSVLTVLHQDWLNGKEYKCKVSNKALPAPIEKTIS
 KAKGQPREPQVYTLPPSRDELTKNQVSLTCLVKGFYPSDIAVEWESNGQPENNYKTTTPVL
 DSDGSFFLYSKLTVDKSRWQQGNVFSCSVMHEALHNHYTQKSLSLSPGKKD

SEQ ID NO. 6 (tallo de CD8 humano):
 TTTAPRPPTPAPTIASQPLSLRPEACRPAAGGAVHTRGLDFACDI

5

SEQ ID NO. 7 (bisagra de IgG1 humana):
 AEPKSPDKTHTCPPCKDPK

SEQ ID NO. 8 (ectodominio de CD2)
 KEITNALETWGALGQDINLDIPSFQMSDDIDDIKWEKTSKDKKIAQFRKEKETFKEDTYKLF
 KNGTLKIKHLKTDQDIYKVSIDYTKGKNVLEKIFDLKIQERVSKPKISWTCINTTLTCEVMNG
 TDPELNLYQDGKHLKLSQRVITHKWTTLSAKFKCTAGNKVSKESSVEPVSCP

10

EKGLD

SEQ ID NO. 9 (ectodominio de CD34)

SLDNNGTATPELPTQGTFSNVSTNVSYQETTTTPSTLGSTSLHPVSQHGNEATTNITETTVKF
 TSTSVITSVYGNNTSSVQSQTSVISTVFTTPANVSTPETTLKPSLSPGNVSDLSTTSTSLATS
 PTKPYTSSSPILSDIKAEIKCSGIREVKLTQGICLEQNKTSSCAEFKDRGEGGLARVLCGEEQ
 ADADAGAQVCSLLLAQSEVRPQCLLLVLANRTEISSKLQLMKKHQSDLKGLGILDFTEQDVA
 SHQSYSQKT

15

Dado que los CAR son típicamente homodímeros (véase la Figura 1a), el emparejamiento cruzado puede dar como resultado un receptor de antígeno quimérico heterodimérico. Esto no es deseable por varias razones, por ejemplo: (1) el epítipo puede no estar en el mismo "nivel" en la célula objetivo, de modo que un CAR emparejado en forma cruzada solo puede unirse a un antígeno; (2) la VH y la VL de los dos scFv diferentes podrían intercambiarse y no reconocer el objetivo o peor aún reconocer un antígeno inesperado e impredecible. Para la compuerta "O", el espaciador del primer CAR puede ser suficientemente diferente del espaciador del segundo CAR para evitar el emparejamiento cruzado. La secuencia de aminoácidos del primer espaciador puede compartir menos del 50%, 40%, 30% o 20% de identidad a nivel de aminoácidos con el segundo espaciador.

20

25 Todos los dominios espaciadores mencionados anteriormente forman homodímeros. Sin embargo, el mecanismo no se limita al uso de receptores homodiméricos y debería funcionar con receptores monoméricos siempre que el espaciador sea suficientemente rígido. Un ejemplo de dicho espaciador es CD2 o CD22 truncado.

30 Dominio transmembrana

30

El dominio transmembrana es la secuencia del CAR que se extiende por la membrana.

Un dominio transmembrana puede ser cualquier estructura de proteína que sea termodinámicamente estable en una membrana. Esto es típicamente una hélice alfa que comprende varios residuos hidrófobos. El dominio transmembrana de cualquier proteína transmembrana se puede usar para suministrar la porción transmembrana de la invención. Los expertos en la materia pueden determinar la presencia y la extensión de un dominio transmembrana de una proteína utilizando el algoritmo TMHMM (<http://www.cbs.dtu.dk/services/TMHMM-2.0/>). Además, dado que el dominio transmembrana de una proteína es una estructura relativamente simple, es decir, una secuencia de polipéptidos que se predice que formará una hélice alfa hidrófoba de longitud suficiente para abarcar la membrana, también se puede usar un dominio TM diseñado artificialmente (el documento US 7052906 B1 describe componentes transmembrana sintéticos).

35

40

El dominio transmembrana puede derivarse de CD28, que proporciona una buena estabilidad del receptor.

45 Endodominio de activación

45

El endodominio es la porción de transmisión de señal de un CAR. Puede ser parte del CAR, o como parte de una molécula separada que se asocia con el CAR (dominios de unión a antígeno y transmembrana) intracelular para realizar su función de transmisión de señal. Después del reconocimiento de antígeno, los receptores se agrupan, los CD45 y CD148 nativos se excluyen de la sinapsis y se transmite una señal a la célula. El componente de endodominio

50

más utilizado es el de CD3-zeta que contiene 3 ITAM. Esto transmite una señal de activación a la célula T después de que se une el antígeno. CD3-zeta puede no proporcionar una señal de activación completamente competente y puede ser necesaria una señalización coestimuladora adicional. Por ejemplo, CD28 y OX40 quiméricos pueden usarse con CD3-Zeta para transmitir una señal proliferativa/de supervivencia, o los tres pueden usarse juntos.

5 En la "compuerta O" de la presente invención, la célula comprende dos CAR, cada uno de los cuales comprende o se asocia con un endodominio de activación. El endodominio de activación es capaz de transmitir tanto la señal inmunológica 1 como la señal inmunológica 2. Un endodominio no se considera "de activación" si solo comprende
10 CD3ζ, que es suficiente para desencadenar la muerte de las células T de las células objetivo afines que no activa completamente las células T para proliferar y sobrevivir. Un "endodominio de activación" es un endodominio compuesto: en el que la parte intracelular de una molécula coestimuladora de células T se fusiona con la de CD3ζ dando como resultado un receptor de "segunda generación" que puede transmitir una señal de activación y coestimuladora simultáneamente después del reconocimiento de antígeno. El dominio coestimulador más utilizado es el de CD28. Esto proporciona la señal coestimuladora más potente, a saber, la señal inmunológica 2, que desencadena
15 la proliferación de células T. Además de un dominio coestimulador, el endodominio activador también puede incluir endodominios de la familia de receptores de TNF, tales como los OX40 y 41BB estrechamente relacionados que transmiten señales de supervivencia.

20 Por lo tanto, un endodominio "de activación" puede no comprender el endodominio CD3-Zeta o el endodominio CD28 solo. Un endodominio de activación puede, por ejemplo, comprender el endodominio CD3-Zeta con el de CD28 u OX40 o el endodominio CD28 y el endodominio OX40 y CD3-Zeta.

25 Cada uno de los CAR en la compuerta O es independientemente capaz de activar las células T. Las células T se activan por lo tanto por la presencia de cualquier antígeno solo. Los dos CAR no son "complementarios" en el sentido de que la activación de ambos CAR es necesaria para proporcionar señales de activación y coestimuladoras.

Un endodominio que contiene un motivo ITAM puede actuar como un endodominio de activación en esta invención. Se sabe que varias proteínas contienen endodominios con uno o más motivos ITAM. Los ejemplos de tales proteínas incluyen la cadena épsilon de CD3, la cadena gamma de CD3 y la cadena delta de CD3, por nombrar algunas. El
30 motivo ITAM puede reconocerse fácilmente como una tirosina separada de una leucina o isoleucina por otros dos aminoácidos, produciendo la firma YxxL/I. Típicamente, pero no siempre, dos de estos motivos están separados por entre 6 y 8 aminoácidos en la cola de la molécula (YxxL/Ix(6-8)YxxL/I). Por lo tanto, un experto en la materia puede encontrar fácilmente proteínas existentes que contienen uno o más ITAM para transmitir una señal de activación. Además, dado que el motivo es simple y no se requiere una estructura secundaria compleja, un experto en la materia
35 puede diseñar polipéptidos que contengan ITAM artificiales para transmitir una señal de activación (véase el documento WO 2000063372, que se refiere a moléculas de señalización sintéticas).

40 El dominio de señalización de células T transmembrana e intracelular (endodominio) de un CAR con un endodominio de activación puede comprender la secuencia mostrada tal como la SEQ ID NO. 10, 11 o 12 o una variante de la misma que tiene al menos un 80% de identidad de secuencia.

La SEQ ID NO. 10 comprende el dominio de transmembrana CD28 y el endodominio CD3 Z
FWLVVVGGVLACYSLLVTVAFIIFWRRVKFSRSADAPAYQQGQNQLYNELNLGRREEY
DVLDKRRGRDPEMGGKPRRKNPQEGLYNELQKDKMAEAYSEIGMKGERRRGKGGHDGLY
QGLSTATKDTYDALHMQALPPR

45 La SEQ ID NO. 11 comprende el dominio transmembrana CD28 y los endodominios CD28 y CD3 Zeta
FWLVVVGGVLACYSLLVTVAFIIFWRSKRSRLLHSDYMNMTPRRPGPTRKHYPYAPP
RDFAAYSRVKFSRSADAPAYQQGQNQLYNELNLGRREEYDVLDKRRGRDPEMGGKPRR
KNPQEGLYNELQKDKMAEAYSEIGMKGERRRGKGGHDGLYQGLSTATKDTYDALHMQALP
PR

La SEQ ID NO. 12 comprende el dominio transmembrana CD28 y los endodominios CD28, OX40 y CD3 Zeta
FWLVVVGGVLACYSLLVTVAFIIFWRSKRSRLLHSDYMNMTPRRPGPTRKHYPYAPP
RDFAAYSRDQLPPDAHKPPGGGFRFTPIQEEQADAHSTLAKIRVKFSRSADAPAYQQG
QNQLYNELNLGRREEYDVLDKRRGRDPEMGGKPRRKNPQEGLYNELQKDKMAEAYSEIG
50 MKGERRRGKGGHDGLYQGLSTATKDTYDALHMQALPPR

Una secuencia variante puede tener al menos 80%, 85%, 90%, 95%, 98% o 99% de identidad de secuencia con 10, 11 o 12, siempre que la secuencia proporcione un dominio transmembrana efectivo y un dominio efectivo de señalización intracelular de células T.

Construceto de ácido nucleico

La presente invención proporciona un construceto de ácido nucleico que comprende la siguiente estructura:

5

A-X-B

en la cual

10 A y B son secuencias de ácido nucleico que codifican un primer receptor de antígeno quimérico (CAR) y un segundo CAR; y

X es una secuencia de ácido nucleico que codifica un sitio de escisión, en el que

15 el primer CAR y el segundo CAR reconocen diferentes antígenos;

el primer CAR y el segundo CAR comprenden cada uno un endodominio de activación; y el primer y/o segundo CAR comprende una señal de retención intracelular seleccionada del siguiente grupo: una señal de endocitosis; una señal de retención Golgi; una señal de reciclaje de la red trans-Golgi (TGN); una señal de retención del retículo endoplásmico (ER); y una señal de clasificación lisosómica.

20 La presente invención también proporciona constructos de ácido nucleico que comprenden A-X-B pero también expresan una o más proteínas de interés adicionales (POI). Por ejemplo, la presente invención proporciona un construceto de ácido nucleico que comprende la siguiente estructura:

A-X-B-Y-C

25

en la cual

A, B y C son secuencias de ácido nucleico que codifican un primer, segundo y tercer polipéptidos de interés (POI); y X e Y son secuencias de ácido nucleico que pueden ser iguales o diferentes, cada una de las cuales codifica un sitio de escisión,

30 en el que al menos dos de los POI son receptores de antígeno quimérico (CAR) que comprenden una señal de retención intracelular.

Secuencias de ácido nucleico que codifican CAR

35

El construceto de ácido nucleico de la presente invención comprende dos o más secuencias de ácido nucleico que codifican CAR.

40 La secuencia de ácido nucleico puede comprender la SEQ ID NO. 13, o una variante de la misma, con la adición de una o más secuencias que codifican secuencia o secuencias de retención intracelular.

SEQ ID NO. 13:

>MP13974.SFG.ACD19fmc63-CD8STK-CD28tmZ-2A-aCD33glx-HCH2CH3pvaa-CD28tmZw

ES 2 778 905 T3

ATGAGCCTGCCCCGTGACCGCCCTGCTGCTGCCCCTGGCCCTGCTGCTGCACGCCGCC
AGACCAGACATCCAGATGACCCAGACCACCAGCAGCCTGAGCGCCAGCCTGGGCGAC
CGGGTGACCATCAGCTGCAGAGCCAGCCAGGACATCAGCAAGTACCTGAACTGGTACC
AGCAGAAGCCCCGACGGCACCGTGAAGCTGCTGATCTACCACACCAGCCGGCTGCACA
GCGGCGTGCCAGCCGGTTCAGCGGCAGCGGCAGCGGCACCGACTACAGCCTGACC
ATCAGCAACCTGGAGCAGGAGGACATCGCCACCTACTTCTGCCAGCAGGGCAACACCC
TGCCCTACACCTTCGGAGGCGGCACCAAGCTGGAGATCACCAAGGCCGGAGGCGGAG
GCTCTGGCGGAGGCGGCTCTGGCGGAGGCGGCTCTGGCGGAGGCGGCAGCGAGGT
GAAGCTGCAGGAGTCTGGCCCAGGCCTGGTGGCCCCAAGCCAGAGCCTGAGCGTGAC
CTGCACCGTGAGCGGCGTGAGCCTGCCGACTACGGCGTGAGCTGGATCAGGCAGCC
CCCACGGAAGGGCCTGGAGTGGCTGGGCGTGATCTGGGGCAGCGAGACCACCTACTA
CAACAGCGCCCTGAAGAGCCGGCTGACCATCATCAAGGACAACAGCAAGAGCCAGGT
GTTCTGAAGATGAACAGCCTGCAGACCGACGACACCGCCATCTACTACTGCGCCAAG
CACTACTACTATGGCGGCAGCTACGCTATGGACTACTGGGGCCAGGGCACCAGCGTG
ACCGTGAGCTCAGATCCCACCACGACGCCAGCGCCGCGACCACCAACACCGGCGCCC
ACCATCGCGTCGCAGCCCCTGTCCCTGCGCCCAGAGGCGTGCCGGCCAGCGGCGGG
GGGCGCAGTGACACGAGGGGGGCTGGACTTCGCCTGTGATATCTTTTGGGTGCTGGT
GGTGGTTGGTGGAGTCTGGCTTGCTATAGCTTGCTAGTAACAGTGGCCTTTATTATTT
TCTGGGTGAGGAGAGTGAAGTTCAGCAGGAGCGCAGACGCCCCCGCGTACCAGCAGG
GCCAGAACCAGCTCTATAACGAGCTCAATCTAGGACGAAGAGAGGAGTACGATGTTTT
GGACAAGAGACGTGGCCGGGACCCTGAGATGGGGGGAAAGCCGAGAAGGAAGAACC
CTCAGGAAGGCCTGTACAATGAACTGCAGAAAGATAAGATGGCGGAGGCCTACAGTGA
GATTGGGATGAAAGGCGAGCGCCGGAGGGGCAAGGGGCACGATGGCCTTTACCAGG
GTCTCAGTACAGCCACCAAGGACACCTACGACGCCCTTCACATGCAGGCCCTGCCTCC
TCGCAGAGCCGAGGGCAGGGGAAAGTCTTCTAACATGCGGGGACGTGGAGGAAAATCC
CGGGCCCATGGCCGTGCCCACTCAGGTCCTGGGGTTGTTGCTACTGTGGCTTACAGAT
GCCAGATGTGACATCCAGATGACACAGTCTCCATCTTCCCTGTCTGCATCTGTCCGAGA
TCGCGTCACCATCACCTGTGAGCAAGTGAGGACATTTATTTAATTTAGTGTGGTATCA
GCAGAAACCAGGAAAGGCCCCCTAAGCTCCTGATCTATGATACAAATCGCTTGGCAGAT
GGGGTCCCATCACGGTTCAGTGGCTCTGGATCTGGCACACAGTATACTCTAACCATAA
GTAGCCTGCAACCCGAAGATTTGCAACCTATTATTGTCAACACTATAAGAATTATCCGC
TCACGTTCCGGTCAGGGGACCAAGCTGGAAATCAAAGATCTGGTGGCGGAGGGTCAG
GAGGCGGAGGCAGCGGAGGCGGTGGCTCGGGAGGCGGAGGCTCGAGATCTGAGGTG
CAGTTGGTGGAGTCTGGGGGCGGCTTGGTGCAGCCTGGAGGGTCCCTGAGGCTCTCC

TGTGCAGCCTCAGGATTCACTCTCAGTAATTATGGCATGCACTGGATCAGGCAGGCTC
 CAGGGAAGGGTCTGGAGTGGGTCTCGTCTATTAGTCTTAATGGTGGTAGCACTTACTAT
 CGAGACTCCGTGAAGGGCCGATTCACTATCTCCAGGGACAATGCAAAAAGCACCTCT
 ACCTTCAAATGAATAGTCTGAGGGCCGAGGACACGGCCGTCTATTACTGTGCAGCACA
 GGACGCTTATACGGGAGGTTACTTTGATTACTGGGGCCAAGGAACGCTGGTCACAGTC
 TCGTCTATGGATCCCGCCGAGCCCAAATCTCCTGACAAAACACACATGCCACCGT
 GCCCAGCACCTCCCGTGGCCGGCCCGTCAGTCTTCTCTTCCCCCAAACCCAAGGA
 CACCCTCATGATCGCCCGGACCCCTGAGGTCACATGCGTGGTGGTGGACGTGAGCCA
 CGAAGACCCTGAGGTCAAGTTCAACTGGTACGTGGACGGCGTGGAGGTGCATAATGCC
 AAGACAAAGCCGCGGGAGGAGCAGTACAACAGCACGTACCGTGTGGTCAGCGTCCTC
 ACCGTCTGCACCAGGACTGGCTGAATGGCAAGGAGTACAAGTGCAAGGTCTCCAACA
 AAGCCCTCCCAGCCCCATCGAGAAAACCATCTCCAAAGCCAAAGGGCAGCCCCGAGA
 ACCACAGGTGTACACCCTGCCCCATCCCGGGATGAGCTGACCAAGAACCAGGTCAG
 CCTGACCTGCCTGGTCAAAGGCTTCTATCCAGCGACATCGCCGTGGAGTGGGAGAG
 CAATGGGCAACCGGAGAACAACACTACAAGACCACGCCTCCCGTGCTGGACTCCGACGG
 CTCCTTCTTCTCTACAGCAAGCTCACCGTGGACAAGAGCAGGTGGCAGCAGGGGAAC
 GTCTTCTCATGCTCCGTGATGCATGAGGCCCTGCACAATCACTATACCCAGAAATCTCT
 GAGTCTGAGCCCAGGCAAGAAGGACCCCAAGTTCTGGGTCTGGTGGTGGTGGGAGG
 CGTGTGCGCTGTTACTCTCTCTGGTGACCGTGGCCTTCATCATCTTTTGGGTGCGCT
 CCCGGGTGAAGTTTTCTCGCTCTGCCGATGCCCCAGCCTATCAGCAGGGCCAGAATCA
 GCTGTACAATGAACTGAACTGGGCAGGCGGGAGGAGTACGACGTGCTGGATAAGCG
 GAGAGGCAGAGACCCCGAGATGGGCGGCAAAACCACGGCGCAAAAATCCCCAGGAGG
 GACTCTATAACGAGCTGCAGAAGGACAAAATGGCCGAGGCCTATTCCGAGATCGGCAT
 GAAGGGAGAGAGAAGACGCGGAAAGGGCCACGACGGCCTGTATCAGGGATTGTCCAC
 CGCTACAAAAGATACATATGATGCCCTGCACATGCAGGCCCTGCCACCCAGATGA

5 La secuencia de ácido nucleico puede codificar la misma secuencia de aminoácidos que la codificada por la SEQ ID NO. 13, pero puede tener una secuencia de ácido nucleico diferente, debido a la degeneración del código genético. La secuencia de ácido nucleico puede tener al menos 80, 85, 90, 95, 98 o 99% de identidad con la secuencia mostrada como la SEQ ID NO. 13, siempre que codifique un primer CAR y un segundo CAR.

Sitio de escisión

10 El presente constructo de ácido nucleico comprende una secuencia que codifica un sitio de escisión colocado entre secuencias de ácido nucleico que codifican los primer y segundo CAR, de modo que el primer y el segundo CAR pueden expresarse como entidades separadas.

15 El sitio de escisión puede ser cualquier secuencia que permita que el polipéptido que comprende el primer y el segundo CAR se separen.

20 El término "escisión" se usa en este documento por conveniencia, pero el sitio de escisión puede hacer que el primer y el segundo CAR se separen en entidades individuales por un mecanismo distinto de la escisión clásica. Por ejemplo, para el péptido de auto-escisión del virus de la fiebre aftosa (FMDV) 2A (véase más abajo), se han propuesto varios modelos para explicar la actividad de "escisión": proteólisis por una proteinasa de células huésped, autoproteólisis o un efecto traduccional (Donnelly et al., (2001) J. Gen. Virol. 82: 1027-1041). El mecanismo exacto de tal "escisión" no es importante para los propósitos de la presente invención, siempre que el sitio de escisión, cuando se coloca entre secuencias de ácido nucleico que codifican un primer y un segundo CAR, hace que el primer y segundo CAR se expresen como entidades separadas.

25 El sitio de escisión puede ser un sitio de escisión de furina.

La furina es una enzima que pertenece a la familia de la proproteína convertasa de tipo subtilisina. Los miembros de esta familia son las convertasas de proproteína que procesan proteínas precursoras latentes en sus productos biológicamente activos. La furina es una serina endoproteasa dependiente de calcio que puede escindir eficientemente las proteínas precursoras en sus sitios de procesamiento de aminoácidos básicos emparejados. Los ejemplos de

5 sustratos de furina incluyen la hormona proparatiroides, el precursor del factor de crecimiento transformante beta 1, la proalbúmina, la probeta-secretasa, la metaloproteínasa de matriz de membrana tipo 1, la subunidad beta del factor de crecimiento pronervioso y el factor de von Willebrand. La furina escinde proteínas justo después de una secuencia objetivo de aminoácidos básica (canónicamente, Arg-X-(Arg/Lys)-Arg') y se enriquece en el aparato de Golgi.

10 El sitio de escisión puede ser un sitio de escisión del virus de grabado de tabaco (TEV).

La proteasa de TEV es una cisteína proteasa altamente específica de secuencia que es proteasa de tipo quimotripsina. Es muy específica para su sitio de escisión objetivo y, por lo tanto, se usa con frecuencia para la escisión controlada de proteínas de fusión tanto *in vitro* como *in vivo*. El sitio de escisión de TEV de consenso es ENLYFQ\IS (en el que 'I' denota el enlace peptídico escindido). Las células de mamíferos, tales como las células humanas, no expresan la proteasa de TEV. Por lo tanto, en realizaciones en las que el presente constructo de ácido nucleico comprende un sitio de escisión de TEV y se expresa en una célula de mamífero, la proteasa de TEV exógena también debe expresarse en la célula de mamífero.

15

20 El sitio de escisión puede codificar un péptido de auto escisión.

Un 'péptido de auto escisión' se refiere a un péptido que funciona de tal manera que cuando se produce el polipéptido que comprende el primer y el segundo CAR y el péptido de auto escisión, se "escinde" o se separa inmediatamente en un primer y segundo CAR distinto y discreto sin la necesidad de ninguna actividad de escisión externa.

25 El péptido de auto escisión puede ser un péptido 2A auto escindible de un aftovirus o un cardiovirus. La escisión primaria de 2A/2B de los aftovirus y cardiovirus está mediada por la "escisión" de 2A en su propio terminal C. En los aftovirus, tales como los virus de la fiebre aftosa (FMDV) y el virus de la rinitis equina A, la región 2A es una sección corta de aproximadamente 18 aminoácidos, que, junto con el residuo del terminal N de la proteína 2B (un residuo de prolina conservado) representa un elemento autónomo capaz de mediar la "escisión" en su propio terminal C.

30

Los 19 aminoácidos del terminal C de la proteína más larga del cardiovirus, junto con la prolina terminal N de 2B median la "escisión" con una eficiencia aproximadamente igual a la secuencia 2a del aftovirus FMDV. Los cardiovirus incluyen el virus de la encefalomiocarditis (EMCV) y el virus de la encefalitis murina de Theiler (TMEV).

35 El análisis mutacional de EMCV y FMDV 2A ha revelado que el motivo DxExNPGP está íntimamente involucrado en la actividad de "escisión" (Donnelly et al., (2001) como anteriormente).

El sitio de escisión de la presente invención puede comprender la secuencia de aminoácidos: Dx₁Ex₂NPGP, en la que x₁ y x₂ son cualquier aminoácido. X₁ puede seleccionarse del siguiente grupo: I, V, M y S. X₂ puede seleccionarse del siguiente grupo: T, M, S, L, E, Q y F.

40

Por ejemplo, el sitio de escisión puede comprender una de las secuencias de aminoácidos que se muestran en la Tabla 6.

45

Tabla 6

Motivo	Presente en:
DIETNPGP (SEQ ID NO. 14)	Picornavirus EMCB, EMCD, EMCPV21
DVETNPGP (SEQ ID NO. 15)	Picornavirus MENGO y TMEBEAN; virus de insectos DCV, ABPV
DVEMNPGP (SEQ ID NO. 16)	Picornavirus TMEGD7 y TMEBEAN
DVESNPGP (SEQ ID NO. 17)	Picornavirus FMDA10, FMDA12, FMDC1, FMD01K, FMDSAT3, FMDVSAT2, ERAV; virus de insectos CrPV
DMESNPGP (SEQ ID NO. 18)	Picornavirus FMDV01G
DVELNPGP (SEQ ID NO. 19)	Picornavirus ERBV; rotavirus porcino
DVEENPGP (SEQ ID NO. 20)	Picornavirus PTV-1; virus de insectos TaV; Trypanosoma TSR1
DIELNPGP (SEQ ID NO. 21)	Rotavirus bovino, rotavirus humano
DIEQNPGP (SEQ ID NO. 22)	Endonucleasa AP de Trypanosoma
DSEFNPGP (SEQ ID NO. 23)	Secuencia bacteriana de <i>T. maritima</i>

El sitio de escisión, basado en una secuencia 2A puede tener, por ejemplo, 15-22 aminoácidos de longitud. La secuencia puede comprender el terminal C de una proteína 2A, seguido de un residuo de prolina (que corresponde a la prolina del terminal N de 2B).

50

Los estudios de mutaciones también han demostrado que, además de las secuencias 2A naturales, algunas variantes también son activas. El sitio de escisión puede corresponder a una secuencia variante de un polipéptido 2A de origen

natural, tener una, dos o tres sustituciones de aminoácidos, que retienen la capacidad de inducir la "escisión" de una secuencia de poliproteína en dos o más proteínas separadas.

5 La secuencia de escisión puede seleccionarse de entre las siguientes, que se ha demostrado que son activas hasta cierto punto (Donnelly et al., (2001) como anteriormente):

10 LLNFDLLKLAGDVESNPGP (SEQ ID NO. 24)
 LLNFDLLKLAGDVQSNPGP (SEQ ID NO. 25)
 LLNFDLLKLAGDVEINPGP (SEQ ID NO. 26)
 LLNFDLLKLAGDVEFNPGP (SEQ ID NO. 27)
 LLNFDLLKLAGDVESHPPGP (SEQ ID NO. 28)
 LLNFDLLKLAGDVESEPPGP (SEQ ID NO. 29)
 LLNFDLLKLAGDVESQPPGP (SEQ ID NO. 30)
 LLNFDLLKLAGDVESNPPGP (SEQ ID NO. 31)

15 Con base en la secuencia del motivo DxExNPGP, se han encontrado secuencias "similares a 2A" en picornavirus distintos de los aftovirus o cardiovirus, virus de insecto 'similares a picornavirus', rotavirus tipo C y secuencias repetidas dentro del *Trypanosoma spp* y una secuencia bacteriana (Donnelly et al., (2001) como anteriormente). El sitio de escisión puede comprender una de estas secuencias de tipo 2A, tales como:

20 YHADYYKQRLIHDVEMNPGP (SEQ ID NO. 32)
 HYAGYFADLLIHDVETNPGP (SEQ ID NO. 33)
 QCTNYALLKLAGDVESNPGP (SEQ ID NO. 34)
 ATNFSLLKQAGDVEENPGP (SEQ ID NO. 35)
 25 AARQMLLLLSGDVETNPGP (SEQ ID NO. 36)
 RAEGRGSLLTCGDVEENPGP (SEQ ID NO. 37)
 TRAEIEDELIRAGIESNPGP (SEQ ID NO. 38)
 TRAEIEDELIRADIESNPGP (SEQ ID NO. 39)
 AKFQIDKILISGDVELNPGP (SEQ ID NO. 40)
 30 SSIIRTKMLVSGDVEENPGP (SEQ ID NO. 41)
 CDAQRQKLLLLSGDIEQNPGP (SEQ ID NO. 42)
 YPIDFGGFLVKADSEFNPGP (SEQ ID NO. 43)

35 El sitio de escisión puede comprender la secuencia similar a 2A mostrada como la SEQ ID NO. 37 (RAEGRGSLLTCGDVEENPGP).

Se ha demostrado que incluir una "extensión" del terminal N de entre 5 y 39 aminoácidos puede aumentar la actividad (Donnelly et al., (2001) como anteriormente). En particular, la secuencia de escisión puede comprender una de las siguientes secuencias o una variante de la misma que tiene, por ejemplo, hasta 5 cambios de aminoácidos que retienen la actividad del sitio de escisión:

40 VTELLYRMKRAETYCPRLAIHPTEARHKQKIVAPVKQTLNFDLLKLAGDVESNPGP (SEQ ID NO. 44)
 LLAIHPTEARHKQKIVAPVKQTLNFDLLKLAGDVESNPGP (SEQ ID NO. 45)
 EARHKQKIVAPVKQTLNFDLLKLAGDVESNPGP (SEQ ID NO. 46)
 45 APVKQTLNFDLLKLAGDVESNPGP (SEQ ID NO. 47)

Señal de retención intracelular

50 El constructo de ácido nucleico de la presente invención puede comprender una secuencia que codifica un CAR que comprende una señal de retención intracelular.

El direccionamiento de proteínas o la clasificación de proteínas es el mecanismo biológico por el cual las proteínas son transportadas a los destinos apropiados en la célula o fuera de ella. Las proteínas pueden dirigirse al espacio interior de un orgánulo, diferentes membranas intracelulares, membrana plasmática o al exterior de la célula a través de la secreción. Este proceso de suministro se lleva a cabo con base en la información de secuencia contenida en la proteína misma.

60 Las proteínas sintetizadas en el retículo endoplásmico rugoso (RE) de las células eucariotas utilizan la vía exocítica para el transporte a sus destinos finales. Las proteínas que carecen de señales de clasificación especiales son transportadas vectorialmente desde el ER a través de la red de Golgi y trans-Golgi (TGN) a la membrana plasmática. Otras proteínas tienen señales dirigidas para su incorporación a orgánulos específicos de la vía exocítica, tal como los endosomas y los lisosomas.

65 Los lisosomas son orgánulos ácidos en los que las macromoléculas endógenas e internalizadas son degradadas por las hidrolasas lumbales. Las macromoléculas endógenas alcanzan el lisosoma al ser clasificadas en el TGN desde el cual son transportadas a los endosomas y luego a los lisosomas.

La presente invención puede explotar las señales de direccionamiento utilizadas por una célula para clasificar proteínas en la ubicación intracelular correcta. Las señales pueden clasificarse ampliamente en los siguientes tipos:

- 5 i) señales de endocitosis
- ii) señales de retención de Golgi
- iii) señales de reciclaje de TGN
- iv) señales de retención de ER
- 10 v) señales de clasificación lisosomales.

15 'Señal de retención intracelular' se refiere a una secuencia de aminoácidos que dirige la proteína en la que está incluida a un compartimento celular distinto de la membrana de la superficie celular o al exterior de la célula.

La señal de retención intracelular provoca una reducción en la cantidad de CAR expresada en la superficie de una célula en comparación con una CAR equivalente u otra proteína transmembrana de control que no comprende una señal de retención intracelular.

20 En otras palabras, la proporción de CAR traducida que comprende una señal de retención intracelular que se expresa en la superficie celular es menor que la proporción de una cantidad equivalente de un CAR traducido de control equivalente u otra proteína transmembrana que no comprende una señal de retención intracelular.

Por ejemplo, la cantidad de CAR que comprende una señal de retención intracelular que se expresa en la superficie de una célula puede ser inferior al 75%, inferior al 50%, inferior al 25% o inferior al 10% de la cantidad de un CAR de control equivalente u otra proteína transmembrana que no comprende una señal de retención intracelular.

25 Los constructos que expresan una poliproteína que se escinde posteriormente por una proteasa generalmente están limitadas por el hecho de que la expresión de los péptidos a partir de la poliproteína se limita a una relación 1:1. Sin embargo, en la presente invención, la inclusión de una señal de retención intracelular en el CAR significa que su expresión en la superficie celular puede ser modulada (por ejemplo, reducida en comparación con un CAR equivalente de control u otra proteína transmembrana que no comprenda una señal de retención intracelular). Como tal, la proporción de CAR que comprende la señal de retención intracelular expresada en la superficie celular en comparación con la expresión del segundo CAR expresado en la poliproteína puede ser, por ejemplo, aproximadamente 1:1,5, de 1:1,5 - 1:2, 1:2 - 1:3, 1:3 - 1:4, 1:4 - 1:5, o más de 1:5.

35 La cantidad de un CAR expresado en la superficie de una célula puede determinarse usando métodos que son conocidos en la técnica, por ejemplo, citometría de flujo o microscopía de fluorescencia.

La señal de retención intracelular puede dirigir el CAR lejos de la ruta secretora durante la translocación desde el ER.

40 La señal de retención intracelular puede dirigir el CAR a un compartimento o complejo intracelular. La señal de retención intracelular puede dirigir el CAR a un compartimento intracelular unido a la membrana.

Por ejemplo, la señal de retención intracelular puede dirigir el CAR a un compartimento lisosómico, endosómico o de Golgi (red trans-Golgi, 'TGN').

45 Dentro de una célula normal, las proteínas que surgen de la biogénesis o la vía endocítica se clasifican en el compartimento intracelular apropiado siguiendo un conjunto secuencial de decisiones de clasificación. En la membrana plasmática, las proteínas pueden permanecer en la superficie celular o ser internalizadas en los endosomas. En la TGN, la elección es entre ir a la membrana plasmática o ser desviado a los endosomas. En los endosomas, las proteínas pueden reciclarse a la membrana plasmática o ir a los lisosomas. Estas decisiones se rigen por la clasificación de las señales en las proteínas mismas.

50 Los lisosomas son orgánulos celulares que contienen enzimas hidrolasas ácidas que descomponen los materiales de desecho y los residuos celulares. La membrana alrededor de un lisosoma permite que las enzimas digestivas trabajen al pH que requieren. Los lisosomas se fusionan con vacuolas autofágicas (fagosomas) y dispensan sus enzimas en las vacuolas autofágicas, digiriendo su contenido.

55 Un endosoma es un compartimento unido a la membrana dentro de las células eucariotas. Es un compartimento de la vía de transporte de la membrana endocítica desde la membrana plasmática hasta el lisosoma y proporciona un entorno para clasificar el material antes de que llegue al lisosoma degradante. Los endosomas pueden clasificarse como endosomas tempranos, endosomas tardíos o endosomas de reciclaje, dependiendo del tiempo que le tome al material endocitosado llegar a ellos. La señal de retención intracelular usada en la presente invención puede dirigir la proteína a un compartimento endosómico tardío.

El aparato de Golgi es parte del sistema de endomembrana celular, el aparato de Golgi empaqueta proteínas dentro de la célula antes de que se envíen a su destino; es particularmente importante en el procesamiento de proteínas para la secreción.

5 Existe un considerable conocimiento que ha surgido de estudios que investigan las señales de clasificación presentes en proteínas conocidas, y el efecto de alterar su secuencia y/o posición dentro de la molécula (Bonifacino y Traub (2003) Ann. Rev. Biochem 72: 395-447; Braulke y Bonifacino (2009) Biochimica y Biophysica Acta 1793: 605-614; Griffith (2001) Current Biology 11: R226-R228; Mellman y Nelson (2008) Nat Rev Mol Cell Biol. 9: 833 -845; Dell'Angelica y Payne (2001) Cell 106: 395-398; Schafer et al., (1995) EMBO J. 14: 2424-2435; Trejo (2005) Mol. Pharmacol. 67: 1388-1390). Numerosos estudios han demostrado que es posible insertar una o más señales de clasificación en una proteína de interés para alterar la ubicación intracelular de una proteína de interés (Pelham (2000) Meth. Enzymol. 327: 279-283).

15 Por lo tanto, es perfectamente posible seleccionar una señal de clasificación que tenga una propiedad de localización deseada e incluirla dentro de una proteína de interés para dirigir la ubicación intracelular de esa proteína. En relación con la presente solicitud, por lo tanto, es posible seleccionar una señal de clasificación que tenga la cantidad deseada de reducción de la expresión en la membrana plasmática.

20 La posición óptima de la señal de clasificación en la proteína nascente de interés puede depender del tipo de proteína transmembrana (es decir, los tipos I-IV) y si el terminal C está en el lado luminal o citoplasmático de la membrana (Goder y Spiess (2001) FEBS Lett 504: 87-93). Esto puede determinarse fácilmente considerando la posición de la señal de clasificación en su proteína natural.

25 Los ejemplos de señales de endocitosis incluyen los del receptor de transferrina y el receptor de asialoglicoproteína.

Los ejemplos de señales que causan el reciclaje del endosoma de TGN incluyen aquellas formas de proteínas tales como las CI-MPR y CD-MPR, sortilina, las proteínas relacionadas con el receptor de LDL LRP3 y LRP10 y la secretasa β, GGA1-3, LIMP-II, NCP1, mucopolipina-1, sialina, GLUT8 y cadena invariante.

30 Los ejemplos de señales de retención de TGN incluyen las de las siguientes proteínas que están localizadas en el TGN: las enzimas de procesamiento de prohormonas furina, PC7, CPD y PAM; la glicoproteína E del virus del herpes 3 y TGN38.

35 Los ejemplos de señales de retención de ER incluyen señales del terminal C tales como KDEL, KKXX o KXKXX y el motivo RXR (R) de los canales de potasio. Las proteínas conocidas de ER incluyen la proteína E19 de adenovirus y ERGIC53.

40 Los ejemplos de señales de clasificación lisosomal incluyen las que se encuentran en las proteínas de membrana lisosómica, tales como LAMP-1 y LAMP-2, CD63, CD68, endolina, DC-LAMP, cistinosina, intercambiador de fosfato de azúcar 2 y fosfatasa ácida.

45 La señal de retención intracelular puede ser de la proteína E19 del adenovirus. La señal de retención intracelular puede ser de la proteína E3/19K, que también se conoce como E3gp de 19 kDa; E19 o GP19K. La señal de retención intracelular puede comprender la cola citosólica completa de E3/19K, que se muestra como la SEQ ID NO. 2; o los últimos 6 aminoácidos de esta cola, que se muestran como la SEQ ID NO. 3. Los presentes inventores han demostrado que los últimos 6 aminoácidos son particularmente importantes para la retención (Ejemplo 3 y Figura 5)

SEQ ID NO. 2: KYKSRRSFIDEKKMP

SEQ ID NO. 3: DEKKMP

50 Ajuste

La expresión relativa de uno o ambos CAR puede ajustarse mediante diversos métodos, tales como

55 a) alterar la posición de la señal de retención intracelular en la molécula de proteína; y/o
b) seleccionar una señal de retención intracelular particular.

La opción a) se discute con más detalle a continuación.

60 Con respecto a la opción b), está disponible un intervalo de señales de retención intracelular de la gran cantidad de proteínas naturales que se clasifican en ubicaciones celulares distintas dentro de las células eucariotas. También es posible usar señales de retención intracelular "sintéticas" que comprenden uno o más de los motivos que se encuentran en las proteínas naturales (véase la siguiente sección) y tienen una función de señal de clasificación similar.

65

Una cascada de intensidad de señal está disponible, dependiendo de la ubicación intracelular a la que la señal de clasificación envía la proteína relevante. En términos generales, cuanto más "intracelular" es la ubicación dirigida por la señal de clasificación, más "fuerte" es la señal en términos de disminución de la expresión relativa de la proteína.

5 Cuando una señal de clasificación dirige una proteína al compartimento lisosómico, la proteína es internalizada y degradada por la célula, dando como resultado un escape relativamente pequeño a la superficie celular. La proteína se degrada y se pierde del sistema una vez que ingresa al lisosoma. Por lo tanto, las señales de clasificación lisosómica, como LAMP1, son las "más fuertes" en términos de reducción de la expresión relativa en la superficie celular.

10 Cuando una señal de clasificación dirige una proteína para ser retenida en el ER, solo una proporción muy pequeña de la proteína llega a la superficie celular. Por lo tanto, las señales de retención o reciclaje de ER, tales como la señal ERGIC-53 y KKFF son las siguientes más fuertes, en términos de reducción de la expresión relativa en la superficie celular.

15 Cuando una señal de clasificación dirige una proteína a los compartimentos endosómicos, Golgi o TGN, es probable que la proteína se recicle en cierta medida entre el TGN, el compartimento endosómico y la membrana plasmática. Estas señales proporcionan un nivel más limitado de reducción de la expresión ya que una proporción significativa de la proteína aún alcanzará la membrana plasmática.

20 En general, la reducción en la expresión observada con señales de clasificación conocidas se puede resumir de la siguiente manera:

25 Señales de clasificación lisosómica > señales de retención/reciclaje de ER > señales de retención/reciclaje de TGN > señales de endocitosis.

30 La capacidad de ajuste usando diferentes señales de clasificación y/o diferentes posiciones de las señales de clasificación dentro de la proteína es especialmente útil cuando se considera la expresión de múltiples proteínas, cada una con su propia expresión relativa. Por ejemplo, considérese un constructo de ácido nucleico que tiene la siguiente estructura:

A-X-B-Y-C

35 en la cual

A, B y C son secuencias de ácido nucleico que codifican polipéptidos; y
X y Y son secuencias de ácido nucleico que codifican sitios de escisión.

40 El constructo de ácido nucleico codificará tres proteínas A, B y C, cualquiera de las cuales o todas pueden ser CAR. Por ejemplo, B y C pueden ser CAR que comprenden una señal de retención intracelular. Si se desea que A, B y C se expresen de manera que los niveles relativos sean $A > B > C$, entonces la secuencia de ácido nucleico A puede no tener señal de retención intracelular, la secuencia de ácido nucleico B puede tener una señal de retención intracelular que hace que una pequeña proporción de proteína B sea retenida en la célula (es decir, no se exprese en la superficie celular), y la secuencia de ácido nucleico C puede tener una señal de retención intracelular que hace que una gran proporción de proteína C se retenga en la célula.

Como se explica a continuación, se pueden lograr cantidades diferenciales de retención intracelular, que conducen a diferentes cantidades de expresión de la superficie celular mediante:

- 50 (a) usar diferentes señales de retención intracelular para las proteínas; y/o
(b) tener la señal de retención intracelular localizada en una posición diferente en las proteínas.

Tipos de señalización

55 Numerosas proteínas que incluyen una señal de retención intracelular y se dirigen a un compartimento intracelular son conocidas en la técnica.

La señal de retención intracelular puede ser una señal de retención de una proteína que reside en el compartimento lisosómico, endosómico o de Golgi.

60 Las señales de retención intracelular son bien conocidas en la técnica (véase, por ejemplo, Bonifacino & Traub; Annu. Rev. Biochem.; 2003; 72; 395-447).

65 La señal de retención intracelular puede ser una señal de clasificación basada en tirosina, una señal de clasificación basada en dileucina, una señal de agrupación ácida, una señal de evitación lisosómica, una señal de tipo NPFX' (1,2)D, una señal KDEL, una señal KXX'X' o una señal KX'KX'X' (en las que X' es cualquier aminoácido).

Las señales de clasificación basadas en tirosina median la rápida internalización de las proteínas transmembrana desde la membrana plasmática y el direccionamiento de las proteínas a los lisosomas (Bonifacino & Traub; como anteriormente). Los motivos de consenso NPX'Y e YX'X'Z' representan dos tipos de señales de clasificación basados en tirosina (en los que Z' es un aminoácido con una cadena lateral hidrofóbica voluminosa).

Se ha demostrado que las señales NPX'Y median la internalización rápida de las proteínas transmembrana de tipo I, se producen en familias tales como los miembros de las familias de proteínas precursoras del receptor LDL, integrina β y β -amiloide.

Se proporcionan ejemplos de señales de NPX'Y en la Tabla 7.

Tabla 7 - Señales de NPX'Y

Proteína	Especie	Secuencia
Receptor de LDL	Humana	Tm-10-INFD NPVY QKTT-29
LRP1 (1)	Humana	Tm-21-VEIGN NP TYKMYE-64
LRP1 (2)	Humana	Tm-55-TNFT NPVY ATLY-33
LRP1	<i>Drosophila</i>	Tm-43-GNFAN NPVY ESMY-38
LRP1 (1)	<i>C. elegans</i>	Tm-54-TTFT NPVY ELED-91
LRP1 (2)	<i>C. elegans</i>	Tm-140-LRVD NP LYDPDS-4
Megalina (1)	Humana	Tm-70-IIFEN NP MYSARD-125
Megalina (2)	Humana	Tm-144-TNFEN NP IYAQME-53
Integrina 13-1 (1)	Humana	Tm-18-DTGEN NP IYKSAV-11
Integrina 13-1 (2)	Humana	Tm-30-TTVV NP KYEGK
Integrina 13 (1)	<i>Drosophila</i>	Tm-26-WDTEN NP IYKQAT-11
Integrina 13 (2)	<i>Drosophila</i>	Tm-35-STFK NP MYAGK
APLP1	Humana	Tm-33-HGYEN NP TYRFLE-3
APP	Humana	Tm-32-NGYEN NP TYKFFE-4
Tipo APP	<i>Drosophila</i>	Tm-38-NGYEN NP TYKFFE-3
Receptor de insulina	Humana	Tm-36-YASS NP EYLSAS-379
Receptor de EGR (1)	Humana	Tm-434-GSVQ NP VYHNQP-96
Receptor de EGR (2)	Humana	Tm-462-TAVGN NP EYLNVT-68
Receptor de EGR (3)	Humana	Tm-496-ISLD NP PDYQQDF-34

Los números entre paréntesis indican motivos que están presentes en más de una copia dentro de la misma proteína. Las señales en esta y otras tablas deben considerarse ejemplos. Los residuos clave se indican en negrita. Se indican los números de aminoácidos antes (es decir, terminal amino) y después (es decir, terminal carboxilo) de las señales. Abreviaturas: Tm, transmembrana; LDL, lipoproteína de baja densidad; LRP1, proteína 1 relacionada con el receptor de LDL; APP, proteína precursora del amiloide 13; APLP1, proteína 1 similar a APP.

Las señales de tipo YX'X'Z' se encuentran en receptores endocíticos tales como el receptor de transferrina y el receptor de asialoglicoproteína, receptores de clasificación intracelular tales como el CI-MPR y CD-MPR, proteínas de membrana lisosómica tales como LAMP-1 y LAMP-2, y proteínas TGN tales como TGN38 y furina, así como en proteínas localizadas en orgánulos especializados endosomales-lisosomales tales como compartimentos de procesamiento de antígeno (por ejemplo, HLA-DM) y gránulos citotóxicos (por ejemplo, GMP-17). Las señales de tipo YX'X'Z' están involucradas en la internalización rápida de las proteínas de la membrana plasmática. Sin embargo, su función no se limita a la endocitosis, ya que los mismos motivos se han implicado en el direccionamiento de las proteínas transmembrana a los lisosomas y los orgánulos relacionados con los lisosomas.

En la Tabla 8 se proporcionan ejemplos de señales de tipo YX'X'Z'.

Tabla 8 - Señales de tipo YX'X'Z'

Proteína	Especie	Secuencia
LAMP-1	Humana	Tm-RKRSHAGYQTI
LAMP-2a	Humana	Tm-KHHHAGYEQ F
LAMP-2a	Pollo	Tm-KKHHNTGYEQ F
LAMP-2b	Pollo	Tm-RRKSRTGYQ S V
LAMP-2c	Pollo	Tm-RRKSYAGYQ T L
LAMP	<i>Drosophila</i>	Tm-RRRSTSRGYM S F
LAMP	Lombriz	Tm-RKRSRRGYE S V
CD63	Humana	Tm-KSIRSGYE V M
GMP-17	Humana	Tm-HCGGPRPGY E TL
GMP-17	Ratón	Tm-HCRTRRAEY E TL

(continuación)

	Proteína	Especie	Secuencia
	CD68	Humana	Tm-RRRPSAYQAL
5	CDIb	Humana	Tm-RRRSYQNIP
	CDIc	Humana	Tm-KKHCSYQDIL
	CDId	Ratón	Tm-RRRSAYQDIR
	CD1	Rata	Tm-RKRRRSYQDIM
	Endolina	Rata	Tm-KFCKSKERNYHTL
10	Endolina	<i>Drosophila</i>	Tm-KFYKARNERNYHTL
	TSC403	Humana	Tm-KIRLRCQSSGYQRI
	TSC403	Ratón	Tm-KIRQRHQSSAYQRI
	Cistinosina	Humana	Tm-HFCLYRKRPGYDQLN
	Portador putativo de soluto	humana	Tm-12-SLSRGSYKEI
	TRP-2	Humana	Tm-RRLRKGYTPLMET-11
15	HLA-DM ♦	Humana	Tm-RRAGHSSYTPLPGS-9
	LmpA	Dictyostelium	Tm-KKLRQKQKQGYQAIINNE
	Proteína lisosómica putativa	Dictyostelium	Tm-RSKSNQNSYNLIQL
	LIMP-II	Dictyostelium	Tm-RKTFYNNNQYNGYNIIN
20	Receptor de transferrina	Humana	16-PLSYTRFSLA-35-Tm
	receptor H1de asialoglicoproteína	Humana	MTKEYQDLQHL-29-Tm
	CI-MPR	Humana	Tm-22-SYTCYSKVNKE-132
	CD-MPR	Humana	Tm-40-PAAYRGGVDD-16
	CTLA-4	Humana	Tm-10-TGVYVKMPPT-16
25	Furina	Humana	Tm-17-LISYKGLPPE-29
	TGN38	Rata	Tm-2 3-ASDYQRLNLKL
	gp41	VIH-1	Tm-13-RQGYSPLSFQT-144
	Fosfatasa ácida	Humana	Tm-RMQAQPYPGRHVADGEDHA

Véase la leyenda de la Tabla 7 para obtener una explicación del formato de señal

Las señales de clasificación basadas en dileucina ([DE]X'X'X'LL[LI]) desempeñan papeles críticos en la clasificación de muchas proteínas transmembrana de tipo I, tipo II y multiexpansión. Las señales de clasificación basadas en dileucina están involucradas en la internalización rápida y degradación lisosómica de las proteínas transmembrana y en el direccionamiento de las proteínas a los compartimentos endosomales-lisosomales tardíos. Las proteínas transmembrana que contienen formas constitutivamente activas de esta señal se localizan principalmente en los endosomas y lisosomas tardíos.

En la Tabla 9 se proporcionan ejemplos de señales de clasificación [DE]X'X'X'LL[LI].

Tabla 9 - Señales de clasificación [DE]X'X'X'LL[LI]

	Proteína	Especie	Señal
45	CD3-Y	Humana	Tm-8-SDKQTLLPN-26
	LIMP-II	Rata	Tm-11-DERAPLIRT
	Nmb	Humana	Tm-37-QEKDPLLKN-7
	QNR-71	Codorniz	Tm-37-TERNPLLKS-5
	Pme117	Humana	Tm-33-GENSPLLSG-3
50	Tirosinasa	Humana	Tm-8-EEKQPLLME-12
	Tirosinasa	Pez medaka	Tm-16-GERQPLLQS-13
	Tirosinasa	Pollo	Tm-8-PEIQPLLTE-13
	TRP-1	Pez dorado	Tm-7-EGRQPLLGD-15
	TRP-1	Humana	Tm-7-EANQPLLTD-20
	TRP-1	Pollo	Tm-7-ELHQPLLTD-20
55	TRP-2	Pez cebra	Tm-5-REFEPLLNA-11
	VMAT2	Humana	Tm-6-EEKMAILMD-29
	VMAT1	Humana	Tm-6-EEKLAILSQ-32
	VAchT	Ratón	Tm-10-SERDVLLDE-42
	VAMP4	Humana	19-SERRNLLED-88-Tm
60	FcR neonatal	Rata	Tm-16-DDSGDLLPG-19
	CD4	Humana	Tm-12-SQIKRLLSE-17
	CD4	Gato	Tm-12-SHTKRLLSE-17
	GLUT4	Ratón	Tm-17-RRTPSLLEQ-17
65	GLUT4	Humana	Tm-17-HRTPSLLEQ-17

(continuación)

Proteína	Especie	Señal
IRAP	Rata	46-EPRGSRLLV-53-Tm
li	Humana	MDDQRDLISNNEQLPMLGR-11-Tm
li	Ratón	MDDQRDLISNHEQLPILGN-10-Tm
li	Pollo	MAEEQRDLISSDGSSGVLP-12-Tm
li-1	Pez cebra	MEPDHQNESLIQRVPSAETILGR-12Tm
li-2	Pez cebra	MSSEGNETPLISDQSSVNvAGPQP-8-Tm
Lamp	Trypanosoma	Tm-RPRRRTEEDELLEPPEAEGLIDPQN
Proteína de Menkes	Humana	Tm-74-PDKHSLLVGDFREDDTAL
NPC1	Humana	Tm-13-TERERLLNF
AQP4	Humana	Tm-32-VETDDLIL-29
RME-2	<i>C. elegans</i>	Tm-104-FENDSLL
Vam3p	<i>S. cerevisiae</i>	153-NEQSPLLHN-121-Tm
ALP	<i>S. cerevisiae</i>	7-SEQTRLVP-18-Tm
Gap1p	<i>S. cerevisiae</i>	Tm-23-EVQLDLLK-24

Véase la leyenda de la Tabla 7 para obtener una explicación del formato de la señal.

Las señales de DX'X'LL constituyen un tipo distinto de señales de clasificación basadas en dileucina. Estas señales están presentes en varios receptores transmembrana y otras proteínas que circulan entre el TGN y los endosomas, tales como el CI-MPR y CD-MPR, sortilina, las proteínas LRP3 y LRP10 relacionadas con el receptor de LDL y la β -secretasa.

En la Tabla 10 se proporcionan ejemplos de señales de clasificación DX'X'LL.

Tabla 10 - Señales de clasificación DX'X'LL

Proteína	Especie	Secuencia
CI-MPR	Humana	Tm-151-SFHDD <u>S</u> DEDLLHI
CI-MPR	Bovino	Tm-150-TFHDD <u>S</u> EDLLHV
CI-MPR	Conejo	Tm-151-SFHDD <u>S</u> EDLLNI
CI-MPR	Pollo	Tm-148-SFHDD <u>S</u> EDLLNV
CD-MPR	Humana	Tm-5 4-EESEERDDHLLPM
CD-MPR	Pollo	Tm-54-DE <u>S</u> EERDDHLLPM
Sortilina	Humana	Tm-41-GYHDD <u>S</u> EDLLE
SorLA	Humana	Tm-41-1TGF <u>S</u> DDVPMVIA
BP activadora de cabeza	Hidra	Tm-41-INRF <u>S</u> DDEPLVVA
LRP3	Humana	Tm-237-MLEA <u>S</u> DDEALLVC
ST7	Humana	Tm-330-KNET <u>S</u> DDEALLLC
LRP10	Ratón	Tm-235-WWEAEDEPLLA
LRP10	Humana	Tm-237-WVAEAEDEPLLT
Beta-secretasa	humana	Tm-9-HDDFADDISLLK
Mucopolina-1	Ratón	Tm-4 3-GRDSPEDHSLLVN
MHC-I no clásico	Ratón ciervo	Tm-6-VRCHPEDDRLLG
FLJ30532	Humana	Tm-8 3-HRVSQDDLDLLTS
GGA1	Humana	350-ASVSLLDDELM-275
GGA1	Humana	415-ASSGLDDLDLLGK-211
GGA2	Humana	408-VQNPSADRNL-192
GGA3	Humana	384-NALSWLDEELLCL-326
GGA	<i>Drosophila</i>	447-TVDSIDDVPLLS-116

Véase la leyenda de la Tabla 7 para obtener una explicación del formato de la señal. Los residuos de serina y treonina están subrayados.

Otra familia de motivos de clasificación es proporcionada por grupos de residuos ácidos que contienen sitios para fosforilación por CKII. Este tipo de motivo a menudo se encuentra en las proteínas transmembrana que se localizan en el TGN en estado estacionario, incluidas las enzimas procesadoras de prohormonas furina, PC6B, PC7, CPD y PAM, y la glicoproteína E del virus del herpes 3.

En la Tabla 11 se proporcionan ejemplos de señales de conglomerados ácidos.

Tabla 11 - Señales de clasificación de conglomerados ácidos

Proteína	Especie	Secuencia
Furina	Ratón	Tm-31-QEECP <u>S</u> DSEEDG-14
PC6B (1) ^a	Ratón	m-39-RDRDYDEDEDDI-36

(continuación)

	Proteína	Especie	Secuencia
	PC6B (2)	Ratón	Tm-69-LDE <u>T</u> EDDELEYDDES-4
	PC7	Humana	Tm-38-KDPDE <u>V</u> ETES-47
5	CPD	Humana	Tm-36-HEFQDE <u>T</u> DTEEET-6
	PAM	Humana	Tm-59-QEKEDDGSE <u>S</u> EEEEY-12
	VMAT2	Humana	Tm-35GE <u>D</u> EESES <u>D</u>
	VMAT1	Humana	Tm-3 5-GED <u>S</u> DEE <u>P</u> DHEE
	VAMP4	Humana	25-LEDD <u>S</u> DEE <u>E</u> DF-81-Tm
10	Glicoproteína B	HCMV	Tm-125-KD <u>S</u> DEE <u>E</u> NV
	Glicoproteína E	Virus del herpes 3	Tm-28-FED <u>S</u> ESTDTEEEF-21
	Nef	HIV-1 (AAL65476)	55-LEAQ <u>E</u> EEEEV-139
	Kex1p (1)	<i>S. cerevisiae</i>	Tm-29-ADDLE <u>S</u> GLGAEDDLEQDEQLEG-40
	Kex1p (2)	<i>S. cerevisiae</i>	Tm-79-TE <u>I</u> DE <u>S</u> FEM <u>T</u> DF
15	Kex2p	<i>S. cerevisiae</i>	Tm-36-TE <u>P</u> EE <u>V</u> EDFD <u>F</u> DL <u>S</u> DE <u>D</u> H-61
	Vps10p	<i>S. cerevisiae</i>	Tm-112-FE <u>I</u> EE <u>D</u> DVPT <u>L</u> EE <u>E</u> H-37

Véase la leyenda de la Tabla 7 para obtener una explicación del formato de la señal. Los residuos de serina y treonina están subrayados.

^a El número entre paréntesis es el número de motivo.

El receptor de KDEL une la proteína en el compartimento intermedio ER-Golgi, o en el Golgi temprano y los retorna al ER. Aunque la señal común de los mamíferos es KDEL, se ha demostrado que el receptor de KDEL se une más fuertemente a la secuencia HDEL (Scheel et al; J. Biol. Chem. 268; 7465 (1993)). La señal de retención intracelular puede ser HDEL.

Las señales KX'X' y KX'KX' son señales de recuperación que pueden colocarse en el lado citoplasmático de una proteína de membrana de tipo I. Los requisitos de secuencia de estas señales son proporcionan en detalle por Teasdale y Jackson (Annu. Rev. Cell Dev. Biol. ; 12; 27 (1996)).

La señal de retención intracelular puede seleccionarse del grupo de: NPX'Y, YX'X'Z, [DE]X'X'X'[L], DX'X'LL, DP [FW], FX'DX'F, NPF, LZ'X'Z[DE], LLDLL, PWDLLW, KDEL, HDEL, KX'X' o KX'KX'X'; en las que X' es cualquier aminoácido y Z' es un aminoácido con una cadena lateral hidrófoba voluminosa.

La señal de retención intracelular puede ser cualquier secuencia mostrada en las Tablas 7 a 11.

La señal de retención intracelular puede comprender la señal de retención intracelular de la proteína relacionada con la tirosinasa (TYRP)-1. La señal de retención intracelular puede comprender el dominio intracelular TYRP-1. La señal de retención intracelular puede comprender la secuencia NQPLLED (SEQ ID NO. 1).

TYRP1 es una proteína melanosomal bien caracterizada que se retiene en el melanosoma (un lisosoma especializado) con una eficacia > 99%. TYRP1 es una proteína transmembrana de 537 aminoácidos con un dominio luminal (1-477 aa), un dominio transmembrana (478-501) y un dominio citoplasmático (502-537). Una señal de dileucina que reside en el dominio citoplasmático provoca la retención de la proteína. Esta señal de dileucina tiene la secuencia mostrada como la SEQ ID NO. 1 (NQPLLED).

La señal de retención intracelular puede estar en el endodominio del CAR. En otras palabras, la señal de retención intracelular puede estar en el dominio de la proteína transmembrana que estaría en el lado intracelular de la membrana celular si la proteína se expresara correctamente en la superficie celular.

La señal de retención intracelular puede ser proximal al dominio transmembrana, por ejemplo, estar inmediatamente conectado a él. La señal de retención intracelular puede ser distal al dominio transmembrana, por ejemplo, en el terminal carboxilo del endodominio. El posicionamiento de la señal de retención modula su actividad permitiendo el "ajuste" de la expresión relativa de dos proteínas. Por ejemplo, en el caso del motivo dileucina TYRP1, la colocación proximal da como resultado una expresión superficial de bajo nivel, mientras que la colocación distal da como resultado una expresión superficial intermedia, como se muestra en los Ejemplos.

Polipéptido de interés

Cualquiera o la totalidad de A o B; o A, B o C de las secuencias de ácido nucleico en los constructos definidos en el presente documento pueden codificar un CAR que puede comprender o no una señal de retención intracelular.

El constructo de ácido nucleico puede comprender una o más secuencias de ácido nucleico adicionales que codifican el polipéptido de interés (POI). Por ejemplo, el o los POI pueden ser una proteína intracelular tal como una proteína nucleica, una proteína citoplasmática o una proteína localizada en un compartimento unido a la membrana; una proteína secretora o una proteína transmembrana.

El POI puede ser un gen suicida y/o un gen marcador.

Gen suicida/marcador

5 Un gen suicida es un gen que codifica un polipéptido que, cuando es expresado por una célula, permite que esa célula se elimine.

Un gen marcador es un gen que codifica un polipéptido que permite la selección de una célula que expresa ese polipéptido.

10 Se conocen varios genes suicidas y marcadores en la técnica. El documento WO2013/153391 describe un polipéptido compacto que comprende tanto una fracción marcadora como una fracción suicida. El polipéptido puede coexpresarse con un transgén terapéutico, tal como un gen que codifica un CAR.

15 La fracción marcadora comprende un epítipo mínimo de CD34 que permite la selección eficiente de células transducidas usando, por ejemplo, el sistema CliniMACS Miltenyi CD34.

20 La fracción suicida comprende un epítipo mínimo basado en el epítipo de CD20. Las células que expresan un polipéptido que comprende esta secuencia pueden destruirse selectivamente usando un anticuerpo lítico tal como Rituximab.

El marcador combinado y el polipéptido suicida se expresan de manera estable en la superficie celular después, por ejemplo, de la transducción retroviral de su secuencia codificante.

25 El polipéptido marcador/suicida puede tener la fórmula:

St-R1-S1-Q-S2-R2

en la que

30 St es una secuencia de tallo que, cuando el polipéptido se expresa en la superficie de una célula objetivo, hace que los epítopos R y Q se proyecten desde la superficie celular;
R1 y R2 son epítopos de unión a Rituximab;
S1 y S2 son secuencias espaciadoras opcionales, que pueden ser iguales o diferentes; y
35 Q es un epítipo de unión a QBEnd10.

40 El polipéptido puede comprender la secuencia mostrada como la SEQ ID NO. 48, o una variante de la misma que tiene al menos un 80% de identidad con la secuencia mostrada como la SEQ ID NO. 48 y que (i) se une a QBEND10; (ii) se une a Rituximab y (iii) cuando se expresa en la superficie de una célula, induce la destrucción de la célula mediada por el complemento en presencia de Rituximab.

CPYSNPSLCSGGGGSELPTQGTFNSVSTNVSPAKPTTTACPYSNPSLCSGGGGSPAPRPP
TPAPTIASQPLSLRPEACRPAAGGAVHTRGLDFACDIYWAPLAGTCGVLLLSLVITLYCNHR
NRRRVCKCPRPVV (SEQ ID No. 48)

45 La presente invención proporciona un método para eliminar una célula que expresa dicho gen marcador/suicida, que comprende la etapa de exponer las células a rituximab.

Célula

50 La presente invención se refiere a una célula que coexpresa un primer CAR y un segundo CAR en la superficie celular. La célula expresa un constructo de ácido nucleico de acuerdo con el primer aspecto de la invención.

La célula puede ser cualquier célula eucariota capaz de expresar un CAR en la superficie celular, tal como una célula inmunológica.

55 En particular, la célula puede ser una célula efectora inmune tal como una célula T o una célula asesina natural (NK).

60 Las células T o los linfocitos T son un tipo de linfocitos que desempeñan un papel central en la inmunidad mediada por células. Se pueden distinguir de otros linfocitos, tales como las células B y las células asesinas naturales (células NK), por la presencia de un receptor de células T (TCR) en la superficie celular. Hay varios tipos de células T, tal como se resume a continuación.

Las células T auxiliares (células TH) ayudan a otros glóbulos blancos en los procesos inmunológicos, incluida la maduración de células B en células plasmáticas y células B de memoria, y la activación de células T citotóxicas y macrófagos. Las células TH expresan CD4 en su superficie. Las células TH se activan cuando son presentadas con antígenos peptídicos por moléculas del MHC clase II en la superficie de las células presentadoras de antígenos (APC).
 5 Estas células pueden diferenciarse en uno de varios subtipos, incluidos TH1, TH2, TH3, TH17, Th9 o TFH, que secretan diferentes citocinas para facilitar diferentes tipos de respuestas inmunes.

Las células T citotóxicas (células TC o CTL) destruyen las células infectadas por virus y las células tumorales, y también están implicadas en el rechazo del trasplante. Las CTL expresan el CD8 en su superficie. Estas células reconocen sus objetivos al unirse al antígeno asociado con el MHC clase I, que está presente en la superficie de todas las células nucleadas. A través de la IL-10, la adenosina y otras moléculas secretadas por las células T reguladoras, las células CD8+ pueden inactivarse a un estado anérgico, que previene enfermedades autoinmunes tales como la encefalomiелitis autoinmune experimental.

15 Las células T de memoria son un subconjunto de células T específicas de antígeno que persisten a largo plazo después de que se resuelve una infección. Se expanden rápidamente a un gran número de células T efectoras al volver a exponerse a su antígeno afín, proporcionándole así al sistema inmunitario "memoria" contra infecciones pasadas. Las células T de memoria comprenden tres subtipos: células T de memoria central (células TCM) y dos tipos de células T efectoras de memoria (células TEM y células TEMRA). Las células de memoria pueden ser CD4+ o CD8+. Las células T de memoria típicamente expresan la proteína de la superficie celular CD45RO.

20 Las células T reguladoras (células Treg), anteriormente conocidas como células T supresoras, son cruciales para el mantenimiento de la tolerancia inmunológica. Su función principal es apagar la inmunidad mediada por células T hacia el final de una reacción inmune y suprimir las células T autorreactivas que escaparon al proceso de selección negativa en el timo.

Se han descrito dos clases principales de células Treg CD4+: células Treg de origen natural y células Treg adaptativas.

30 Las células Treg de origen natural (también conocidas como células Treg CD4+CD25+FoxP3+) surgen en el timo y se han relacionado con interacciones entre las células T en desarrollo con células dendríticas mieloides (CD11c+) y plasmacitoides (CD123+) que se han activado con TSLP. Las células Treg de origen natural se pueden distinguir de otras células T por la presencia de una molécula intracelular llamada FoxP3. Las mutaciones del gen FOXP3 pueden prevenir el desarrollo de células T reguladoras, causando la enfermedad autoinmune fatal IPEX.

35 Las células Treg adaptativas (también conocidas como células Tr1 o células Th3) pueden originarse durante una respuesta inmune normal.

Las células T de la invención pueden ser cualquiera de los tipos de células T mencionados anteriormente, en particular una CTL.

40 Las células asesinas naturales (NK) son un tipo de célula citolítica que forma parte del sistema inmune innato. Las células NK proporcionan respuestas rápidas a las señales innatas de las células infectadas por virus de manera independiente del MHC

45 Las células NK (que pertenecen al grupo de células linfoides innatas) se definen como linfocitos granulares grandes (LGL) y constituyen el tercer tipo de células diferenciadas del progenitor linfoide común que genera linfocitos B y T. Se sabe que las células NK se diferencian y maduran en la médula ósea, los ganglios linfáticos, el bazo, las amígdalas y el timo, donde luego entran en la circulación.

50 Las células CAR de la invención pueden ser cualquiera de los tipos de células mencionados anteriormente.

Las células que expresan CAR, tales como las células T o NK que expresan CAR, pueden crearse *ex vivo* a partir de la sangre periférica del propio paciente (primera parte), o en el contexto de un trasplante de células madre hematopoyéticas de sangre periférica del donante (segunda parte) o sangre periférica de un donante no conectado (tercera parte).

60 La presente invención también proporciona una composición celular que comprende células que expresan CAR, tales como células T y/o NK que expresan CAR, de acuerdo con la presente invención. La composición celular puede prepararse transduciendo una muestra de sangre *ex vivo* con un constructo de ácido nucleico de acuerdo con la presente invención.

65 Alternativamente, las células que expresan CAR pueden derivarse de la diferenciación *ex vivo* de células progenitoras inducibles o células progenitoras embrionarias al tipo de célula relevante, tal como células T. Alternativamente, se puede usar una línea celular inmortalizada tal como una línea de células T que retiene su función lítica y podría actuar como un agente terapéutico.

En todas estas realizaciones, las células CAR pueden generarse mediante la introducción de ADN o ARN que codifica los CAR por uno de los muchos medios que incluyen la transducción con un vector viral, la transfección con ADN o ARN.

5 Una célula T de CAR de la invención puede ser una célula T *ex vivo* de un sujeto. Las células T pueden ser de una muestra de células mononucleares de sangre periférica (PBMC). Las células T pueden activarse y/o expandirse antes de ser transducidas con ácido nucleico que codifica CAR, por ejemplo mediante tratamiento con un anticuerpo monoclonal anti-CD3.

10 Una célula T de CAR de la invención puede elaborarse mediante:

(i) aislamiento de una muestra que contiene células T de un sujeto u otras fuentes enumeradas anteriormente; y
(ii) transducción o transfección de las células T con un constructo de ácido nucleico que codifica el primero y segundo CAR.

15 Las células T pueden entonces purificarse, por ejemplo, seleccionarse en base a la coexpresión del primer y segundo CAR.

Vector

20 La presente invención también proporciona un vector que comprende un constructo de ácido nucleico que codifica CAR como se define en el presente documento. Tal vector puede usarse para introducir la secuencia o secuencias de ácido nucleico en una célula huésped para que exprese el primer y el segundo CAR.

25 El vector puede, por ejemplo, ser un plásmido o un vector viral, tal como un vector retroviral o un vector lentiviral, o un vector basado en transposón o ARNm sintético.

El vector puede ser capaz de transfectar o transducir una célula T.

Composición farmacéutica

30 La presente invención también se refiere a una composición farmacéutica que contiene una pluralidad de células que expresan CAR, tales como células T o células NK, de la invención. La composición farmacéutica puede comprender adicionalmente un vehículo, diluyente o excipiente farmacéuticamente aceptable. La composición farmacéutica puede comprender opcionalmente uno o más polipéptidos y/o compuestos farmacéuticamente activos adicionales. Tal formulación puede, por ejemplo, estar en una forma adecuada para infusión intravenosa.

Método de tratamiento

40 Las células de la presente invención pueden ser capaces de matar células objetivo, tales como células cancerosas. La célula objetivo puede ser reconocible por un patrón definido de expresión de antígeno, por ejemplo, la expresión de antígeno A O antígeno B.

Las células de la presente invención pueden usarse para el tratamiento de una infección, tal como una infección viral.

45 Las células de la invención también pueden usarse para el control de respuestas inmunes patógenas, por ejemplo en enfermedades autoinmunes, alergias y rechazo de injerto contra huésped.

50 Las células de la invención pueden usarse para el tratamiento de una enfermedad cancerosa, tal como cáncer de vejiga, cáncer de mama, cáncer de colon, cáncer de endometrio, cáncer de riñón (células renales), leucemia, cáncer de pulmón, melanoma, linfoma no Hodgkin, cáncer de páncreas, cáncer de próstata y cáncer de tiroides.

Son particularmente adecuadas para el tratamiento de tumores sólidos donde la disponibilidad de buenos objetivos individuales selectivos es limitada.

55 Las células de la invención pueden usarse para tratar: cánceres de la cavidad oral y la faringe que incluye cáncer de lengua, boca y faringe; cánceres del sistema digestivo que incluye cánceres esofágico, gástrico y colorrectal; cánceres del hígado y del árbol biliar que incluye carcinomas hepatocelulares y colangiocarcinomas; cánceres del sistema respiratorio que incluye cánceres broncogénicos y cánceres de laringe; cánceres de huesos y articulaciones que incluyen osteosarcoma; cánceres de piel que incluyen melanoma; cáncer de mama; cánceres del tracto genital que incluyen cáncer uterino, de ovario y cervical en mujeres, cáncer de próstata y testicular en hombres; cánceres del tracto renal que incluyen carcinoma de células renales y carcinomas de células de transición de los uréteres o la vejiga; cánceres cerebrales que incluyen gliomas, glioblastoma multiforme y meduloblastomas; cánceres del sistema endocrino que incluyen cáncer de tiroides, carcinoma suprarrenal y cánceres asociados con síndromes de neoplasias endocrinas múltiples; linfomas que incluyen linfoma de Hodgkin y linfoma no Hodgkin; mieloma múltiple y plasmocitomas; leucemias agudas y crónicas, mieloides o linfoides; y cánceres de otros sitios no especificados, incluido el neuroblastoma.

El tratamiento con las células de la invención puede ayudar a prevenir el escape o la liberación de células tumorales que a menudo ocurre con enfoques estándar.

5 **Método**

En otro aspecto, la presente invención se refiere a un método para modular la expresión relativa de la superficie celular de dos CAR expresados a partir de un único constructo de ácido nucleico; al incluir una señal de retención intracelular, una o ambas secuencias de ácido nucleico que codifican el o los CAR.

10 La invención se describirá ahora adicionalmente por medio de ejemplos, que están destinados a servir para ayudar a un experto en la técnica a llevar a cabo la invención y no pretenden de ninguna manera limitar el alcance de la invención.

15 **Ejemplos**

Ejemplo 1 - Creación de poblaciones de células objetivo

20 Con el propósito de diseñar y probar una compuerta O, se eligieron arbitrariamente receptores basados en anti-CD19 y anti-CD33. Usando vectores retrovirales, se clonaron CD19 y CD33. Estas proteínas se truncaron para que no emitan señales y puedan expresarse de manera estable durante períodos prolongados. A continuación, estos vectores se usaron para transducir la línea celular SupT1, ya sea individual o doblemente, para establecer células negativas para ambos antígenos (el tipo silvestre), positivas para cualquiera y positivas para ambas. Los datos de expresión se muestran en la Figura 3.

25 **Ejemplo 2 - Diseño y función de la compuerta O**

30 Para construir la compuerta O, se coexpresaron un par de receptores que reconocen CD19 y CD33. Se usaron diferentes espaciadores para evitar el emparejamiento cruzado. Ambos receptores tenían un dominio transmembrana derivado de CD28 para mejorar la estabilidad de la superficie y un endodominio derivado del CD3 Zeta para proporcionar una señal de activación simple. De esta forma, se coexpresaron un par de CAR independientes de 1^a generación. El casete del vector retroviral utilizado para coexpresar las secuencias utiliza un péptido autoescindible 2A de aftosa para permitir la coexpresión 1:1 de ambos receptores. El diseño del casete se muestra en la Figura 4, y las estructuras de proteínas en la Figura 5. La secuencia de nucleótidos de las regiones homólogas eran de codón desplazado para evitar la recombinación durante la transcripción inversa del vector retroviral.

35 **Ejemplo 3 - Prueba de la compuerta O**

40 La expresión de ambos CAR se probó en la superficie de las células T mediante tinción con el antígeno afín fusionado con Fc. Mediante el uso de diferentes especies de dominios Fc (ratón para CD19 y conejo para CD33), se determinó la coexpresión de ambos CAR en la superficie celular mediante tinción con diferentes anticuerpos secundarios conjugados con diferentes fluoróforos. Esto se muestra en la Figura 6.

45 Las pruebas funcionales se llevaron a cabo utilizando la línea de células T de ratón BW5147. Esta línea celular libera IL2 tras la activación, lo que permite una lectura cuantitativa simple. Estas células T se cultivaron conjuntamente con cantidades crecientes de las células objetivo artificiales descritas anteriormente. Las células T respondieron a las células objetivo que expresaban cualquier antígeno, como se muestra por la liberación de IL2 medida por ELISA. Se demostró que ambos CAR se expresaban en las superficies celulares y que las células T respondían a uno o ambos antígenos. Estos datos se muestran en la Figura 7.

50 **Ejemplo 4 - Disección de señales de retención lisosomal TYRP1**

55 La capacidad de la señal de retención de la proteína relacionada con la tirosinasa-1 (TYRP1) para causar la retención de un polipéptido cuando en el contexto de un endodominio más complejo se determinó usando varios constructos (Figura 9). El constructo de tipo silvestre se comparó con los constructos en los que la proteína fluorescente verde mejorada (eGFP) se añadió o reemplazó al endodominio TYRP1. Cuando se agregó eGFP, se colocó después o antes del endodominio nativo, por lo que la señal de retención estaba en su ubicación nativa (justo debajo de la membrana) o distal a ella.

60 Todos los constructos se coexpresan con IRES.CD34. La tinción de células SupT1 transducidas se muestra con tinción intracelular y superficial en la Figura 9.

65 Se encontró que el reemplazo del endodominio dio como resultado una expresión superficial muy brillante, la introducción de eGFP después de la señal de retención a casi ninguna expresión superficial y la introducción antes de la señal de retención a la expresión superficial intermedia (Figura 9).

Ejemplo 5 - Modulación de la expresión relativa de una proteína transmembrana coexpresada a partir de un casete de expresión único con una proteína separada

5 Se modificó un casete de expresión que codifica dos proteínas transmembrana de CAR de manera que una de las proteínas de CAR tenía la señal de retención lisosomal de TYRP1 introducida proximal o distal a la membrana. La expresión de cada una de estas dos nuevas variantes en la superficie celular se comparó con la de la proteína de CAR original no modificada.

10 Las PBMC se aislaron de sangre y se estimularon usando PHA e IL-2. Dos días después, las células se transdujeron en placas recubiertas con retronectina con retrovirus que contenía el constructo de CAR CD19:CD33. El día 5, el nivel de expresión de los dos CAR traducidos por el constructo se evaluó mediante citometría de flujo y las células se agotaron de células CD56+ (predominantemente células NK). En el día 6, las PBMC se colocaron en un cocultivo con células objetivo a una relación 1:2 de efector CON RESPECTOP a LA célula objetivo. El día 8 se recogió el sobrenadante y se analizó la secreción de IFN-gamma mediante ELISA.

15 El patrón observado con las fusiones Tyrp1-eGFP se observó con cierta reducción de la expresión de la proteína transmembrana modificada con la señal de retención distal y una reducción marcada en el caso de la señal de retención proximal. Como se esperaba, la expresión de la segunda proteína transmembrana del casete no se alteró (Figura 10).

20 Ejemplo 6 - Modulación de la expresión usando una señal de retención de la proteína E3/19K adenoviral

25 La proteína E3/19K de adenovirus humano es una glicoproteína transmembrana tipo I del retículo endoplásmico/Golgi que anula el transporte de la superficie celular del complejo mayor de histocompatibilidad clase I (MHC-I) y las moléculas de cadena A y B relacionadas con el MHC-I (MICA/B). Se identificó que el motivo de retención dependía de la cola citosólica de la proteína E3/19K de adenovirus. Más específicamente, se encontró que los últimos 6aa DEKKMP eran los más importantes para la retención. Se encontró que el posicionamiento óptimo era en el extremo C de la proteína.

30 Se modificó un casete de expresión que codifica dos proteínas transmembrana de CAR, como se describe en el Ejemplo 5, de modo que una de las proteínas de CAR tenía el motivo de retención de la proteína E3/19K de adenovirus. En este experimento, el motivo de retención del segundo CAR en el casete de expresión (el CAR inhibidor anti-CD33).

35 Se generaron constructos que comprendían la cola citosólica completa de la proteína E3/19K de adenovirus o solo los últimos 6 aa de E3/19K (DEKKMP), que se encontraron críticos para su capacidad de retención de Golgi/ER (Figura 11). Estos constructos se transfectaron en células 293T y se tiñeron principalmente con proteínas Fc de conejo de CD19 quimérico soluble y de Fc de ratón de CD33 quimérico soluble. Posteriormente, estas células se tiñeron con un Fc-FITC anti-conejo y un Fc-APC anti-ratón (Figura 12). Estas células muestran una retención clara cuando la proteína E3/19K de adenovirus de longitud completa, o el motivo DEKKMP, se colocó en el receptor anti-CD33 pero no tuvo efecto sobre los niveles de expresión del receptor anti-CD19.

40 Ejemplo 7 - Modulación de la expresión alterando el péptido de señalización: intercambio en la secuencia señal V-III de la cadena kappa de Ig murina

45 El documento PCT/GB2014/053452 describe un sistema de vector que codifica dos receptores de antígeno quimérico (CAR), uno contra CD19 y otro contra CD33. El péptido de señalización utilizado para los CAR en ese estudio fue el péptido de señalización de la secuencia señal CD8a humano. Para los propósitos de este estudio, este fue sustituido con el péptido de señalización de la región V-III de la cadena kappa de Ig murina, que tiene la secuencia: METDTLILWVLLLLVPGSTG (residuos hidrófobos resaltados en negrita). Para establecer que la secuencia señal V-III de la cadena kappa de Ig murina funcionaba tan bien como la secuencia señal de CD8a humano, se realizó un estudio comparativo. Para ambas secuencias señal, se observó la expresión funcional del CAR anti-CD33 y el CAR anti-CD19. Esta secuencia señal sustituida y todas las mutaciones posteriores de la misma se transfectaron transitoriamente en células 293T. Tres días después de la transfección, las células 293T se tiñeron tanto con CD19 quimérico soluble fusionado con la cadena Fc de conejo como con CD33 quimérico soluble fusionado con la cadena Fc de ratón. Todas las células se tiñeron entonces con Fc-FITC anti-conejo y Fc-APC anti-ratón. Las gráficas de citometría de flujo muestran la secuencia señal sustituida como una comparación con secuencias señal no transfectadas (NT) y el constructo con Cd8 (Figura 15). Se encontró que la secuencia señal de V-III de la cadena kappa de Ig murina funcionaba tan bien como la secuencia señal de CD8a humano.

60 Ejemplo 8 - Alteración de la expresión relativa mediante la eliminación de residuos hidrófobos en el péptido de señalización.

65 Los residuos hidrófobos se eliminaron de forma gradual y se observó el efecto sobre la expresión relativa del CAR anti-CD33 y el CAR anti-CD19. Se investigó el efecto de las eliminaciones de uno, dos, tres y cuatro aminoácidos y los resultados se muestran en las Figuras 16 a 19, respectivamente.

Todas los constructos mutantes mostraron una disminución en la expresión relativa del CAR anti-CD19 en comparación con el CAR anti-CD33. La disminución relativa de la expresión de CAR anti-CD19 fue mayor con un mayor número de eliminaciones de aminoácidos de 1 a 3, pero luego se estabilizó (cuatro eliminaciones produjeron una disminución similar en la expresión que tres eliminaciones).

5

Listado de secuencias

<110> UCL Business PLC

10 <120> Constructo de ácido nucleico

<130> P106291PCT

<150> GB1507111.1

15 <151> 2015-04-27

<160> 233

<170> PatentIn versión 3.5

20

<210> 1

<211> 7

<212> PRT

<213> Secuencia artificial

25

<220>

<223> Señal de retención intracelular de la proteína relacionada con tirosina (TYRP)-1

<400> 1

30

Asn Gln Pro Leu Leu Thr Asp
1 5

<210> 2

<211> 15

35 <212> PRT

<213> Secuencia artificial

<220>

<223> Señal de retención intracelular E3/19K adenoviral

40

<400> 2

Lys Tyr Lys Ser Arg Arg Ser Phe Ile Asp Glu Lys Lys Met Pro
1 5 10 15

45 <210> 3

<211> 6

<212> PRT

<213> Secuencia artificial

50 <220>

<223> Señal de retención intracelular E3/19K adenoviral

<400> 3

55

Asp Glu Lys Lys Met Pro
1 5

<210> 4

<211> 1129

<212> PRT

60 <213> Secuencia artificial

ES 2 778 905 T3

<220>

<223> Compuerta O de CAR que reconoce CD19 O CD33

<400> 4

5

Met Ser Leu Pro Val Thr Ala Leu Leu Leu Pro Leu Ala Leu Leu Leu
 1 5 10 15

His Ala Ala Arg Pro Asp Ile Gln Met Thr Gln Thr Thr Ser Ser Leu
 20 25 30

Ser Ala Ser Leu Gly Asp Arg Val Thr Ile Ser Cys Arg Ala Ser Gln
 35 40 45

Asp Ile Ser Lys Tyr Leu Asn Trp Tyr Gln Gln Lys Pro Asp Gly Thr
 50 55 60

Val Lys Leu Leu Ile Tyr His Thr Ser Arg Leu His Ser Gly Val Pro
 65 70 75 80

Ser Arg Phe Ser Gly Ser Gly Ser Gly Thr Asp Tyr Ser Leu Thr Ile
 85 90 95

Ser Asn Leu Glu Gln Glu Asp Ile Ala Thr Tyr Phe Cys Gln Gln Gly
 100 105 110

Asn Thr Leu Pro Tyr Thr Phe Gly Gly Gly Thr Lys Leu Glu Ile Thr
 115 120 125

Lys Ala Gly Gly Gly Gly Ser Gly Gly Gly Gly Ser Gly Gly Gly Gly
 130 135 140

Ser Gly Gly Gly Gly Ser Glu Val Lys Leu Gln Glu Ser Gly Pro Gly
 145 150 155 160

Leu Val Ala Pro Ser Gln Ser Leu Ser Val Thr Cys Thr Val Ser Gly
 165 170 175

Val Ser Leu Pro Asp Tyr Gly Val Ser Trp Ile Arg Gln Pro Pro Arg
 180 185 190

Lys Gly Leu Glu Trp Leu Gly Val Ile Trp Gly Ser Glu Thr Thr Tyr
 195 200 205

Tyr Asn Ser Ala Leu Lys Ser Arg Leu Thr Ile Ile Lys Asp Asn Ser
 210 215 220

Lys Ser Gln Val Phe Leu Lys Met Asn Ser Leu Gln Thr Asp Asp Thr
 225 230 235 240

ES 2 778 905 T3

Ala Ile Tyr Tyr Cys Ala Lys His Tyr Tyr Tyr Gly Gly Ser Tyr Ala
 245 250 255

Met Asp Tyr Trp Gly Gln Gly Thr Ser Val Thr Val Ser Ser Asp Pro
 260 265 270

Thr Thr Thr Pro Ala Pro Arg Pro Pro Thr Pro Ala Pro Thr Ile Ala
 275 280 285

Ser Gln Pro Leu Ser Leu Arg Pro Glu Ala Cys Arg Pro Ala Ala Gly
 290 295 300

Gly Ala Val His Thr Arg Gly Leu Asp Phe Ala Cys Asp Ile Phe Trp
 305 310 315 320

Val Leu Val Val Val Gly Gly Val Leu Ala Cys Tyr Ser Leu Leu Val
 325 330 335

Thr Val Ala Phe Ile Ile Phe Trp Val Arg Arg Val Lys Phe Ser Arg
 340 345 350

Ser Ala Asp Ala Pro Ala Tyr Gln Gln Gly Gln Asn Gln Leu Tyr Asn
 355 360 365

Glu Leu Asn Leu Gly Arg Arg Glu Glu Tyr Asp Val Leu Asp Lys Arg
 370 375 380

Arg Gly Arg Asp Pro Glu Met Gly Gly Lys Pro Arg Arg Lys Asn Pro
 385 390 395 400

Gln Glu Gly Leu Tyr Asn Glu Leu Gln Lys Asp Lys Met Ala Glu Ala
 405 410 415

Tyr Ser Glu Ile Gly Met Lys Gly Glu Arg Arg Arg Gly Lys Gly His
 420 425 430

Asp Gly Leu Tyr Gln Gly Leu Ser Thr Ala Thr Lys Asp Thr Tyr Asp
 435 440 445

Ala Leu His Met Gln Ala Leu Pro Pro Arg Arg Ala Glu Gly Arg Gly
 450 455 460

Ser Leu Leu Thr Cys Gly Asp Val Glu Glu Asn Pro Gly Pro Met Ala
 465 470 475 480

Val Pro Thr Gln Val Leu Gly Leu Leu Leu Leu Trp Leu Thr Asp Ala

ES 2 778 905 T3

485					490					495					
Arg	Cys	Asp	Ile	Gln	Met	Thr	Gln	Ser	Pro	Ser	Ser	Leu	Ser	Ala	Ser
			500					505					510		
Val	Gly	Asp	Arg	Val	Thr	Ile	Thr	Cys	Arg	Ala	Ser	Glu	Asp	Ile	Tyr
		515					520					525			
Phe	Asn	Leu	Val	Trp	Tyr	Gln	Gln	Lys	Pro	Gly	Lys	Ala	Pro	Lys	Leu
	530					535					540				
Leu	Ile	Tyr	Asp	Thr	Asn	Arg	Leu	Ala	Asp	Gly	Val	Pro	Ser	Arg	Phe
545					550					555					560
Ser	Gly	Ser	Gly	Ser	Gly	Thr	Gln	Tyr	Thr	Leu	Thr	Ile	Ser	Ser	Leu
				565					570					575	
Gln	Pro	Glu	Asp	Phe	Ala	Thr	Tyr	Tyr	Cys	Gln	His	Tyr	Lys	Asn	Tyr
			580					585					590		
Pro	Leu	Thr	Phe	Gly	Gln	Gly	Thr	Lys	Leu	Glu	Ile	Lys	Arg	Ser	Gly
		595					600					605			
Gly	Gly	Gly	Ser	Gly	Gly	Gly	Gly	Ser	Gly	Gly	Gly	Gly	Ser	Gly	Gly
		610					615					620			
Gly	Gly	Ser	Arg	Ser	Glu	Val	Gln	Leu	Val	Glu	Ser	Gly	Gly	Gly	Leu
625					630					635					640
Val	Gln	Pro	Gly	Gly	Ser	Leu	Arg	Leu	Ser	Cys	Ala	Ala	Ser	Gly	Phe
				645					650					655	
Thr	Leu	Ser	Asn	Tyr	Gly	Met	His	Trp	Ile	Arg	Gln	Ala	Pro	Gly	Lys
			660					665					670		
Gly	Leu	Glu	Trp	Val	Ser	Ser	Ile	Ser	Leu	Asn	Gly	Gly	Ser	Thr	Tyr
		675					680					685			
Tyr	Arg	Asp	Ser	Val	Lys	Gly	Arg	Phe	Thr	Ile	Ser	Arg	Asp	Asn	Ala
	690					695					700				
Lys	Ser	Thr	Leu	Tyr	Leu	Gln	Met	Asn	Ser	Leu	Arg	Ala	Glu	Asp	Thr
705					710					715					720
Ala	Val	Tyr	Tyr	Cys	Ala	Ala	Gln	Asp	Ala	Tyr	Thr	Gly	Gly	Tyr	Phe
				725					730					735	

ES 2 778 905 T3

Asp Tyr Trp Gly Gln Gly Thr Leu Val Thr Val Ser Ser Met Asp Pro
 740 745 750

Ala Glu Pro Lys Ser Pro Asp Lys Thr His Thr Cys Pro Pro Cys Pro
 755 760 765

Ala Pro Pro Val Ala Gly Pro Ser Val Phe Leu Phe Pro Pro Lys Pro
 770 775 780

Lys Asp Thr Leu Met Ile Ala Arg Thr Pro Glu Val Thr Cys Val Val
 785 790 795 800

Val Asp Val Ser His Glu Asp Pro Glu Val Lys Phe Asn Trp Tyr Val
 805 810 815

Asp Gly Val Glu Val His Asn Ala Lys Thr Lys Pro Arg Glu Glu Gln
 820 825 830

Tyr Asn Ser Thr Tyr Arg Val Val Ser Val Leu Thr Val Leu His Gln
 835 840 845

Asp Trp Leu Asn Gly Lys Glu Tyr Lys Cys Lys Val Ser Asn Lys Ala
 850 855 860

Leu Pro Ala Pro Ile Glu Lys Thr Ile Ser Lys Ala Lys Gly Gln Pro
 865 870 875 880

Arg Glu Pro Gln Val Tyr Thr Leu Pro Pro Ser Arg Asp Glu Leu Thr
 885 890 895

Lys Asn Gln Val Ser Leu Thr Cys Leu Val Lys Gly Phe Tyr Pro Ser
 900 905 910

Asp Ile Ala Val Glu Trp Glu Ser Asn Gly Gln Pro Glu Asn Asn Tyr
 915 920 925

Lys Thr Thr Pro Pro Val Leu Asp Ser Asp Gly Ser Phe Phe Leu Tyr
 930 935 940

Ser Lys Leu Thr Val Asp Lys Ser Arg Trp Gln Gln Gly Asn Val Phe
 945 950 955 960

Ser Cys Ser Val Met His Glu Ala Leu His Asn His Tyr Thr Gln Lys
 965 970 975

Ser Leu Ser Leu Ser Pro Gly Lys Lys Asp Pro Lys Phe Trp Val Leu
 980 985 990

ES 2 778 905 T3

Val Val Val Gly Gly Val Leu Ala Cys Tyr Ser Leu Leu Val Thr Val
 995 1000 1005

Ala Phe Ile Ile Phe Trp Val Arg Ser Arg Val Lys Phe Ser Arg
 1010 1015 1020

Ser Ala Asp Ala Pro Ala Tyr Gln Gln Gly Gln Asn Gln Leu Tyr
 1025 1030 1035

Asn Glu Leu Asn Leu Gly Arg Arg Glu Glu Tyr Asp Val Leu Asp
 1040 1045 1050

Lys Arg Arg Gly Arg Asp Pro Glu Met Gly Gly Lys Pro Arg Arg
 1055 1060 1065

Lys Asn Pro Gln Glu Gly Leu Tyr Asn Glu Leu Gln Lys Asp Lys
 1070 1075 1080

Met Ala Glu Ala Tyr Ser Glu Ile Gly Met Lys Gly Glu Arg Arg
 1085 1090 1095

Arg Gly Lys Gly His Asp Gly Leu Tyr Gln Gly Leu Ser Thr Ala
 1100 1105 1110

Thr Lys Asp Thr Tyr Asp Ala Leu His Met Gln Ala Leu Pro Pro
 1115 1120 1125

Arg

<210> 5
 <211> 234
 5 <212> PRT
 <213> Secuencia artificial

<220>
 <223> secuencia espaciadora, bisagra-CH2CH3 de IgG1 humana

10 <400> 5

Ala Glu Pro Lys Ser Pro Asp Lys Thr His Thr Cys Pro Pro Cys Pro
 1 5 10 15

Ala Pro Pro Val Ala Gly Pro Ser Val Phe Leu Phe Pro Pro Lys Pro
 20 25 30

Lys Asp Thr Leu Met Ile Ala Arg Thr Pro Glu Val Thr Cys Val Val
 35 40 45

ES 2 778 905 T3

Val Asp Val Ser His Glu Asp Pro Glu Val Lys Phe Asn Trp Tyr Val
50 55 60

Asp Gly Val Glu Val His Asn Ala Lys Thr Lys Pro Arg Glu Glu Gln
65 70 75 80

Tyr Asn Ser Thr Tyr Arg Val Val Ser Val Leu Thr Val Leu His Gln
85 90 95

Asp Trp Leu Asn Gly Lys Glu Tyr Lys Cys Lys Val Ser Asn Lys Ala
100 105 110

Leu Pro Ala Pro Ile Glu Lys Thr Ile Ser Lys Ala Lys Gly Gln Pro
115 120 125

Arg Glu Pro Gln Val Tyr Thr Leu Pro Pro Ser Arg Asp Glu Leu Thr
130 135 140

Lys Asn Gln Val Ser Leu Thr Cys Leu Val Lys Gly Phe Tyr Pro Ser
145 150 155 160

Asp Ile Ala Val Glu Trp Glu Ser Asn Gly Gln Pro Glu Asn Asn Tyr
165 170 175

Lys Thr Thr Pro Pro Val Leu Asp Ser Asp Gly Ser Phe Phe Leu Tyr
180 185 190

Ser Lys Leu Thr Val Asp Lys Ser Arg Trp Gln Gln Gly Asn Val Phe
195 200 205

Ser Cys Ser Val Met His Glu Ala Leu His Asn His Tyr Thr Gln Lys
210 215 220

Ser Leu Ser Leu Ser Pro Gly Lys Lys Asp
225 230

- <210> 6
- 5 <211> 46
- <212> PRT
- <213> Secuencia artificial

- <220>
- 10 <223> secuencia espaciadora, tallo CD8 humano

<400> 6

Thr Thr Thr Pro Ala Pro Arg Pro Pro Thr Pro Ala Pro Thr Ile Ala
1 5 10 15

Ser Gln Pro Leu Ser Leu Arg Pro Glu Ala Cys Arg Pro Ala Ala Gly

ES 2 778 905 T3

20

25

30

Gly Ala Val His Thr Arg Gly Leu Asp Phe Ala Cys Asp Ile
 35 40 45

5 <210> 7
 <211> 20
 <212> PRT
 <213> Secuencia artificial

10 <220>
 <223> secuencia espaciadora, bisagra de IgG1 humana

<400> 7

Ala Glu Pro Lys Ser Pro Asp Lys Thr His Thr Cys Pro Pro Cys Pro
 1 5 10 15

Lys Asp Pro Lys
 20

15 <210> 8
 <211> 185
 <212> PRT
 <213> Secuencia artificial

20 <220>
 <223> secuencia espaciadora, ectodominio CD2

<400> 8

25 Lys Glu Ile Thr Asn Ala Leu Glu Thr Trp Gly Ala Leu Gly Gln Asp
 1 5 10 15

Ile Asn Leu Asp Ile Pro Ser Phe Gln Met Ser Asp Asp Ile Asp Asp
 20 25 30

Ile Lys Trp Glu Lys Thr Ser Asp Lys Lys Lys Ile Ala Gln Phe Arg
 35 40 45

Lys Glu Lys Glu Thr Phe Lys Glu Lys Asp Thr Tyr Lys Leu Phe Lys
 50 55 60

Asn Gly Thr Leu Lys Ile Lys His Leu Lys Thr Asp Asp Gln Asp Ile
 65 70 75 80

Tyr Lys Val Ser Ile Tyr Asp Thr Lys Gly Lys Asn Val Leu Glu Lys
 85 90 95

Ile Phe Asp Leu Lys Ile Gln Glu Arg Val Ser Lys Pro Lys Ile Ser
 100 105 110

ES 2 778 905 T3

Trp Thr Cys Ile Asn Thr Thr Leu Thr Cys Glu Val Met Asn Gly Thr
 115 120 125

Asp Pro Glu Leu Asn Leu Tyr Gln Asp Gly Lys His Leu Lys Leu Ser
 130 135 140

Gln Arg Val Ile Thr His Lys Trp Thr Thr Ser Leu Ser Ala Lys Phe
 145 150 155 160

Lys Cys Thr Ala Gly Asn Lys Val Ser Lys Glu Ser Ser Val Glu Pro
 165 170 175

Val Ser Cys Pro Glu Lys Gly Leu Asp
 180 185

- <210> 9
- 5 <211> 259
- <212> PRT
- <213> Secuencia artificial

- <220>
- 10 <223> secuencia espaciadora, ectodominio CD34
- <400> 9

Ser Leu Asp Asn Asn Gly Thr Ala Thr Pro Glu Leu Pro Thr Gln Gly
 1 5 10 15

Thr Phe Ser Asn Val Ser Thr Asn Val Ser Tyr Gln Glu Thr Thr Thr
 20 25 30

Pro Ser Thr Leu Gly Ser Thr Ser Leu His Pro Val Ser Gln His Gly
 35 40 45

Asn Glu Ala Thr Thr Asn Ile Thr Glu Thr Thr Val Lys Phe Thr Ser
 50 55 60

Thr Ser Val Ile Thr Ser Val Tyr Gly Asn Thr Asn Ser Ser Val Gln
 65 70 75 80

Ser Gln Thr Ser Val Ile Ser Thr Val Phe Thr Thr Pro Ala Asn Val
 85 90 95

Ser Thr Pro Glu Thr Thr Leu Lys Pro Ser Leu Ser Pro Gly Asn Val
 100 105 110

Ser Asp Leu Ser Thr Thr Ser Thr Ser Leu Ala Thr Ser Pro Thr Lys
 115 120 125

Pro Tyr Thr Ser Ser Ser Pro Ile Leu Ser Asp Ile Lys Ala Glu Ile

ES 2 778 905 T3

130 135 140

Lys Cys Ser Gly Ile Arg Glu Val Lys Leu Thr Gln Gly Ile Cys Leu
 145 150 155 160

Glu Gln Asn Lys Thr Ser Ser Cys Ala Glu Phe Lys Lys Asp Arg Gly
 165 170 175

Glu Gly Leu Ala Arg Val Leu Cys Gly Glu Glu Gln Ala Asp Ala Asp
 180 185 190

Ala Gly Ala Gln Val Cys Ser Leu Leu Ala Gln Ser Glu Val Arg
 195 200 205

Pro Gln Cys Leu Leu Leu Val Leu Ala Asn Arg Thr Glu Ile Ser Ser
 210 215 220

Lys Leu Gln Leu Met Lys Lys His Gln Ser Asp Leu Lys Lys Leu Gly
 225 230 235 240

Ile Leu Asp Phe Thr Glu Gln Asp Val Ala Ser His Gln Ser Tyr Ser
 245 250 255

Gln Lys Thr

- <210> 10
- 5 <211> 140
- <212> PRT
- <213> Secuencia artificial
- <220>
- 10 <223> que comprende el dominio transmembrana CD28 y el endodominio CD3 Z
- <400> 10

Phe Trp Val Leu Val Val Val Gly Gly Val Leu Ala Cys Tyr Ser Leu
 1 5 10 15

Leu Val Thr Val Ala Phe Ile Ile Phe Trp Val Arg Arg Val Lys Phe
 20 25 30

Ser Arg Ser Ala Asp Ala Pro Ala Tyr Gln Gln Gly Gln Asn Gln Leu
 35 40 45

Tyr Asn Glu Leu Asn Leu Gly Arg Arg Glu Glu Tyr Asp Val Leu Asp
 50 55 60

Lys Arg Arg Gly Arg Asp Pro Glu Met Gly Gly Lys Pro Arg Arg Lys
 65 70 75 80

ES 2 778 905 T3

Asn Pro Gln Glu Gly Leu Tyr Asn Glu Leu Gln Lys Asp Lys Met Ala
85 90 95

Glu Ala Tyr Ser Glu Ile Gly Met Lys Gly Glu Arg Arg Arg Gly Lys
100 105 110

Gly His Asp Gly Leu Tyr Gln Gly Leu Ser Thr Ala Thr Lys Asp Thr
115 120 125

Tyr Asp Ala Leu His Met Gln Ala Leu Pro Pro Arg
130 135 140

- <210> 11
- 5 <211> 180
- <212> PRT
- <213> Secuencia artificial

- <220>
- 10 <223> que comprende el domino transmembrana CD28 y los endodominios CD28 y CD3 Zeta

<400> 11

Phe Trp Val Leu Val Val Val Gly Gly Val Leu Ala Cys Tyr Ser Leu
1 5 10 15

Leu Val Thr Val Ala Phe Ile Ile Phe Trp Val Arg Ser Lys Arg Ser
20 25 30

Arg Leu Leu His Ser Asp Tyr Met Asn Met Thr Pro Arg Arg Pro Gly
35 40 45

Pro Thr Arg Lys His Tyr Gln Pro Tyr Ala Pro Pro Arg Asp Phe Ala
50 55 60

Ala Tyr Arg Ser Arg Val Lys Phe Ser Arg Ser Ala Asp Ala Pro Ala
65 70 75 80

Tyr Gln Gln Gly Gln Asn Gln Leu Tyr Asn Glu Leu Asn Leu Gly Arg
85 90 95

Arg Glu Glu Tyr Asp Val Leu Asp Lys Arg Arg Gly Arg Asp Pro Glu
100 105 110

Met Gly Gly Lys Pro Arg Arg Lys Asn Pro Gln Glu Gly Leu Tyr Asn
115 120 125

Glu Leu Gln Lys Asp Lys Met Ala Glu Ala Tyr Ser Glu Ile Gly Met
130 135 140

ES 2 778 905 T3

Lys Gly Glu Arg Arg Arg Gly Lys Gly His Asp Gly Leu Tyr Gln Gly
 145 150 155 160

Leu Ser Thr Ala Thr Lys Asp Thr Tyr Asp Ala Leu His Met Gln Ala
 165 170 175

Leu Pro Pro Arg
 180

- 5 <210> 12
- <211> 216
- <212> PRT
- <213> Secuencia artificial

- 10 <220>
- <223> que comprende el domino transmembrana CD28 y los endodominios CD28, OX40 y CD3 Zeta

<400> 12

Phe Trp Val Leu Val Val Val Gly Gly Val Leu Ala Cys Tyr Ser Leu
 1 5 10 15

Leu Val Thr Val Ala Phe Ile Ile Phe Trp Val Arg Ser Lys Arg Ser
 20 25 30

Arg Leu Leu His Ser Asp Tyr Met Asn Met Thr Pro Arg Arg Pro Gly
 35 40 45

Pro Thr Arg Lys His Tyr Gln Pro Tyr Ala Pro Pro Arg Asp Phe Ala
 50 55 60

Ala Tyr Arg Ser Arg Asp Gln Arg Leu Pro Pro Asp Ala His Lys Pro
 65 70 75 80

Pro Gly Gly Gly Ser Phe Arg Thr Pro Ile Gln Glu Glu Gln Ala Asp
 85 90 95

Ala His Ser Thr Leu Ala Lys Ile Arg Val Lys Phe Ser Arg Ser Ala
 100 105 110

Asp Ala Pro Ala Tyr Gln Gln Gly Gln Asn Gln Leu Tyr Asn Glu Leu
 115 120 125

Asn Leu Gly Arg Arg Glu Glu Tyr Asp Val Leu Asp Lys Arg Arg Gly
 130 135 140

Arg Asp Pro Glu Met Gly Gly Lys Pro Arg Arg Lys Asn Pro Gln Glu
 145 150 155 160

ES 2 778 905 T3

Gly Leu Tyr Asn Glu Leu Gln Lys Asp Lys Met Ala Glu Ala Tyr Ser
 165 170 175

Glu Ile Gly Met Lys Gly Glu Arg Arg Arg Gly Lys Gly His Asp Gly
 180 185 190

Leu Tyr Gln Gly Leu Ser Thr Ala Thr Lys Asp Thr Tyr Asp Ala Leu
 195 200 205

His Met Gln Ala Leu Pro Pro Arg
 210 215

- 5 <210> 13
- <211> 3390
- <212> DNA
- <213> Secuencia artificial

- 10 <220>
- <223> MP13974.SFG.aCD19fmc63-CD8STK-CD28tmZ-2A-aCD33glx-HCH2CH3pvaa-CD2 8tmZw

<400> 13

```

atgagcctgc ccgtgaccgc cctgctgctg ccctggccc tgctgctgca cgccgccaga      60
ccagacatcc agatgaccga gaccaccagc agcctgagcg ccagcctggg cgaccgggtg      120
accatcagct gcagagccag ccaggacatc agcaagtacc tgaactggta ccagcagaag      180
cccgacggca ccgtgaagct gctgatctac cacaccagcc ggctgcacag cggcgtgccc      240
agcoggttca gcggcagcgg cagcggcacc gactacagcc tgaccatcag caacctggag      300
caggaggaca tcgccaccta cttctgccag cagggcaaca ccctgcccta caccttcgga      360
ggcggcacca agctggagat caccaaggcc ggaggcggag gctctggcgg aggcggctct      420
ggcggaggcg gctctggcgg aggcggcagc gaggtgaagc tgcaggagtc tggcccaggc      480
ctggtggccc caagccagag cctgagcgtg acctgcaccg tgagcggcgt gagcctgccc      540
gactacggcg tgagctggat caggcagccc ccacggaagg gcctggagtg gctgggcgtg      600
atctggggca gcgagaccac ctactacaac agcgcctga agagccggct gaccatcatc      660
aaggacaaca gcaagagcca ggtgttctct aagatgaaca gcctgcagac cgacgacacc      720
gccatctact actgcgcaa gcaactactac tatggcggca gctacgctat ggactactgg      780
ggccagggca ccagcgtgac cgtgagctca gatcccacca cgacgccagc gccgcgacca      840
ccaacaccgg cggccacat cgcgtcgcag ccctgtccc tgcgccaga ggcgtgccgg      900
ccagcggcgg ggggcgcagt gcacacgagg gggctggact tcgcctgtga tatcttttgg      960
gtgctggtgg tggttggtgg agtcctggct tgctatagct tgctagtaac agtggccttt     1020
attatcttct gggtgaggag agtgaagttc agcaggagcg cagacgcccc cgcgtaccag     1080
    
```

15

ES 2 778 905 T3

cagggccaga accagctcta taacgagctc aatctaggac gaagagagga gtacgatgtt 1140
 ttggacaaga gacgtggccg ggaccctgag atggggggaa agccgagaag gaagaaccct 1200
 caggaaggcc tgtacaatga actgcagaaa gataagatgg cggaggccta cagtgagatt 1260
 gggatgaaag gcgagcgccg gaggggcaag gggcacgatg gcctttacca gggctctcagt 1320
 acagccacca aggacaccta cgacgccctt cacatgcagg ccctgcctcc tcgcagagcc 1380
 gagggcaggg gaagtcttct aacatgctgg gacgtggagg aaaatcccgg gcccatggcc 1440
 gtgcccactc aggtcctggg gttggtgcta ctgtggctta cagatgccag atgtgacatc 1500
 cagatgacac agtctccatc ttccctgtct gcactctgtc gagatcgcgt caccatcacc 1560
 tgtcgagcaa gtgaggacat ttattttaat ttagtgtggg atcagcagaa accaggaaa 1620
 gccctaagc tcctgatcta tgatacaaat cgcttggcag atgggggtccc atcacggttc 1680
 agtggctctg gatctggcac acagtatact ctaaccataa gtagcctgca acccgaagat 1740
 ttcgcaacct attattgtca aactataag aattatccgc tcacgttcgg tcaggggacc 1800
 aagctggaaa tcaaaagatc tgggtggcga gggtcaggag gcggaggcag cggaggcgg 1860
 ggctcgggag gcggaggctc gagatctgag gtgcagttgg tggagtctgg gggcggcttg 1920
 gtgcagcctg gagggctcct gaggtctctc tgtgcagcct caggattcac tctcagtaat 1980
 tatggcatgc actggatcag gcaggctcca ggaagggtc tggagtgggt ctctgtctatt 2040
 agtcttaatg gtggtagcac ttactatcga gactccgtga agggccgatt cactatctcc 2100
 aggacaatg caaaaagcac cctctacctt caaatgaata gtctgagggc cgaggacacg 2160
 gccgtctatt actgtgcagc acaggacgct tatacgggag gttactttga ttactggggc 2220
 caaggaacgc tggtcacagt ctogtctatg gatcccgccg agcccaaata tcctgacaaa 2280
 actcacacat gcccacctg cccagcacct cccgtggccg gcccgtcagt cttcctcttc 2340
 cccccaaaac ccaaggacac cctcatgatc gcccgacc ctaggtcac atgctgtgtg 2400
 gtggacgtga gccacgaaga ccctgaggtc aagttcaact ggtacgtgga cggcgtggag 2460
 gtgcataatg ccaagacaaa gccgcgggag gagcagtaca acagcacgta ccgtgtggtc 2520
 agcgtcctca ccgtcctgca ccaggactgg ctgaatggca aggagtacaa gtgcaaggtc 2580
 tccaacaaag ccctcccagc ccccatcgag aaaaccatct ccaaagccaa agggcagccc 2640
 cgagaaccac aggtgtacac cctgccccca tcccgggatg agctgaccaa gaaccaggtc 2700
 agcctgacct gcctggtcaa aggcttctat cccagcgaca tcgccgtgga gtgggagagc 2760
 aatgggcaac cggagaacaa ctacaagacc acgcctcccg tgctggactc cgacggctcc 2820
 ttcttctct acagcaagct caccgtggac aagagcaggt gccagcaggg gaacgtcttc 2880
 tcatgctccg tgatgcatga ggccctgcac aatcaactata cccagaaatc tctgagtctg 2940

ES 2 778 905 T3

agcccaggca agaaggacct caagttctgg gtcctggtgg tggtagggagg cgtgctggcc 3000
 tgttactctc tcctggtgac cgtggccttc atcatctttt gggtagcgtc cggggtgaag 3060
 ttttctcgct ctgccgatgc cccagcctat cagcagggcc agaatcagct gtacaatgaa 3120
 ctgaacctgg gcaggcggga ggagtacgac gtgctggata agcggagagg cagagacccc 3180
 gagatgggag gcaaaccacg gcgcaaaaat ccccaggagg gactctataa cgagctgcag 3240
 aaggacaaaa tggccgagc ctattccgag atcggcatga agggagagag aagacgcgga 3300
 aagggccacg acggcctgta tcagggattg tccaccgcta caaaagatac atatgatgcc 3360
 ctgcacatgc aggcctgcc acccagatga 3390

5 <210> 14
 <211> 8
 <212> PRT
 <213> Secuencia artificial

10 <220>
 <223> sitio de escisión
 <400> 14

Asp Ile Glu Thr Asn Pro Gly Pro
 1 5

15 <210> 15
 <211> 8
 <212> PRT
 <213> Secuencia artificial

20 <220>
 <223> sitio de escisión
 <400> 15

Asp Val Glu Thr Asn Pro Gly Pro
 1 5

25 <210> 16
 <211> 8
 <212> PRT
 <213> Secuencia artificial

30 <220>
 <223> sitio de escisión
 <400> 16

Asp Val Glu Met Asn Pro Gly Pro
 1 5

35 <210> 17
 <211> 8
 <212> PRT
 <213> Secuencia artificial

40 <220>
 <223> sitio de escisión
 <400> 17

Asp Val Glu Ser Asn Pro Gly Pro
 1 5

ES 2 778 905 T3

<210> 18
<211> 8
<212> PRT
5 <213> Secuencia artificial

<220>
<223> sitio de escisión

10 <400> 18

Asp Met Glu Ser Asn Pro Gly Pro
1 5

<210> 19
15 <211> 8
<212> PRT
<213> Secuencia artificial

<220>
20 <223> sitio de escisión

<400> 19

Asp Val Glu Leu Asn Pro Gly Pro
1 5

25 <210> 20
<211> 8
<212> PRT
<213> Secuencia artificial

30 <220>
<223> sitio de escisión

<400> 20

35 Asp Val Glu Glu Asn Pro Gly Pro
1 5

<210> 21
40 <211> 8
<212> PRT
<213> Secuencia artificial

<220>
45 <223> sitio de escisión

<400> 21

Asp Ile Glu Leu Asn Pro Gly Pro

50 1 5

<210> 22
<211> 8
<212> PRT
55 <213> Secuencia artificial

<220>
<223> sitio de escisión

60 <400> 22

Asp Ile Glu Gln Asn Pro Gly Pro
1 5

ES 2 778 905 T3

<210> 23
 <211> 8
 <212> PRT
 <213> Secuencia artificial
 5
 <220>
 <223> sitio de escisión
 <400> 23
 10
 Asp Ser Glu Phe Asn Pro Gly Pro
 1 5
 <210> 24
 <211> 19
 <212> PRT
 <213> Secuencia artificial
 15
 <220>
 <223> secuencia de escisión
 20
 <400> 24
 Leu Leu Asn Phe Asp Leu Leu Lys Leu Ala Gly Asp Val Glu Ser Asn
 1 5 10 15
 Pro Gly Pro
 25
 <210> 25
 <211> 19
 <212> PRT
 <213> Secuencia artificial
 30
 <220>
 <223> secuencia de escisión
 <400> 25
 Leu Leu Asn Phe Asp Leu Leu Lys Leu Ala Gly Asp Val Gln Ser Asn
 1 5 10 15
 Pro Gly Pro
 40
 <210> 26
 <211> 19
 <212> PRT
 <213> Secuencia artificial
 45
 <220>
 <223> secuencia de escisión
 <400> 26
 Leu Leu Asn Phe Asp Leu Leu Lys Leu Ala Gly Asp Val Glu Ile Asn
 1 5 10 15
 Pro Gly Pro
 50
 <210> 27
 <211> 19
 <212> PRT
 <213> Secuencia artificial
 55

ES 2 778 905 T3

<220>

<223> secuencia de escisión

<400> 27

5

Leu Leu Asn Phe Asp Leu Leu Lys Leu Ala Gly Asp Val Glu Phe Asn
1 5 10 15

Pro Gly Pro

<210> 28

<211> 19

10

<212> PRT

<213> Secuencia artificial

<220>

<223> secuencia de escisión

15

<400> 28

Leu Leu Asn Phe Asp Leu Leu Lys Leu Ala Gly Asp Val Glu Ser His
1 5 10 15

Pro Gly Pro

20

<210> 29

<211> 19

<212> PRT

<213> Secuencia artificial

25

<220>

<223> secuencia de escisión

<400> 29

Leu Leu Asn Phe Asp Leu Leu Lys Leu Ala Gly Asp Val Glu Ser Glu
1 5 10 15

30

Pro Gly Pro

<210> 30

<211> 19

<212> PRT

35

<213> Secuencia artificial

<220>

<223> secuencia de escisión

40

<400> 30

Leu Leu Asn Phe Asp Leu Leu Lys Leu Ala Gly Asp Val Glu Ser Gln
1 5 10 15

Pro Gly Pro

<210> 31

45

<211> 19

<212> PRT

<213> Secuencia artificial

ES 2 778 905 T3

<220>
 <223> secuencia de escisión

<400> 31

5 Leu Leu Asn Phe Asp Leu Leu Lys Leu Ala Gly Asp Val Glu Ser Asn
 1 5 10 15

 Pro Gly Gly

<210> 32
 <211> 20
 10 <212> PRT
 <213> Secuencia artificial

<220>
 <223> secuencia similar a 2A

15 <400> 32

 Tyr His Ala Asp Tyr Tyr Lys Gln Arg Leu Ile His Asp Val Glu Met
 1 5 10 15

 Asn Pro Gly Pro
 20 20

<210> 33
 <211> 20
 25 <212> PRT
 <213> Secuencia artificial

<220>
 <223> secuencia similar a 2A

30 <400> 33

 His Tyr Ala Gly Tyr Phe Ala Asp Leu Leu Ile His Asp Ile Glu Thr
 1 5 10 15

 Asn Pro Gly Pro
 20

35 <210> 34
 <211> 20
 <212> PRT
 <213> Secuencia artificial

40 <220>
 <223> secuencia similar a 2A

<400> 34

 Gln Cys Thr Asn Tyr Ala Leu Leu Lys Leu Ala Gly Asp Val Glu Ser
 1 5 10 15

 Asn Pro Gly Pro
 45 20

<210> 35
 <211> 19
 <212> PRT
 50 <213> Secuencia artificial

ES 2 778 905 T3

<220>

<223> secuencia similar a 2A

<400> 35

5

Ala Thr Asn Phe Ser Leu Leu Lys Gln Ala Gly Asp Val Glu Glu Asn
1 5 10 15

Pro Gly Pro

<210> 36

<211> 19

10

<212> PRT

<213> Secuencia artificial

<220>

<223> secuencia similar a 2A

15

<400> 36

Ala Ala Arg Gln Met Leu Leu Leu Leu Ser Gly Asp Val Glu Thr Asn
1 5 10 15

Pro Gly Pro

20

<210> 37

<211> 20

<212> PRT

<213> Secuencia artificial

25

<220>

<223> secuencia similar a 2A

<400> 37

Arg Ala Glu Gly Arg Gly Ser Leu Leu Thr Cys Gly Asp Val Glu Glu
1 5 10 15

Asn Pro Gly Pro
20

30

<210> 38

<211> 20

<212> PRT

35

<213> Secuencia artificial

<220>

<223> secuencia similar a 2A

40

<400> 38

Thr Arg Ala Glu Ile Glu Asp Glu Leu Ile Arg Ala Gly Ile Glu Ser
1 5 10 15

Asn Pro Gly Pro
20

45

<210> 39

<211> 20

<212> PRT

<213> Secuencia artificial

ES 2 778 905 T3

<220>

<223> secuencia similar a 2A

<400> 39

5

```

    Thr Arg Ala Glu Ile Glu Asp Glu Leu Ile Arg Ala Asp Ile Glu Ser
    1             5             10             15
                Asn Pro Gly Pro
                    20
  
```

10

<210> 40

<211> 20

<212> PRT

<213> Secuencia artificial

15

<220>

<223> secuencia similar a 2A

<400> 40

```

    Ala Lys Phe Gln Ile Asp Lys Ile Leu Ile Ser Gly Asp Val Glu Leu
    1             5             10             15
                Asn Pro Gly Pro
                    20
  
```

20

<210> 41

<211> 20

<212> PRT

25

<213> Secuencia artificial

<220>

<223> secuencia similar a 2A

30

<400> 41

```

    Ser Ser Ile Ile Arg Thr Lys Met Leu Val Ser Gly Asp Val Glu Glu
    1             5             10             15
                Asn Pro Gly Pro
                    20
  
```

35

<210> 42

<211> 20

<212> PRT

<213> Secuencia artificial

40

<220>

<223> secuencia similar a 2A

<400> 42

```

    Cys Asp Ala Gln Arg Gln Lys Leu Leu Leu Ser Gly Asp Ile Glu Gln
    1             5             10             15
                Asn Pro Gly Pro
                    20
  
```

45

<210> 43

<211> 20

<212> PRT

<213> Secuencia artificial

50

ES 2 778 905 T3

<220>

<223> secuencia similar a 2A

<400> 43

5

Tyr Pro Ile Asp Phe Gly Gly Phe Leu Val Lys Ala Asp Ser Glu Phe
1 5 10 15

Asn Pro Gly Pro
20

<210> 44

<211> 57

10

<212> PRT

<213> Secuencia artificial

<220>

<223> secuencia de escisión

15

<400> 44

Val Thr Glu Leu Leu Tyr Arg Met Lys Arg Ala Glu Thr Tyr Cys Pro
1 5 10 15

Arg Pro Leu Ala Ile His Pro Thr Glu Ala Arg His Lys Gln Lys Ile
20 25 30

Val Ala Pro Val Lys Gln Thr Leu Asn Phe Asp Leu Leu Lys Leu Ala
35 40 45

Gly Asp Val Glu Ser Asn Pro Gly Pro
50 55

20

<210> 45

<211> 40

<212> PRT

<213> Secuencia artificial

<220>

25

<223> secuencia de escisión

<400> 45

Leu Leu Ala Ile His Pro Thr Glu Ala Arg His Lys Gln Lys Ile Val
1 5 10 15

Ala Pro Val Lys Gln Thr Leu Asn Phe Asp Leu Leu Lys Leu Ala Gly
20 25 30

Asp Val Glu Ser Asn Pro Gly Pro
35 40

30

<210> 46

<211> 33

<212> PRT

<213> Secuencia artificial

35

<220>

<223> secuencia de escisión

<400> 46

ES 2 778 905 T3

Glu Ala Arg His Lys Gln Lys Ile Val Ala Pro Val Lys Gln Thr Leu
 1 5 10 15

Asn Phe Asp Leu Leu Lys Leu Ala Gly Asp Val Glu Ser Asn Pro Gly
 20 25 30

Pro

5 <210> 47
 <211> 24
 <212> PRT
 <213> Secuencia artificial

10 <220>
 <223> secuencia de escisión
 <400> 47

Ala Pro Val Lys Gln Thr Leu Asn Phe Asp Leu Leu Lys Leu Ala Gly
 1 5 10 15

Asp Val Glu Ser Asn Pro Gly Pro
 20

15 <210> 48
 <211> 136
 <212> PRT
 <213> Secuencia artificial

20 <220>
 <223> polipéptido marcador/suicida
 <400> 48

Cys Pro Tyr Ser Asn Pro Ser Leu Cys Ser Gly Gly Gly Gly Ser Glu
 1 5 10 15

Leu Pro Thr Gln Gly Thr Phe Ser Asn Val Ser Thr Asn Val Ser Pro
 20 25 30

Ala Lys Pro Thr Thr Thr Ala Cys Pro Tyr Ser Asn Pro Ser Leu Cys
 35 40 45

25 Ser Gly Gly Gly Gly Ser Pro Ala Pro Arg Pro Pro Thr Pro Ala Pro
 50 55 60

ES 2 778 905 T3

Thr Ile Ala Ser Gln Pro Leu Ser Leu Arg Pro Glu Ala Cys Arg Pro
65 70 75 80

Ala Ala Gly Gly Ala Val His Thr Arg Gly Leu Asp Phe Ala Cys Asp
85 90 95

Ile Tyr Ile Trp Ala Pro Leu Ala Gly Thr Cys Gly Val Leu Leu Leu
100 105 110

Ser Leu Val Ile Thr Leu Tyr Cys Asn His Arg Asn Arg Arg Arg Val
115 120 125

Cys Lys Cys Pro Arg Pro Val Val
130 135

5 <210> 49
<211> 4
<212> PRT
<213> Secuencia artificial

10 <220>
<223> señal de retención intracelular

<220>
<221> Característica nueva
<222> (4)..(4)
15 <223> Xaa puede ser cualquier aminoácido natural

<400> 49

Asn Pro Phe Xaa
1

20 <210> 50
<211> 4
<212> PRT
<213> Secuencia artificial

25 <220>
<223> señal de retención intracelular

<400> 50

Lys Asp Glu Leu
1

35 <210> 51
<211> 4
<212> PRT
<213> Secuencia artificial

40 <220>
<223> señal de retención intracelular

<220>
<221> Característica nueva
<222> (3)..(4)
<223> Xaa puede ser cualquier aminoácido natural

45 <400> 51

Lys Lys Xaa Xaa
1

- 5 <210> 52
 <211> 5
 <212> PRT
 <213> Secuencia artificial
- <220>
 10 <223> señal de retención intracelular
- <220>
 <221> Característica nueva
 <222> (2)..(2)
 15 <223> Xaa puede ser cualquier aminoácido natural
- <220>
 <221> Característica nueva
 <222> (4)..(5)
 20 <223> Xaa puede ser cualquier aminoácido natural
- <400> 52

Lys Xaa Lys Xaa Xaa
1 5

- 25 <210> 53
 <211> 4
 <212> PRT
 <213> Secuencia artificial
- 30 <220>
 <223> señal de retención intracelular
- <220>
 35 <221> Característica nueva
 <222> (3)..(3)
 <223> Xaa puede ser cualquier aminoácido natural
- <400> 53
 40

Asn Pro Xaa Tyr
1

- <210> 54
 <211> 4
 45 <212> PRT
 <213> Secuencia artificial
- <220>
 <223> señal de retención intracelular
- 50 <220>
 <221> Característica nueva
 <222> (2)..(3)
 <223> Xaa puede ser cualquier aminoácido natural
- 55 <220>
 <221> Característica nueva
 <222> (4)..(4)
 <223> Xaa es un aminoácido con cadena lateral hidrófoba voluminosa
- 60 <400> 54

ES 2 778 905 T3

Tyr Xaa Xaa Xaa
1

5 <210> 55
<211> 8
<212> PRT
<213> Secuencia artificial

<220>
10 <223> señal de retención intracelular

<220>
<221> Característica nueva
<222> (3)..(5)
15 <223> Xaa puede ser cualquier aminoácido natural

<400> 55

Asp Glu Xaa Xaa Xaa Leu Leu Ile
1 5

20 <210> 56
<211> 5
<212> PRT
<213> Secuencia artificial

25 <220>
<223> señal de retención intracelular
<220>
<221> Característica nueva
30 <222> (2)..(3)
<223> Xaa puede ser cualquier aminoácido natural

<400> 56

Asp Xaa Xaa Leu Leu
1 5

35 <210> 57
<211> 4
<212> PRT
40 <213> Secuencia artificial

<220>
<223> señal de retención intracelular

45 <400> 57

Asp Pro Phe Trp
1

50 <210> 58
<211> 5
<212> PRT
<213> Secuencia artificial

<220>
55 <223> señal de retención intracelular

<220>
<221> Característica nueva
<222> (2)..(2)
60 <223> Xaa puede ser cualquier aminoácido natural

ES 2 778 905 T3

<220>
 <221> Característica nueva
 <222> (4)..(4)
 <223> Xaa puede ser cualquier aminoácido natural
 5
 <400> 58

Phe	Xaa	Asp	Xaa	Phe
1				5

 10 <210> 59
 <211> 6
 <212> PRT
 <213> Secuencia artificial

 15 <220>
 <223> señal de retención intracelular

 <220>
 <221> Característica nueva
 20 <222> (2)..(2)
 <223> Xaa es un aminoácido con cadena lateral hidrófoba voluminosa

 <220>
 <221> Característica nueva
 25 <222> (3)..(3)
 <223> Xaa puede ser cualquier aminoácido natural

 <220>
 <221> Característica nueva
 30 <222> (4)..(4)
 <223> Xaa es un aminoácido con cadena lateral hidrófoba voluminosa

 <400> 59

Leu	Xaa	Xaa	Xaa	Asp	Glu
1				5	

 35 <210> 60
 <211> 5
 <212> PRT
 40 <213> Secuencia artificial
 <220>
 <223> señal de retención intracelular

 <400> 60

Leu	Leu	Asp	Leu	Leu
1				5

 45 <210> 61
 <211> 5
 50 <212> PRT
 <213> Secuencia artificial

 <220>
 <223> señal de retención intracelular
 55 <400> 61

Pro	Trp	Asp	Leu	Trp
1				5

 60 <210> 62
 <211> 20

ES 2 778 905 T3

<212> PRT
<213> Mus musculus

<400> 62

5 Met Glu Thr Asp Thr Leu Ile Leu Trp Val Leu Leu Leu Leu Val Pro
1 5 10 15
Gly Ser Thr Gly
20

<210> 63
<211> 21
<212> PRT
<213> Secuencia artificial

10

<220>
<223> péptido de señalización derivado de CD8a humano

15

<400> 63

Met Ser Leu Pro Val Thr Ala Leu Leu Leu Pro Leu Ala Leu Leu Leu
1 5 10 15

His Ala Ala Arg Pro
20

20 <210> 64
<211> 248
<212> PRT
<213> Secuencia artificial

25 <220>
<223> scFv aCD19

<400> 64

ES 2 778 905 T3

Asp Ile Gln Met Thr Gln Thr Thr Ser Ser Leu Ser Ala Ser Leu Gly
 1 5 10 15
 Asp Arg Val Thr Ile Ser Cys Arg Ala Ser Gln Asp Ile Ser Lys Tyr
 20 25 30
 Leu Asn Trp Tyr Gln Gln Lys Pro Asp Gly Thr Val Lys Leu Leu Ile
 35 40 45
 Tyr His Thr Ser Arg Leu His Ser Gly Val Pro Ser Arg Phe Ser Gly
 50 55 60
 Ser Gly Ser Gly Thr Asp Tyr Ser Leu Thr Ile Ser Asn Leu Glu Gln
 65 70 75 80
 Glu Asp Ile Ala Thr Tyr Phe Cys Gln Gln Gly Asn Thr Leu Pro Tyr
 85 90 95
 Thr Phe Gly Gly Gly Thr Lys Leu Glu Ile Thr Lys Ala Gly Gly Gly
 100 105 110
 Gly Ser Gly Gly Gly Gly Ser Gly Gly Gly Gly Ser Gly Gly Gly Gly
 115 120 125
 Ser Glu Val Lys Leu Gln Glu Ser Gly Pro Gly Leu Val Ala Pro Ser
 130 135 140
 Gln Ser Leu Ser Val Thr Cys Thr Val Ser Gly Val Ser Leu Pro Asp
 145 150 155 160
 Tyr Gly Val Ser Trp Ile Arg Gln Pro Pro Arg Lys Gly Leu Glu Trp
 165 170 175
 Leu Gly Val Ile Trp Gly Ser Glu Thr Thr Tyr Tyr Asn Ser Ala Leu
 180 185 190
 Lys Ser Arg Leu Thr Ile Ile Lys Asp Asn Ser Lys Ser Gln Val Phe
 195 200 205
 Leu Lys Met Asn Ser Leu Gln Thr Asp Asp Thr Ala Ile Tyr Tyr Cys
 210 215 220
 Ala Lys His Tyr Tyr Tyr Gly Gly Ser Tyr Ala Met Asp Tyr Trp Gly
 225 230 235 240
 Gln Gly Thr Ser Val Thr Val Ser
 245

5

<210> 65
<211> 47

ES 2 778 905 T3

<212> PRT
<213> Homo sapiens

<400> 65

5
 Pro Thr Thr Thr Pro Ala Pro Arg Pro Pro Thr Pro Ala Pro Thr Ile
 1 5 10 15
 Ala Ser Gln Pro Leu Ser Leu Arg Pro Glu Ala Cys Arg Pro Ala Ala
 20 25 30
 Gly Gly Ala Val His Thr Arg Gly Leu Asp Phe Ala Cys Asp Ile
 35 40 45

<210> 66
<211> 27
<212> PRT
<213> Homo sapiens

<400> 66

10
 Phe Trp Val Leu Val Val Val Gly Gly Val Leu Ala Cys Tyr Ser Leu
 1 5 10 15
 Leu Val Thr Val Ala Phe Ile Ile Phe Trp Val
 15 20 25

<210> 67
<211> 113
<212> PRT
<213> Homo sapiens

<400> 67

20
 Arg Arg Val Lys Phe Ser Arg Ser Ala Asp Ala Pro Ala Tyr Gln Gln
 1 5 10 15
 Gly Gln Asn Gln Leu Tyr Asn Glu Leu Asn Leu Gly Arg Arg Glu Glu
 20 25 30
 Tyr Asp Val Leu Asp Lys Arg Arg Gly Arg Asp Pro Glu Met Gly Gly
 35 40 45
 25
 Lys Pro Arg Arg Lys Asn Pro Gln Glu Gly Leu Tyr Asn Glu Leu Gln
 50 55 60
 Lys Asp Lys Met Ala Glu Ala Tyr Ser Glu Ile Gly Met Lys Gly Glu
 65 70 75 80
 Arg Arg Arg Gly Lys Gly His Asp Gly Leu Tyr Gln Gly Leu Ser Thr
 85 90 95
 Ala Thr Lys Asp Thr Tyr Asp Ala Leu His Met Gln Ala Leu Pro Pro
 100 105 110
 Arg

ES 2 778 905 T3

<210> 68
<211> 20
<212> PRT
<213> Secuencia artificial

5

<220>
<223> péptido 2A

<400> 68

10

Arg Ala Glu Gly Arg Gly Ser Leu Leu Thr Cys Gly Asp Val Glu Glu
1 5 10 15

Asn Pro Gly Pro
20

<210> 69
<211> 18
<212> PRT
<213> Secuencia artificial

15

<220>
<223> péptido de señalización derivado de kappa de Ig de ratón

20

<400> 69

Met Ala Val Pro Thr Gln Val Leu Gly Leu Leu Leu Leu Trp Leu Thr
1 5 10 15

Asp Ala

25

<210> 70
<211> 254
<212> PRT
<213> Secuencia artificial

30

<220>
<223> scFv aCD33

<400> 70

ES 2 778 905 T3

Arg Cys Asp Ile Gln Met Thr Gln Ser Pro Ser Ser Leu Ser Ala Ser
 1 5 10 15

Val Gly Asp Arg Val Thr Ile Thr Cys Arg Ala Ser Glu Asp Ile Tyr
 20 25 30

Phe Asn Leu Val Trp Tyr Gln Gln Lys Pro Gly Lys Ala Pro Lys Leu
 35 40 45

Leu Ile Tyr Asp Thr Asn Arg Leu Ala Asp Gly Val Pro Ser Arg Phe
 50 55 60

Ser Gly Ser Gly Ser Gly Thr Gln Tyr Thr Leu Thr Ile Ser Ser Leu
 65 70 75 80

Gln Pro Glu Asp Phe Ala Thr Tyr Tyr Cys Gln His Tyr Lys Asn Tyr
 85 90 95

Pro Leu Thr Phe Gly Gln Gly Thr Lys Leu Glu Ile Lys Arg Ser Gly
 100 105 110

Gly Gly Gly Ser Gly Gly Gly Gly Ser Gly Gly Gly Gly Ser Gly Gly
 115 120 125

Gly Gly Ser Arg Ser Glu Val Gln Leu Val Glu Ser Gly Gly Gly Leu
 130 135 140

Val Gln Pro Gly Gly Ser Leu Arg Leu Ser Cys Ala Ala Ser Gly Phe
 145 150 155 160

Thr Leu Ser Asn Tyr Gly Met His Trp Ile Arg Gln Ala Pro Gly Lys
 165 170 175

Gly Leu Glu Trp Val Ser Ser Ile Ser Leu Asn Gly Gly Ser Thr Tyr
 180 185 190

Tyr Arg Asp Ser Val Lys Gly Arg Phe Thr Ile Ser Arg Asp Asn Ala
 195 200 205

Lys Ser Thr Leu Tyr Leu Gln Met Asn Ser Leu Arg Ala Glu Asp Thr
 210 215 220

Ala Val Tyr Tyr Cys Ala Ala Gln Asp Ala Tyr Thr Gly Gly Tyr Phe
 225 230 235 240

Asp Tyr Trp Gly Gln Gly Thr Leu Val Thr Val Ser Ser Met
 245 250

5

<210> 71
 <211> 231
 <212> PRT
 <213> Secuencia artificial

ES 2 778 905 T3

<220>

<223> bisagra y Fc derivados de IgG1 humana

<400> 71

5

Glu Pro Lys Ser Pro Asp Lys Thr His Thr Cys Pro Pro Cys Pro Ala
 1 5 10 15

Pro Pro Val Ala Gly Pro Ser Val Phe Leu Phe Pro Pro Lys Pro Lys
 20 25 30

Asp Thr Leu Met Ile Ala Arg Thr Pro Glu Val Thr Cys Val Val Val
 35 40 45

Asp Val Ser His Glu Asp Pro Glu Val Lys Phe Asn Trp Tyr Val Asp
 50 55 60

Gly Val Glu Val His Asn Ala Lys Thr Lys Pro Arg Glu Glu Gln Tyr
 65 70 75 80

Asn Ser Thr Tyr Arg Val Val Ser Val Leu Thr Val Leu His Gln Asp
 85 90 95

Trp Leu Asn Gly Lys Glu Tyr Lys Cys Lys Val Ser Asn Lys Ala Leu
 100 105 110

Pro Ala Pro Ile Glu Lys Thr Ile Ser Lys Ala Lys Gly Gln Pro Arg
 115 120 125

Glu Pro Gln Val Tyr Thr Leu Pro Pro Ser Arg Asp Glu Leu Thr Lys
 130 135 140

Asn Gln Val Ser Leu Thr Cys Leu Val Lys Gly Phe Tyr Pro Ser Asp
 145 150 155 160

Ile Ala Val Glu Trp Glu Ser Asn Gly Gln Pro Glu Asn Asn Tyr Lys
 165 170 175

Thr Thr Pro Pro Val Leu Asp Ser Asp Gly Ser Phe Phe Leu Tyr Ser
 180 185 190

Lys Leu Thr Val Asp Lys Ser Arg Trp Gln Gln Gly Asn Val Phe Ser
 195 200 205

Cys Ser Val Met His Glu Ala Leu His Asn His Tyr Thr Gln Lys Ser
 210 215 220

Leu Ser Leu Ser Pro Gly Lys
 225 230

10

<210> 72

<211> 4

ES 2 778 905 T3

<212> PRT
 <213> Secuencia artificial

<220>
 5 <223> conector

<400> 72

Lys Asp Pro Lys
 1

10 <210> 73
 <211> 27
 <212> PRT
 <213> Homo sapiens

15 <400> 73

Phe Trp Val Leu Val Val Val Gly Gly Val Leu Ala Cys Tyr Ser Leu
 1 5 10 15

Leu Val Thr Val Ala Phe Ile Ile Phe Trp Val
 20 25

20 <210> 74
 <211> 112
 <212> PRT
 <213> Homo sapiens

25 <400> 74

Arg Val Lys Phe Ser Arg Ser Ala Asp Ala Pro Ala Tyr Gln Gln Gly
 1 5 10 15

Gln Asn Gln Leu Tyr Asn Glu Leu Asn Leu Gly Arg Arg Glu Glu Tyr
 20 25 30

Asp Val Leu Asp Lys Arg Arg Gly Arg Asp Pro Glu Met Gly Gly Lys
 35 40 45

Pro Arg Arg Lys Asn Pro Gln Glu Gly Leu Tyr Asn Glu Leu Gln Lys
 50 55 60

Asp Lys Met Ala Glu Ala Tyr Ser Glu Ile Gly Met Lys Gly Glu Arg
 65 70 75 80

Arg Arg Gly Lys Gly His Asp Gly Leu Tyr Gln Gly Leu Ser Thr Ala
 85 90 95

30 <400> 75
 <211> 36
 <212> PRT
 <213> Secuencia artificial

35 <220>
 <223> constructo de ácido nucleico que comprende una secuencia de proteína de retención tyrp-1

ES 2 778 905 T3

<400> 75

Arg Ala Arg Arg Ser Met Asp Glu Ala Asn Gln Pro Leu Leu Thr Asp
 1 5 10 15

Gln Tyr Gln Cys Tyr Ala Glu Glu Tyr Glu Lys Leu Gln Asn Pro Asn
 20 25 30

Gln Ser Val Val
 35

5 <210> 76
 <211> 4
 <212> PRT
 <213> Mus musculus

10 <400> 76

Met Glu Thr Asp
 1

15 <210> 77
 <211> 11
 <212> PRT
 <213> Mus musculus

20 <400> 77

Thr Leu Ile Leu Trp Val Leu Leu Leu Leu Val
 1 5 10

25 <210> 78
 <211> 5
 <212> PRT
 <213> Mus musculus

<400> 78

30 Pro Gly Ser Thr Gly
 1 5

<210> 79
 <211> 25
 <212> PRT
 <213> Homo sapiens

<400> 79

Met Asn Arg Gly Val Pro Phe Arg His Leu Leu Leu Val Leu Gln Leu
 1 5 10 15

Ala Leu Leu Pro Ala Ala Thr Gln Gly
 20 25

40 <210> 80
 <211> 23
 <212> PRT
 <213> Homo sapiens

45 <400> 80

ES 2 778 905 T3

Met Tyr Leu Trp Leu Lys Leu Leu Ala Phe Gly Phe Ala Phe Leu Asp
 1 5 10 15

Thr Glu Val Phe Val Thr Gly
 20

5 <210> 81
 <211> 21
 <212> PRT
 <213> Homo sapiens

<400> 81

Met Ala Leu Pro Val Thr Ala Leu Leu Leu Pro Leu Ala Leu Leu Leu
 1 5 10 15

10 His Ala Ala Arg Pro
 20

15 <210> 82
 <211> 21
 <212> PRT
 <213> Homo sapiens

<400> 82

Met Arg Pro Arg Leu Trp Leu Leu Leu Ala Ala Gln Leu Thr Val Leu
 1 5 10 15

20 His Gly Asn Ser Val

20

25 <210> 83
 <211> 24
 <212> PRT
 <213> Homo sapiens

<400> 83

Met Ser Phe Pro Cys Lys Phe Val Ala Ser Phe Leu Leu Ile Phe Asn
 1 5 10 15

Val Ser Ser Lys Gly Ala Val Ser
 20

30 <210> 84
 <211> 24
 <212> PRT
 <213> Homo sapiens

35 <400> 84

Met Pro Met Gly Ser Leu Gln Pro Leu Ala Thr Leu Tyr Leu Leu Gly
 1 5 10 15

Met Leu Val Ala Ser Cys Leu Gly
 20

40 <210> 85
 <211> 25

ES 2 778 905 T3

<212> PRT
<213> Homo sapiens

<400> 85

5 Met Ala Gly Pro Pro Arg Leu Leu Leu Leu Pro Leu Leu Leu Ala Leu
1 5 10 15
Ala Arg Gly Leu Pro Gly Ala Leu Ala
20 25

<210> 86
<211> 24
<212> PRT
<213> Homo sapiens

<400> 86

10 Met Ser Ala Pro Lys Leu Leu Ser Leu Gly Cys Ile Phe Phe Pro Leu
1 5 10 15
Leu Leu Phe Gln Gln Ala Arg Ala
15 20

<210> 87
<211> 19
<212> PRT
<213> Homo sapiens

<400> 87

20 Met Arg Phe Phe Val Pro Leu Phe Leu Val Gly Ile Leu Phe Pro Ala
1 5 10 15
Ile Leu Ala
25

<210> 88
<211> 23
<212> PRT
<213> Homo sapiens

<400> 88

30 Met Pro Gly Phe Leu Val Arg Ile Leu Pro Leu Leu Leu Val Leu Leu
1 5 10 15
Leu Leu Gly Pro Thr Arg Gly
20

<210> 89
<211> 24
<212> PRT
<213> Homo sapiens

<400> 89

35 Met Lys Arg Phe Leu Phe Leu Leu Leu Thr Ile Ser Leu Leu Val Met
1 5 10 15
Val Gln Ile Gln Thr Gly Leu Ser
20

ES 2 778 905 T3

<210> 90
 <211> 21
 <212> PRT
 <213> Homo sapiens
 5 <400> 90
 Met Gln Gly Pro Pro Leu Leu Thr Ala Ala His Leu Leu Cys Val Cys
 1 5 10 15
 Thr Ala Ala Leu Ala
 20
 10 <210> 91
 <211> 22
 <212> PRT
 <213> Homo sapiens
 15 <400> 91
 Met Gly Pro Thr Ser Gly Pro Ser Leu Leu Leu Leu Leu Leu Thr His
 1 5 10 15
 Leu Pro Leu Ala Leu Gly
 20
 20 <210> 92
 <211> 18
 <212> PRT
 <213> Homo sapiens
 <400> 92
 25 <210> 93
 <211> 20
 <212> PRT
 <213> Homo sapiens
 <400> 93
 Met Glu Ala Pro Ala Gln Leu Leu Phe Leu Leu Leu Leu Trp Leu Pro
 1 5 10 15
 Asp Thr Thr Arg
 20
 30 <210> 94
 <211> 20
 <212> PRT
 <213> Homo sapiens
 <400> 94

ES 2 778 905 T3

Met Val Leu Gln Thr Gln Val Phe Ile Ser Leu Leu Leu Trp Ile Ser
 1 5 10 15

Gly Ala Tyr Gly
 20

5 <210> 95
 <211> 19
 <212> PRT
 <213> Homo sapiens
 <400> 95

Met Ala Trp Ala Pro Leu Leu Leu Thr Leu Leu Ala His Cys Thr Asp
 1 5 10 15

10 Cys Trp Ala

15 <210> 96
 <211> 22
 <212> PRT
 <213> Homo sapiens
 <400> 96

Met Leu Lys Pro Ser Leu Pro Phe Thr Ser Leu Leu Phe Leu Gln Leu
 1 5 10 15

Pro Leu Leu Gly Val Gly
 20

20 <210> 97
 <211> 20
 <212> PRT
 <213> Homo sapiens
 25 <400> 97

Met Ala Trp Ala Ser Arg Leu Gly Leu Leu Leu Ala Leu Leu Leu Pro
 1 5 10 15

Val Val Gly Ala
 20

30 <210> 98
 <211> 23
 <212> PRT
 <213> Homo sapiens
 35 <400> 98

Met Gly Val Pro Arg Pro Gln Pro Trp Ala Leu Gly Leu Leu Leu Phe
 1 5 10 15

Leu Leu Pro Gly Ser Leu Gly
 20

40 <210> 99
 <211> 4
 <212> PRT
 <213> Secuencia artificial

ES 2 778 905 T3

<220>
 <223> motivo ITAM

5 <220>
 <221> Característica nueva
 <222> (2)..(3)
 <223> Xaa puede ser cualquier aminoácido natural

10 <220>
 <221> Característica nueva
 <222> (4)..(4)
 <223> Xaa puede ser Leu o Ile

15 <400> 99
 Tyr Xaa Xaa Xaa
 1

20 <210> 100
 <211> 4
 <212> PRT
 <213> Secuencia artificial

25 <220>
 <223> secuencia objetivo del aminoácido básico furina

30 <220>
 <221> Característica nueva
 <222> (2)..(2)
 <223> Xaa puede ser cualquier aminoácido natural

35 <220>
 <221> Característica nueva
 <222> (3)..(3)
 <223> Xaa puede ser Arg o Lys

40 <400> 100
 Arg Xaa Xaa Arg
 1

45 <210> 101
 <211> 7
 <212> PRT
 <213> Secuencia artificial

50 <220>
 <223> sitio de consenso de escisión del virus de grabado del tabaco (TEV)
 <400> 101
 Glu Asn Leu Tyr Phe Gln Ser
 1 5

55 <210> 102
 <211> 8
 <212> PRT
 <213> Secuencia artificial

60 <220>
 <223> motive involucrado en la actividad de escisión

65 <220>
 <221> Característica nueva
 <222> (2)..(2)
 <223> Xaa puede ser cualquier aminoácido natural

<220>
 <221> Característica nueva
 <222> (4)..(4)
 <223> Xaa puede ser cualquier aminoácido natural
 5
 <400> 102

Asp	Xaa	Glu	Xaa	Asn	Pro	Gly	Pro
1				5			

 10 <210> 103
 <211> 8
 <212> PRT
 <213> Secuencia artificial

 15 <220>
 <223> sitio de escisión

 <220>
 <221> Característica nueva
 20 <222> (2)..(2)
 <223> Xaa puede ser Ile, Val, Met o Ser

 <220>
 <221> Característica nueva
 25 <222> (4)..(4)
 <223> Xaa puede ser Thr, Met, Ser, Leu, Glu, Gln o Phe

 <400> 103

Asp	Xaa	Glu	Xaa	Asn	Pro	Gly	Pro
1				5			

 30 <210> 104
 <211> 4
 <212> PRT
 35 <213> Secuencia artificial

 <220>
 <223> señal del terminal C, motivo de canales de potasio

 40 <220>
 <221> Característica nueva
 <222> (2)..(2)
 <223> Xaa puede ser cualquier aminoácido natural

 45 <400> 104

Arg	Xaa	Arg	Arg
1			

 <210> 105
 50 <211> 12
 <212> PRT
 <213> Homo sapiens

 <400> 105
 55

Ile	Asn	Phe	Asp	Asn	Pro	Val	Tyr	Gln	Lys	Thr	Thr
1				5					10		

 <210> 106
 60 <211> 12
 <212> PRT
 <213> Homo sapiens

ES 2 778 905 T3

<400> 106

Val Glu Ile Gly Asn Pro Thr Tyr Lys Met Tyr Glu
 1 5 10

5 <210> 107
 <211> 12
 <212> PRT
 <213> Homo sapiens

10 <400> 107

Thr Asn Phe Thr Asn Pro Val Tyr Ala Thr Leu Tyr
 1 5 10

15 <210> 108
 <211> 12
 <212> PRT
 <213> Drosophila sp.

20 <400> 108

Gly Asn Phe Ala Asn Pro Val Tyr Glu Ser Met Tyr
 1 5 10

25 <210> 109
 <211> 12
 <212> PRT
 <213> Caenorhabditis elegans

<400> 109

30 Thr Thr Phe Thr Asn Pro Val Tyr Glu Leu Glu Asp
 1 5 10

35 <210> 110
 <211> 12
 <212> PRT
 <213> Caenorhabditis elegans

<400> 110

40 Leu Arg Val Asp Asn Pro Leu Tyr Asp Pro Asp Ser
 1 5 10

45 <210> 111
 <211> 12
 <212> PRT
 <213> Homo sapiens

<400> 111

Ile Ile Phe Glu Asn Pro Met Tyr Ser Ala Arg Asp
 1 5 10

50 <210> 112
 <211> 12
 <212> PRT
 <213> Homo sapiens

55 <400> 112

Thr Asn Phe Glu Asn Pro Ile Tyr Ala Gln Met Glu
 1 5 10

ES 2 778 905 T3

<210> 113
 <211> 12
 <212> PRT
 <213> Homo sapiens
 5 <400> 113

 Asp Thr Gly Glu Asn Pro Ile Tyr Lys Ser Ala Val
 1 5 10

 10 <210> 114
 <211> 11
 <212> PRT
 <213> Homo sapiens

 15 <400> 114

 Thr Thr Val Val Asn Pro Lys Tyr Glu Gly Lys
 1 5 10

 20 <210> 115
 <211> 12
 <212> PRT
 <213> Drosophila sp.

 25 <400> 115

 Trp Asp Thr Glu Asn Pro Ile Tyr Lys Gln Ala Thr
 1 5 10

 30 <210> 116
 <211> 11
 <212> PRT
 <213> Drosophila sp.

 <400> 116

 Ser Thr Phe Lys Asn Pro Met Tyr Ala Gly Lys
 1 5 10

 35 <210> 117
 <211> 12
 <212> PRT
 <213> Homo sapiens

 <400> 117

 His Gly Tyr Glu Asn Pro Thr Tyr Arg Phe Leu Glu
 1 5 10

 45 <210> 118
 <211> 12
 <212> PRT
 <213> Homo sapiens

 50 <400> 118

 Asn Gly Tyr Glu Asn Pro Thr Tyr Lys Phe Phe Glu
 1 5 10

 55 <210> 119
 <211> 12
 <212> PRT
 <213> Drosophila sp.

ES 2 778 905 T3

<400> 119

Asn Gly Tyr Glu Asn Pro Thr Tyr Lys Tyr Phe Glu
1 5 10

5 <210> 120
<211> 12
<212> PRT
<213> Homo sapiens

10 <400> 120

Tyr Ala Ser Ser Asn Pro Glu Tyr Leu Ser Ala Ser
1 5 10

15 <210> 121
<211> 12
<212> PRT
<213> Homo sapiens

20 <400> 121

Gly Ser Val Gln Asn Pro Val Tyr His Asn Gln Pro
1 5 10

25 <210> 122
<211> 12
<212> PRT
<213> Homo sapiens

<400> 122

30 Thr Ala Val Gly Asn Pro Glu Tyr Leu Asn Thr Val
1 5 10

35 <210> 123
<211> 12
<212> PRT
<213> Homo sapiens

<400> 123

40 Ile Ser Leu Asp Asn Pro Asp Tyr Gln Gln Asp Phe
1 5 10

45 <210> 124
<211> 11
<212> PRT
<213> Homo sapiens

<400> 124

Arg Lys Arg Ser His Ala Gly Tyr Gln Thr Ile
1 5 10

50 <210> 125
<211> 10
<212> PRT
<213> Homo sapiens

55 <400> 125

Lys His His His Ala Gly Tyr Glu Gln Phe
1 5 10

ES 2 778 905 T3

<210> 126
 <211> 11
 <212> PRT
 <213> Gallus gallus
 5 <400> 126

 Lys Lys His His Asn Thr Gly Tyr Glu Gln Phe
 1 5 10

 10 <210> 127
 <211> 11
 <212> PRT
 <213> Gallus gallus

 15 <400> 127

 Arg Arg Lys Ser Arg Thr Gly Tyr Gln Ser Val
 1 5 10

 20 <210> 128
 <211> 11
 <212> PRT
 <213> Gallus gallus

 25 <400> 128

 Arg Arg Lys Ser Tyr Ala Gly Tyr Gln Thr Leu
 1 5 10

 30 <210> 129
 <211> 12
 <212> PRT
 <213> Drosophila sp.

 35 <400> 129

 Arg Arg Arg Ser Thr Ser Arg Gly Tyr Met Ser Phe
 1 5 10

 40 <210> 130
 <211> 11
 <212> PRT
 <213> Lumbricus terrestris

 45 <400> 130

 Arg Lys Arg Ser Arg Arg Gly Tyr Glu Ser Val
 1 5 10

 50 <210> 131
 <211> 10
 <212> PRT
 <213> Homo sapiens

 55 <400> 131

 Lys Ser Ile Arg Ser Gly Tyr Glu Val Met
 1 5 10

 55 <210> 132
 <211> 12
 <212> PRT
 <213> Homo sapiens

ES 2 778 905 T3

<400> 132

His Cys Gly Gly Pro Arg Pro Gly Tyr Glu Thr Leu
 1 5 10

5 <210> 133
 <211> 12
 <212> PRT
 <213> Mus musculus

10 <400> 133

His Cys Arg Thr Arg Arg Ala Glu Tyr Glu Thr Leu
 1 5 10

15 <210> 134
 <211> 10
 <212> PRT
 <213> Homo sapiens

20 <400> 134

Arg Arg Arg Pro Ser Ala Tyr Gln Ala Leu
 1 5 10

25 <210> 135
 <211> 9
 <212> PRT
 <213> Homo sapiens

30 <400> 135

Arg Arg Arg Ser Tyr Gln Asn Ile Pro
 1 5

35 <210> 136
 <211> 10
 <212> PRT
 <213> Homo sapiens

40 <400> 136

Lys Lys His Cys Ser Tyr Gln Asp Ile Leu
 1 5 10

45 <210> 137
 <211> 10
 <212> PRT
 <213> Mus musculus

<400> 137

Arg Arg Arg Ser Ala Tyr Gln Asp Ile Arg
 1 5 10

50 <210> 138
 <211> 11
 <212> PRT
 <213> Rattus norvegicus

<400> 138

Arg Lys Arg Arg Arg Ser Tyr Gln Asp Ile Met
 1 5 10

ES 2 778 905 T3

<210> 139
 <211> 13
 <212> PRT
 <213> Rattus norvegicus
 5 <400> 139
 Lys Phe Cys Lys Ser Lys Glu Arg Asn Tyr His Thr Leu
 1 5 10
 10 <210> 140
 <211> 14
 <212> PRT
 <213> Drosophila sp.
 15 <400> 140
 Lys Phe Tyr Lys Ala Arg Asn Glu Arg Asn Tyr His Thr Leu
 1 5 10
 20 <210> 141
 <211> 14
 <212> PRT
 <213> Homo sapiens
 <400> 141
 25 <400> 141
 Lys Ile Arg Leu Arg Cys Gln Ser Ser Gly Tyr Gln Arg Ile
 1 5 10
 30 <210> 142
 <211> 14
 <212> PRT
 <213> Mus musculus
 <400> 142
 Lys Ile Arg Gln Arg His Gln Ser Ser Ala Tyr Gln Arg Ile
 1 5 10
 35 <210> 143
 <211> 15
 <212> PRT
 <213> Homo sapiens
 <400> 143
 His Phe Cys Leu Tyr Arg Lys Arg Pro Gly Tyr Asp Gln Leu Asn
 1 5 10 15
 45 <210> 144
 <211> 11
 <212> PRT
 <213> Homo sapiens
 50 <400> 144
 Ser Leu Ser Arg Gly Ser Gly Tyr Lys Glu Ile
 1 5 10
 55 <210> 145
 <211> 13
 <212> PRT
 <213> Homo sapiens

ES 2 778 905 T3

<400> 145

Arg Arg Leu Arg Lys Gly Tyr Thr Pro Leu Met Glu Thr
 1 5 10

5 <210> 146
 <211> 14
 <212> PRT
 <213> Homo sapiens

10 <400> 146

Arg Arg Ala Gly His Ser Ser Tyr Thr Pro Leu Pro Gly Ser
 1 5 10

15 <210> 147
 <211> 18
 <212> PRT
 <213> Dictyostelium sp.

20 <400> 147

Lys Lys Leu Arg Gln Gln Lys Gln Gln Gly Tyr Gln Ala Ile Ile Asn
 1 5 10 15

Asn Glu

25 <210> 148
 <211> 15
 <212> PRT
 <213> Dictyostelium sp.

<400> 148

30 Arg Ser Lys Ser Asn Gln Asn Gln Ser Tyr Asn Leu Ile Gln Leu
 1 5 10 15

<210> 149
 <211> 17
 <212> PRT
 <213> Dictyostelium sp.

<400> 149

Arg Lys Thr Phe Tyr Asn Asn Asn Gln Tyr Asn Gly Tyr Asn Ile Ile
 1 5 10 15

Asn

40 <210> 150
 <211> 10
 <212> PRT
 <213> Homo sapiens

45 <400> 150

Pro Leu Ser Tyr Thr Arg Phe Ser Leu Ala
 1 5 10

50 <210> 151
 <211> 11
 <212> PRT
 <213> Homo sapiens

ES 2 778 905 T3

<210> 158
 <211> 19
 <212> PRT
 <213> Homo sapiens
 5
 <400> 158

 Arg Met Gln Ala Gln Pro Pro Gly Tyr Arg His Val Ala Asp Gly Glu
 1 5 10 15

 Asp His Ala
 10 <210> 159
 <211> 7
 <212> PRT
 <213> Secuencia artificial
 15 <220>
 <223> Señal de Clasificación basada en dileucina

 <220>
 <221> Característica nueva
 20 <222> (1)..(1)
 <223> Xaa puede ser Asp o Glu

 <220>
 <221> Característica nueva
 25 <222> (2)..(4)
 <223> Xaa puede ser cualquier aminoácido natural

 <220>
 <221> Característica nueva
 30 <222> (7)..(7)
 <223> Xaa puede ser Leu o Ile

 <400> 159

 Xaa Xaa Xaa Xaa Leu Leu Xaa
 35 1 5

 <210> 160
 <211> 9
 <212> PRT
 40 <213> Homo sapiens

 <400> 160

 Ser Asp Lys Gln Thr Leu Leu Pro Asn
 45 1 5

 <210> 161
 <211> 9
 <212> PRT
 <213> Rattus norvegicus
 50 <400> 161

 Asp Glu Arg Ala Pro Leu Ile Arg Thr
 55 1 5

 <210> 162
 <211> 9
 <212> PRT
 <213> Homo sapiens
 <400> 162

ES 2 778 905 T3

	Gln Glu Lys Asp Pro Leu Leu Lys Asn
	1 5
5	<210> 163 <211> 9 <212> PRT <213> Coturnix sp. <400> 163
10	Thr Glu Arg Asn Pro Leu Leu Lys Ser
	1 5
15	<210> 164 <211> 9 <212> PRT <213> Homo sapiens <400> 164
20	Gly Glu Asn Ser Pro Leu Leu Ser Gly
	1 5
25	<210> 165 <211> 9 <212> PRT <213> Homo sapiens <400> 165
30	Glu Glu Lys Gln Pro Leu Leu Met Glu
	1 5
35	<210> 166 <211> 9 <212> PRT <213> Oryzias latipes <400> 166
40	Gly Glu Arg Gln Pro Leu Leu Gln Ser
	1 5
45	<210> 167 <211> 9 <212> PRT <213> Gallus gallus <400> 167
50	Pro Glu Ile Gln Pro Leu Leu Thr Glu
	1 5
55	<210> 168 <211> 9 <212> PRT <213> Carassius auratus <400> 168
	Glu Gly Arg Gln Pro Leu Leu Gly Asp
	1 5
	<210> 169 <211> 9

ES 2 778 905 T3

	<212> PRT									
	<213> Homo sapiens									
	<400> 169									
5										
		Glu	Ala	Asn	Gln	Pro	Leu	Leu	Thr	Asp
		1				5				
	<210> 170									
	<211> 9									
10	<212> PRT									
	<213> Gallus gallus									
	<400> 170									
15		Glu	Leu	His	Gln	Pro	Leu	Leu	Thr	Asp
		1				5				
	<210> 171									
	<211> 9									
20	<212> PRT									
	<213> Danio rerio									
	<400> 171									
25		Arg	Glu	Phe	Glu	Pro	Leu	Leu	Asn	Ala
		1				5				
	<210> 172									
	<211> 9									
30	<212> PRT									
	<213> Homo sapiens									
	<400> 172									
35		Glu	Glu	Lys	Met	Ala	Ile	Leu	Met	Asp
		1				5				
	<210> 173									
	<211> 9									
	<212> PRT									
	<213> Homo sapiens									
40	<400> 173									
		Glu	Glu	Lys	Leu	Ala	Ile	Leu	Ser	Gln
		1				5				
	<210> 174									
	<211> 9									
45	<212> PRT									
	<213> Mus musculus									
	<400> 174									
50		Ser	Glu	Arg	Asp	Val	Leu	Leu	Asp	Glu
		1				5				
	<210> 175									
	<211> 9									
55	<212> PRT									
	<213> Homo sapiens									
	<400> 175									

ES 2 778 905 T3

		Ser	Glu	Arg	Arg	Asn	Leu	Leu	Glu	Asp	
		1				5					
	<210>	176									
	<211>	9									
	<212>	PRT									
5	<213>	Rattus norvegicus									
	<400>	176									
10		Asp	Asp	Ser	Gly	Asp	Leu	Leu	Pro	Gly	
				1				5			
	<210>	177									
	<211>	9									
15	<212>	PRT									
	<213>	Homo sapiens									
	<400>	177									
20		Ser	Gln	Ile	Lys	Arg	Leu	Leu	Ser	Glu	
		1				5					
	<210>	178									
	<211>	9									
	<212>	PRT									
25	<213>	Felis catus									
	<400>	178									
30		Ser	His	Ile	Lys	Arg	Leu	Leu	Ser	Glu	
		1				5					
	<210>	179									
	<211>	9									
	<212>	PRT									
	<213>	Mus musculus									
35	<400>	179									
40		Arg	Arg	Thr	Pro	Ser	Leu	Leu	Glu	Gln	
		1				5					
	<210>	180									
	<211>	9									
	<212>	PRT									
	<213>	Homo sapiens									
45	<400>	180									
50		His	Arg	Thr	Pro	Ser	Leu	Leu	Glu	Gln	
		1				5					
	<210>	181									
	<211>	10									
	<212>	PRT									
	<213>	Rattus norvegicus									
	<400>	181									
55		Glu	Pro	Arg	Gly	Ser	Arg	Leu	Leu	Val	Arg
		1				5				10	
	<210>	182									
	<211>	19									

ES 2 778 905 T3

<212> PRT
<213> Homo sapiens

<400> 182

5 Met Asp Asp Gln Arg Asp Leu Ile Ser Asn Asn Glu Gln Leu Pro Met
1 5 10 15

Leu Gly Arg

<210> 183
<211> 19
<212> PRT
<213> Mus musculus

<400> 183

Met Asp Asp Gln Arg Asp Leu Ile Ser Asn His Glu Gln Leu Pro Ile
1 5 10 15

Leu Gly Asn

<210> 184
<211> 20
<212> PRT
<213> Gallus gallus

<400> 184

Met Ala Glu Glu Gln Arg Asp Leu Ile Ser Ser Asp Gly Ser Ser Gly
1 5 10 15

Val Leu Pro Ile
20

<210> 185
<211> 23
<212> PRT
<213> Danio rerio

<400> 185

Met Glu Pro Asp His Gln Asn Glu Ser Leu Ile Gln Arg Val Pro Ser
1 5 10 15

Ala Glu Thr Ile Leu Gly Arg
20

<210> 186
<211> 23
<212> PRT
<213> Danio rerio

<400> 186

Met Ser Ser Glu Gly Asn Glu Thr Pro Leu Ile Ser Asp Gln Ser Ser
1 5 10 15

Val Asn Met Gly Pro Gln Pro
20

ES 2 778 905 T3

<210> 187
 <211> 24
 <212> PRT
 <213> Trypanosoma sp.
 5 <400> 187
 Arg Pro Arg Arg Arg Thr Glu Glu Asp Glu Leu Leu Pro Glu Glu Ala
 1 5 10 15
 Glu Gly Leu Ile Asp Pro Gln Asn
 20
 10 <210> 188
 <211> 19
 <212> PRT
 <213> Homo sapiens
 15 <400> 188
 Pro Asp Lys His Ser Leu Leu Val Gly Asp Phe Arg Glu Asp Asp Asp
 1 5 10 15
 Thr Ala Leu
 20 <210> 189
 <211> 9
 <212> PRT
 <213> Homo sapiens
 25 <400> 189
 Thr Glu Arg Glu Arg Leu Leu Asn Phe
 1 5
 30 <210> 190
 <211> 8
 <212> PRT
 <213> Homo sapiens
 <400> 190
 Val Glu Thr Asp Asp Leu Ile Leu
 35 1 5
 40 <210> 191
 <211> 7
 <212> PRT
 <213> Caenorhabditis elegans
 <400> 191
 Phe Glu Asn Asp Ser Leu Leu
 1 5
 45 <210> 192
 <211> 9
 <212> PRT
 <213> Saccharomyces cerevisiae
 50 <400> 192
 Asn Glu Gln Ser Pro Leu Leu His Asn
 1 5

ES 2 778 905 T3

<210> 193
 <211> 8
 <212> PRT
 5 <213> Saccharomyces cerevisiae

 <400> 193

 Ser Glu Gln Thr Arg Leu Val Pro
 1 5
 10
 <210> 194
 <211> 8
 <212> PRT
 <213> Saccharomyces cerevisiae
 15
 <400> 194

 Glu Val Asp Leu Asp Leu Leu Lys
 1 5
 20
 <210> 195
 <211> 13
 <212> PRT
 <213> Homo sapiens
 25
 <400> 195

 Ser Phe His Asp Asp Ser Asp Glu Asp Leu Leu His Ile
 1 5 10
 30
 <210> 196
 <211> 13
 <212> PRT
 <213> Bos taurus
 35
 <400> 196

 Thr Phe His Asp Asp Ser Asp Glu Asp Leu Leu His Val
 1 5 10
 40
 <210> 197
 <211> 13
 <212> PRT
 <213> Oryctolagus cuniculus
 45
 <400> 197

 Ser Phe His Asp Asp Ser Asp Glu Asp Leu Leu Asn Ile
 1 5 10
 50
 <210> 198
 <211> 13
 <212> PRT
 <213> Gallus gallus
 55
 <400> 198

 Ser Phe His Asp Asp Ser Asp Glu Asp Leu Leu Asn Val
 1 5 10
 60
 <210> 199
 <211> 13
 <212> PRT
 <213> Homo sapiens

ES 2 778 905 T3

<400> 199
 Glu Glu Ser Glu Glu Arg Asp Asp His Leu Leu Pro Met
 1 5 10

<210> 200
 5 <211> 13
 <212> PRT
 <213> Gallus gallus

<400> 200
 10 Asp Glu Ser Glu Glu Arg Asp Asp His Leu Leu Pro Met
 1 5 10

<210> 201
 <211> 12
 15 <212> PRT
 <213> Homo sapiens

<400> 201
 20 Gly Tyr His Asp Asp Ser Asp Glu Asp Leu Leu Glu
 1 5 10

<210> 202
 <211> 13
 <212> PRT
 25 <213> Homo sapiens

<400> 202
 30 Ile Thr Gly Phe Ser Asp Asp Val Pro Met Val Ile Ala
 1 5 10

<210> 203
 <211> 13
 <212> PRT
 <213> Hydra sp.
 35 <400> 203

Ile Asn Arg Phe Ser Asp Asp Glu Pro Leu Val Val Ala
 1 5 10

<210> 204
 <211> 13
 <212> PRT
 <213> Homo sapiens
 40 <400> 204

Met Leu Glu Ala Ser Asp Asp Glu Ala Leu Leu Val Cys
 1 5 10

<210> 205
 <211> 13
 <212> PRT
 <213> Homo sapiens
 50 <400> 205

Lys Asn Glu Thr Ser Asp Asp Glu Ala Leu Leu Leu Cys
 1 5 10

<210> 206
 <211> 12

ES 2 778 905 T3

<212> PRT
 <213> Mus musculus
 <400> 206
 5 Trp Val Val Glu Ala Glu Asp Glu Pro Leu Leu Ala
 1 5 10

<210> 207
 <211> 12
 <212> PRT
 <213> Homo sapiens
 <400> 207
 15 Trp Val Ala Glu Ala Glu Asp Glu Pro Leu Leu Thr
 1 5 10

<210> 208
 <211> 12
 <212> PRT
 <213> Homo sapiens
 <400> 208
 25 His Asp Asp Phe Ala Asp Asp Ile Ser Leu Leu Lys
 1 5 10

<210> 209
 <211> 13
 <212> PRT
 <213> Mus musculus
 <400> 209
 30 Gly Arg Asp Ser Pro Glu Asp His Ser Leu Leu Val Asn
 1 5 10

<210> 210
 <211> 12
 <212> PRT
 <213> Peromyscus maniculatus
 <400> 210
 40 Val Arg Cys His Pro Glu Asp Asp Arg Leu Leu Gly
 1 5 10

<210> 211
 <211> 13
 <212> PRT
 <213> Homo sapiens
 <400> 211
 50 His Arg Val Ser Gln Asp Asp Leu Asp Leu Leu Thr Ser
 1 5 10

<210> 212
 <211> 13
 <212> PRT
 <213> Homo sapiens
 <400> 212

ES 2 778 905 T3

Ala Ser Val Ser Leu Leu Asp Asp Glu Leu Met Ser Leu
 1 5 10

5 <210> 213
 <211> 13
 <212> PRT
 <213> Homo sapiens

10 <400> 213

Ala Ser Ser Gly Leu Asp Asp Leu Asp Leu Leu Gly Lys
 1 5 10

15 <210> 214
 <211> 13
 <212> PRT
 <213> Homo sapiens

<400> 214

20 Val Gln Asn Pro Ser Ala Asp Arg Asn Leu Leu Asp Leu
 1 5 10

<210> 215
 <211> 13
 <212> PRT
 <213> Homo sapiens

25 <400> 215

Asn Ala Leu Ser Trp Leu Asp Glu Glu Leu Leu Cys Leu
 1 5 10

30 <210> 216
 <211> 13
 <212> PRT
 <213> Drosophila sp.

35 <400> 216

Thr Val Asp Ser Ile Asp Asp Val Pro Leu Leu Ser Asp
 1 5 10

40 <210> 217
 <211> 13
 <212> PRT
 <213> Mus musculus

45 <400> 217

Gln Glu Glu Cys Pro Ser Asp Ser Glu Glu Asp Glu Gly
 1 5 10

50 <210> 218
 <211> 13
 <212> PRT
 <213> Mus musculus

55 <400> 218

Arg Asp Arg Asp Tyr Asp Glu Asp Asp Glu Asp Asp Ile
 1 5 10

ES 2 778 905 T3

<210> 219
 <211> 15
 <212> PRT
 <213> Mus musculus
 5 <400> 219
 Leu Asp Glu Thr Glu Asp Asp Glu Leu Glu Tyr Asp Asp Glu Ser
 1 5 10 15

10 <210> 220
 <211> 10
 <212> PRT
 <213> Homo sapiens

15 <400> 220
 Lys Asp Pro Asp Glu Val Glu Thr Glu Ser
 1 5 10

20 <210> 221
 <211> 13
 <212> PRT
 <213> Homo sapiens

25 <400> 221
 His Glu Phe Gln Asp Glu Thr Asp Thr Glu Glu Glu Thr
 1 5 10

30 <210> 222
 <211> 14
 <212> PRT
 <213> Homo sapiens

35 <400> 222
 Gln Glu Lys Glu Asp Asp Gly Ser Glu Ser Glu Glu Glu Tyr
 1 5 10

40 <210> 223
 <211> 9
 <212> PRT
 <213> Homo sapiens

45 <400> 223
 Gly Glu Asp Glu Glu Ser Glu Ser Asp
 1 5

50 <210> 224
 <211> 12
 <212> PRT
 <213> Homo sapiens

55 <400> 224
 Gly Glu Asp Ser Asp Glu Glu Pro Asp His Glu Glu
 1 5 10

60 <210> 225
 <211> 11
 <212> PRT
 <213> Homo sapiens

60 <400> 225

ES 2 778 905 T3

Leu Glu Asp Asp Ser Asp Glu Glu Glu Asp Phe
 1 5 10
 5 <210> 226
 <211> 9
 <212> PRT
 <213> Citomegalovirus humano
 10 <400> 226
 Lys Asp Ser Asp Glu Glu Glu Asn Val
 1 5
 15 <210> 227
 <211> 13
 <212> PRT
 <213> Herpesvirus 3
 20 <400> 227
 Phe Glu Asp Ser Glu Ser Thr Asp Thr Glu Glu Glu Phe
 1 5 10
 25 <210> 228
 <211> 9
 <212> PRT
 <213> Virus de inmunodeficiencia humana tipo 1
 30 <400> 228
 Leu Glu Ala Gln Glu Glu Glu Val
 1 5
 35 <210> 229
 <211> 22
 <212> PRT
 <213> Saccharomyces cerevisiae
 <400> 229
 Ala Asp Asp Leu Glu Ser Gly Leu Gly Ala Glu Asp Asp Leu Glu Gln
 1 5 10 15
 40 Asp Glu Gln Leu Glu Gly
 20
 45 <210> 230
 <211> 12
 <212> PRT
 <213> Saccharomyces cerevisiae
 <400> 230
 Thr Glu Ile Asp Glu Ser Phe Glu Met Thr Asp Phe
 1 5 10
 50 <210> 231
 <211> 18
 <212> PRT
 <213> Saccharomyces cerevisiae
 55 <400> 231

ES 2 778 905 T3

Thr Glu Pro Glu Glu Val Glu Asp Phe Asp Phe Asp Leu Ser Asp Glu
1 5 10 15

Asp His

<210> 232
<211> 15
5 <212> PRT
<213> Saccharomyces cerevisiae

<400> 232

Phe Glu Ile Glu Glu Asp Asp Val Pro Thr Leu Glu Glu Glu His
10 1 5 10 15

<210> 233
<211> 4
15 <212> PRT
<213> Secuencia artificial

<220>
<223> señal de retención intracelular

20 <400> 233

His Asp Glu Leu
1

REIVINDICACIONES

1. Un constructo de ácido nucleico que comprende la siguiente estructura:

5 A-X-B

en la cual

10 A y B son secuencias de ácido nucleico que codifican un primer receptor de antígeno quimérico (CAR) y un segundo CAR; y

X es una secuencia de ácido nucleico que codifica un sitio de escisión, en el que

el primer CAR y el segundo CAR reconocen diferentes antígenos;

15 el primer CAR y el segundo CAR comprenden cada uno un endodominio activador; y en el que

(a) el primer CAR y/o el segundo CAR comprenden una señal de retención intracelular seleccionada del siguiente grupo: una señal de endocitosis; una señal de retención de Golgi; una señal de reciclaje de la red trans-Golgi (TGN); una señal de retención del retículo endoplásmico (ER); y una señal de clasificación lisosómica; y/o

20 (b) el péptido de señalización del primer o segundo CAR comprende una o más mutaciones de tal manera que el péptido de señalización del primer CAR y el segundo CAR difieren en su número de aminoácidos hidrófobos y en el que un péptido de señalización comprende hasta cinco aminoácidos hidrófobos más que el otro péptido de señalización.

25 2. Un constructo de ácido nucleico de acuerdo con la reivindicación 1, en el que el primer CAR y/o el segundo CAR comprende una señal de retención intracelular que dirige el CAR a un compartimento intracelular unido a la membrana.

30 3. Un constructo de ácido nucleico de acuerdo con la reivindicación 1 o 2, en el que el primer CAR y/o el segundo CAR comprenden una señal de retención intracelular que dirige el CAR a un compartimento lisosómico, endosómico o de Golgi.

4. Un constructo de ácido nucleico de acuerdo con la reivindicación 1, en el que el péptido de señalización del primer CAR o segundo CAR comprende una o más mutaciones de tal manera que tiene menos aminoácidos hidrófobos que a) su secuencia de tipo silvestre o b) el péptido de señalización del otro CAR.

35 5. Un constructo de ácido nucleico de acuerdo con la reivindicación 4, en el que el o los aminoácidos hidrófobos eliminados o reemplazados por mutación se seleccionan del grupo: Alanina (A); Valina (V); Isoleucina (I); Leucina (L); Metionina (M); Fenilalanina (P); Tirosina (Y); Triptófano (W).

40 6. Un constructo de ácido nucleico de acuerdo con cualquier reivindicación precedente que comprende la siguiente estructura:

A-X-B-Y-C

en la cual

45 A, B y C son secuencias de ácido nucleico que codifican un primero, segundo y tercer polipéptidos de interés (POI); y X e Y son secuencias de ácido nucleico que pueden ser iguales o diferentes, cada una de las cuales codifica un sitio de escisión, en el que al menos dos de los POI son receptores de antígeno quimérico (CAR) que

50 (a) comprenden una señal de retención intracelular; y/o
(b) difieren en el número de aminoácidos hidrófobos en sus péptidos señal.

7. Un constructo de ácido nucleico de acuerdo con la reivindicación 6, que codifica dos CAR que comprenden una señal de retención intracelular, en la que los dos CAR:

55 (a) comprenden diferentes señales de retención intracelular; y/o
(b) tienen la señal de retención intracelular ubicada en una posición diferente en el CAR, de modo que cuando el ácido nucleico se expresa en una célula, existe una expresión relativa diferencial de los dos CAR en la superficie celular.

60 8. Un constructo de ácido nucleico de acuerdo con la reivindicación 6 o 7, en el que el tercer POI es un polipéptido que permite la selección de células transducidas y/o permite que se eliminen las células que expresan el polipéptido.

9. Un vector que comprende un constructo de ácido nucleico de acuerdo con cualquier reivindicación precedente.

65 10. Una célula que comprende un constructo de ácido nucleico de acuerdo con una cualquiera de las reivindicaciones 1 a 8 o un vector de acuerdo con la reivindicación 9.

11. Un método para elaborar una célula de acuerdo con la reivindicación 10, que comprende la etapa de introducir un constructo de ácido nucleico de acuerdo con cualquiera de las reivindicaciones 1 a 8 o un vector de acuerdo con la reivindicación 9 en una célula *ex vivo*.

5

12. Una composición farmacéutica que comprende una pluralidad de células de acuerdo con la reivindicación 10.

13. Una composición farmacéutica de acuerdo con la reivindicación 12 para usar en el tratamiento y/o prevención de una enfermedad.

10

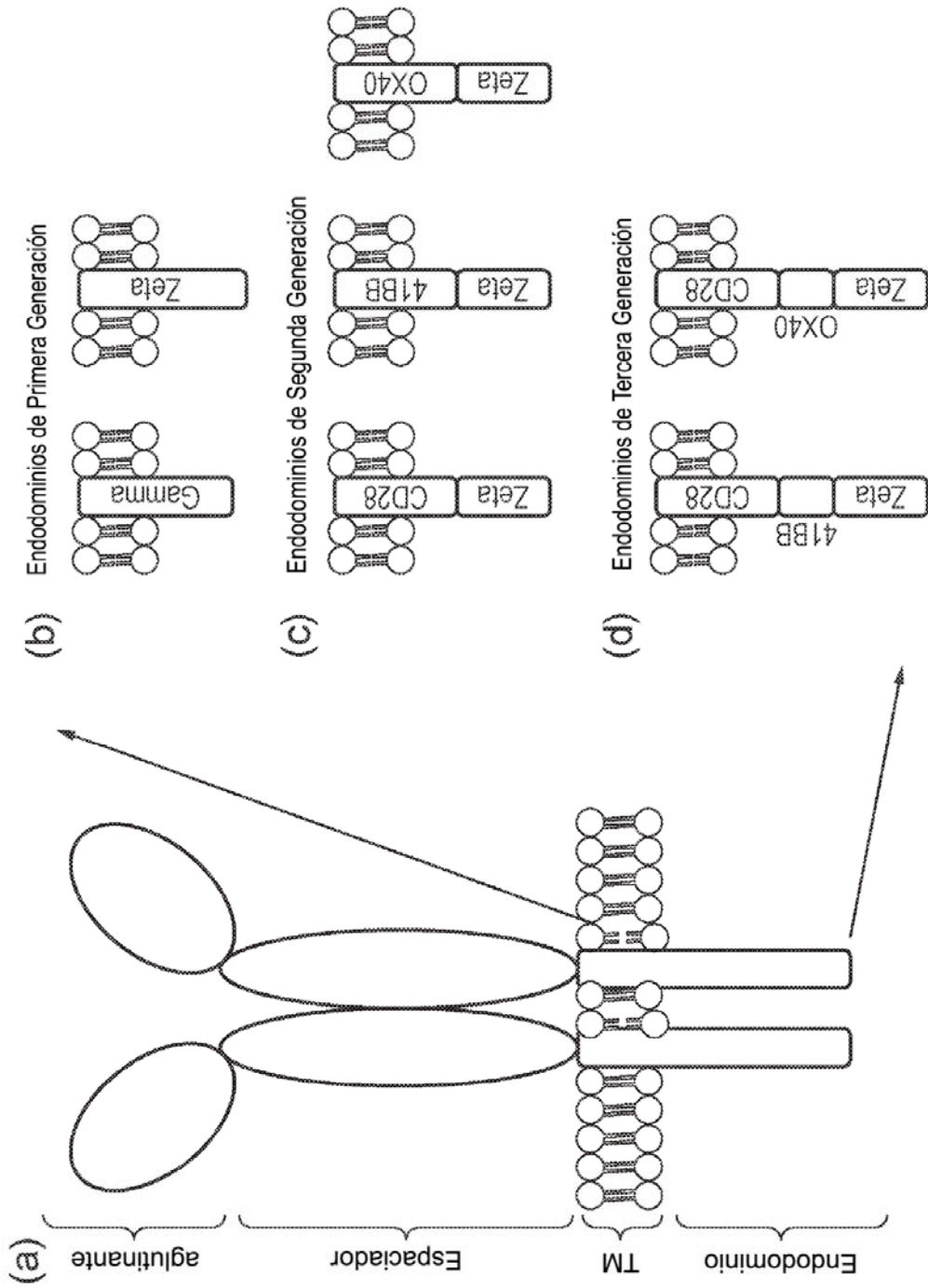


FIG. 1

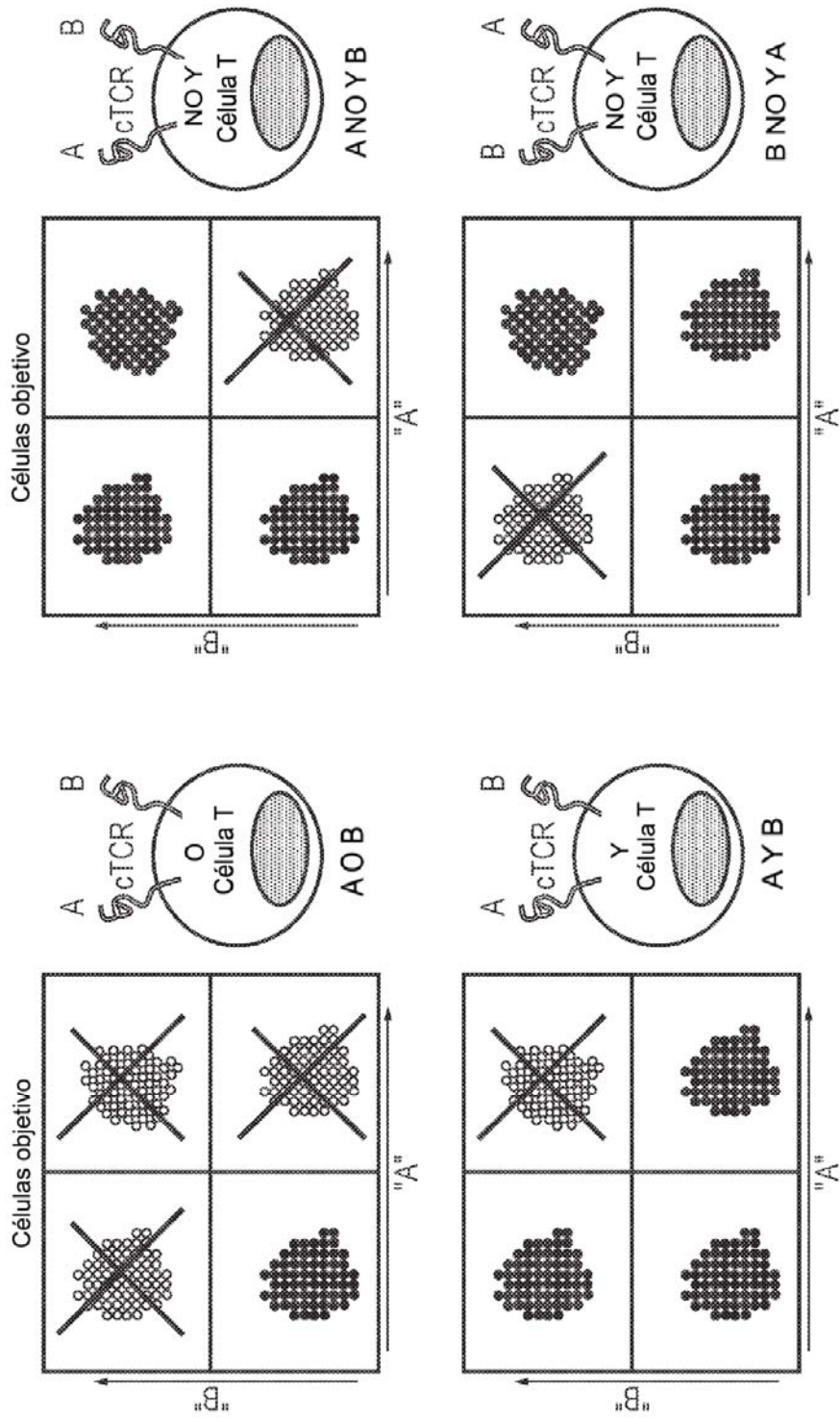


FIG. 2

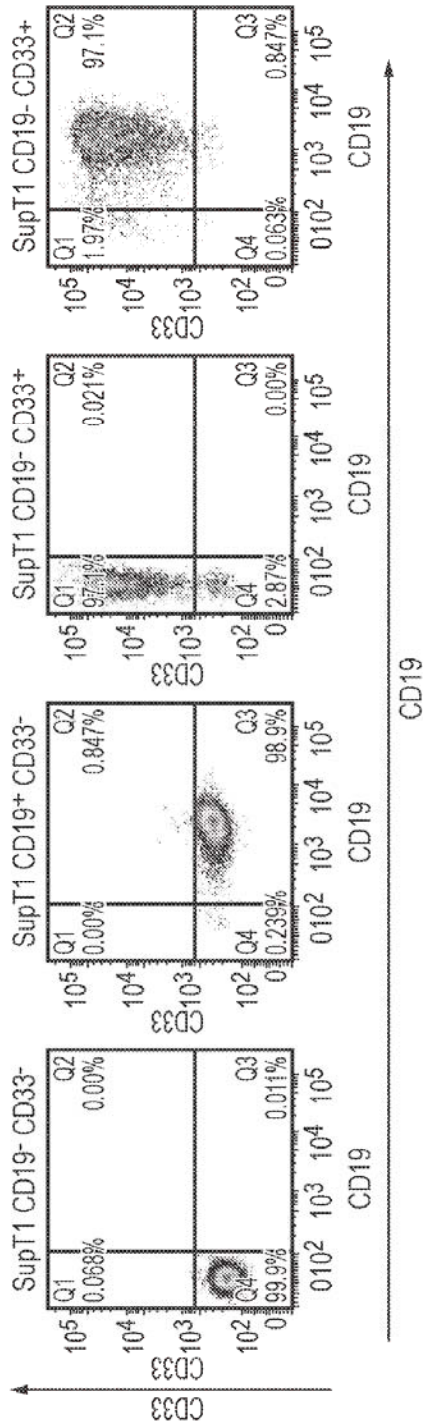


FIG. 3

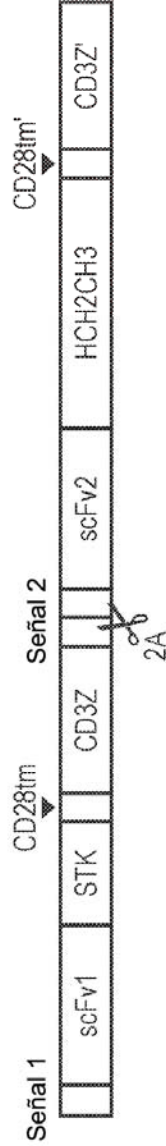


FIG. 4

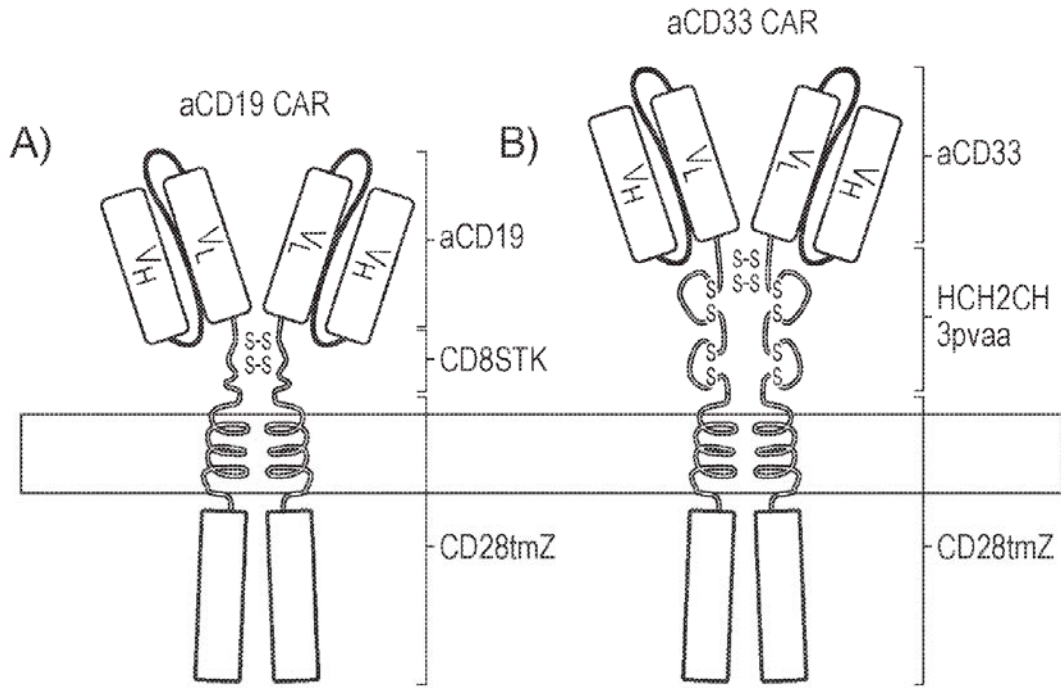


FIG. 5

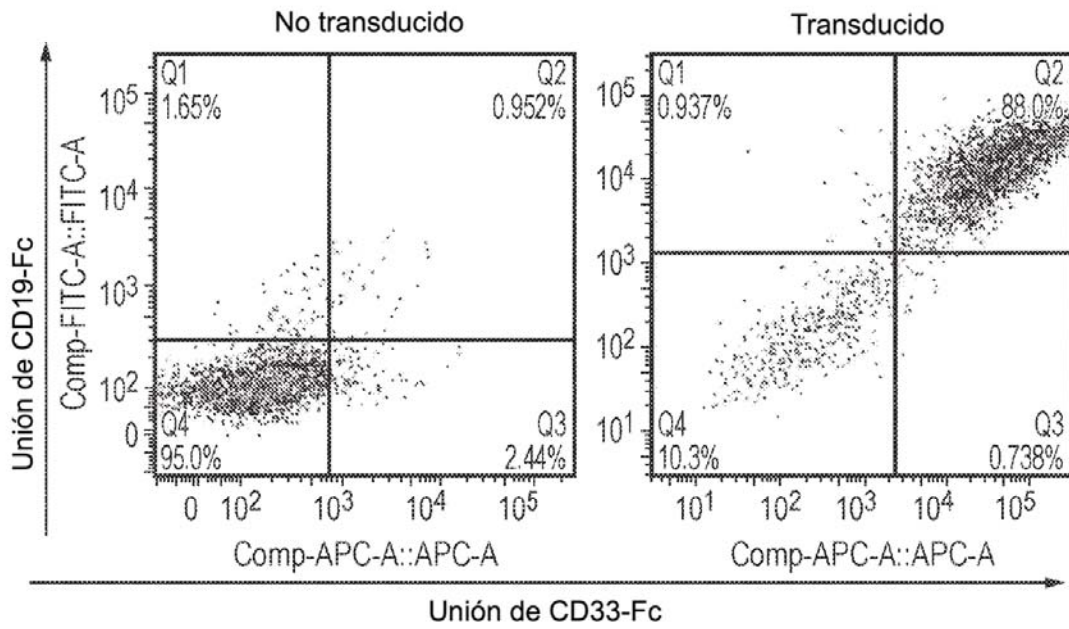


FIG. 6

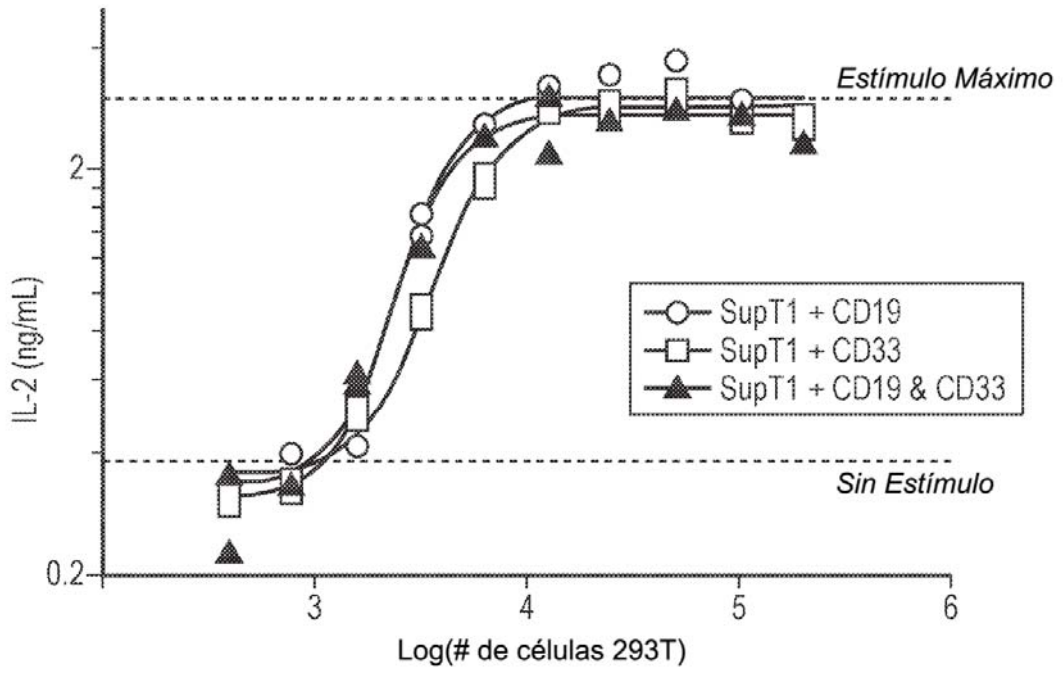


FIG. 7

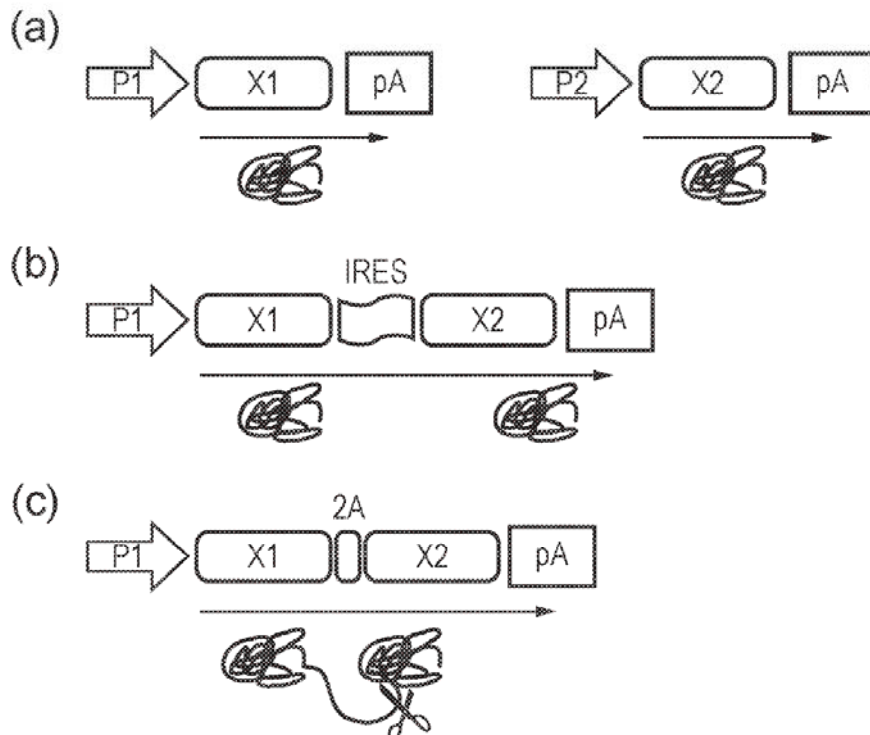


FIG. 8

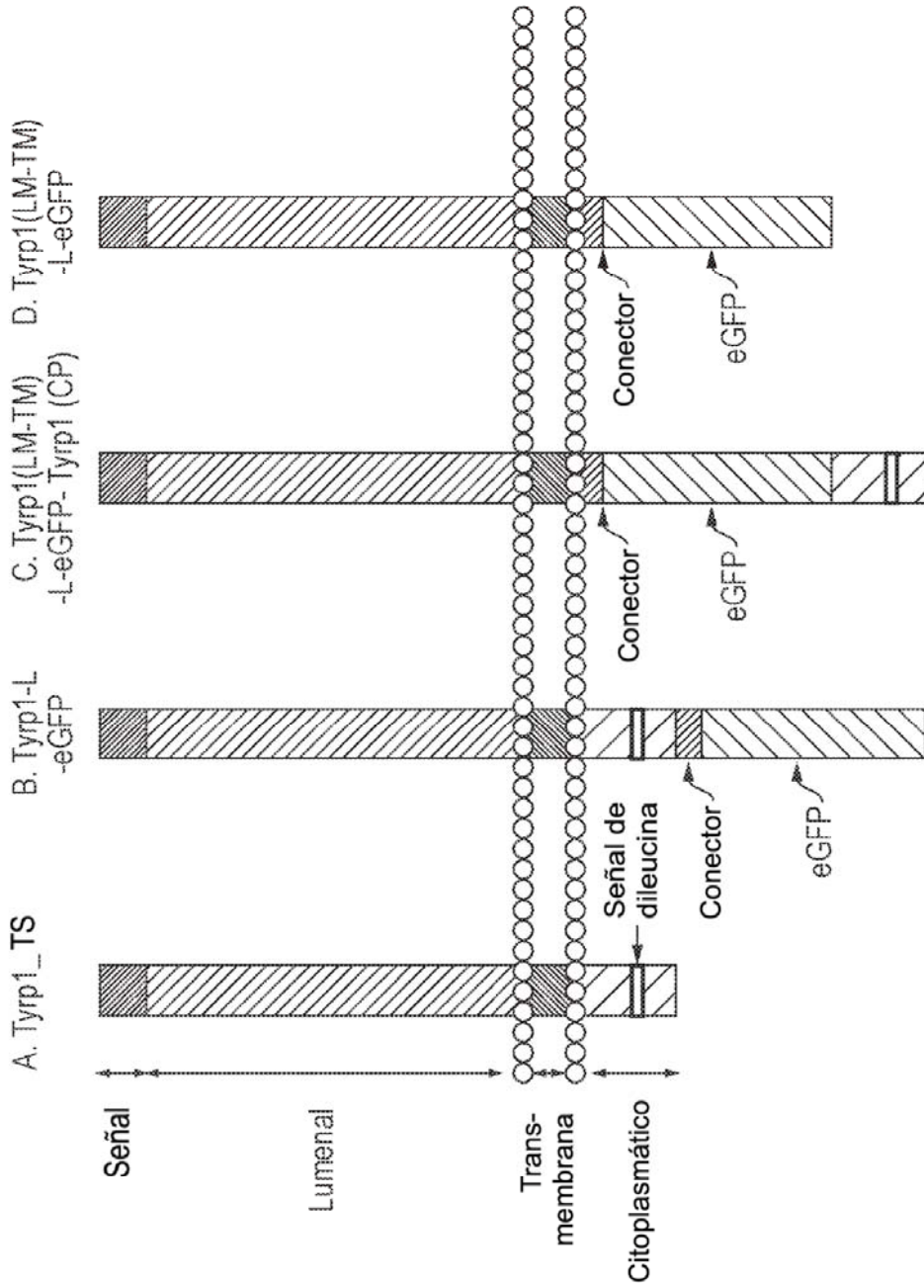


FIG. 9

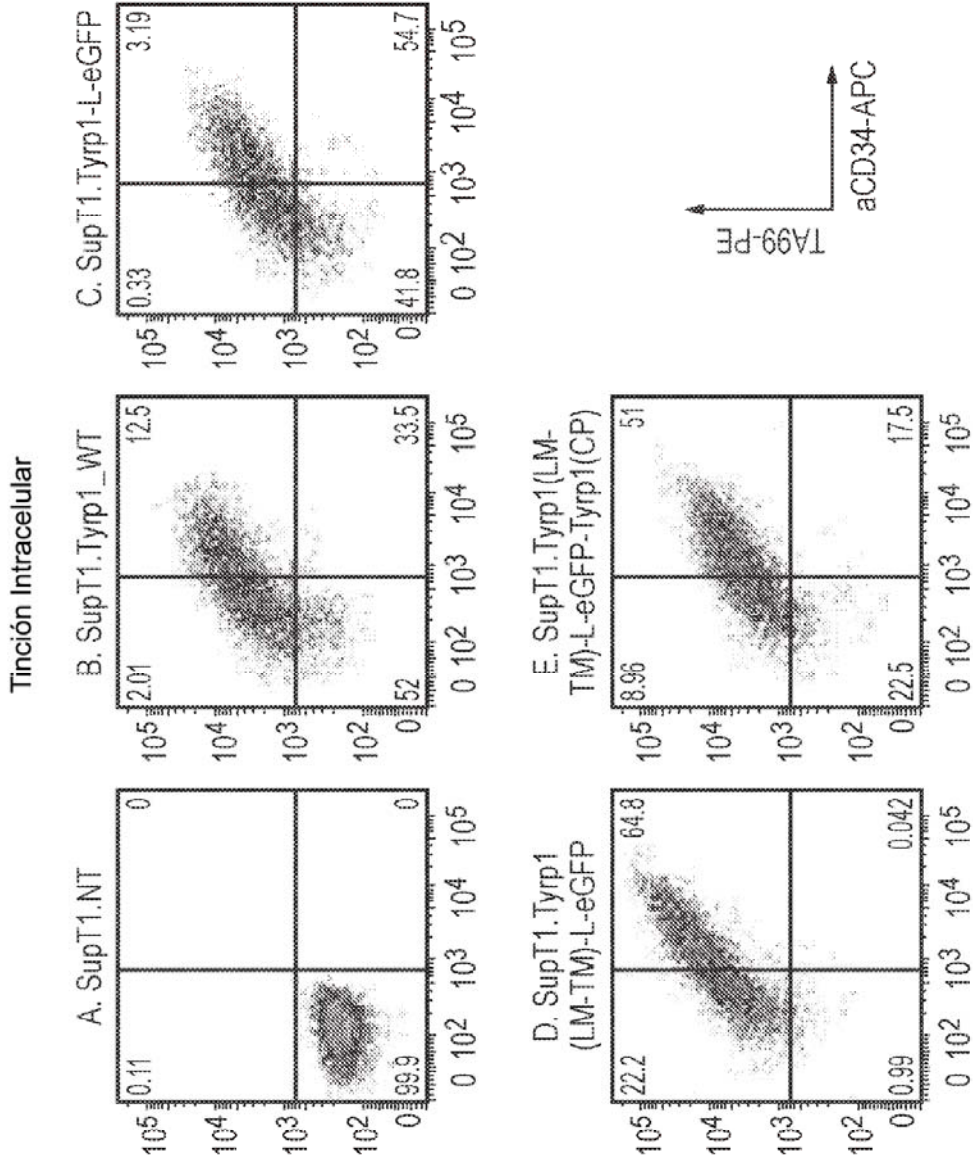


FIG. 9 (Continuación)

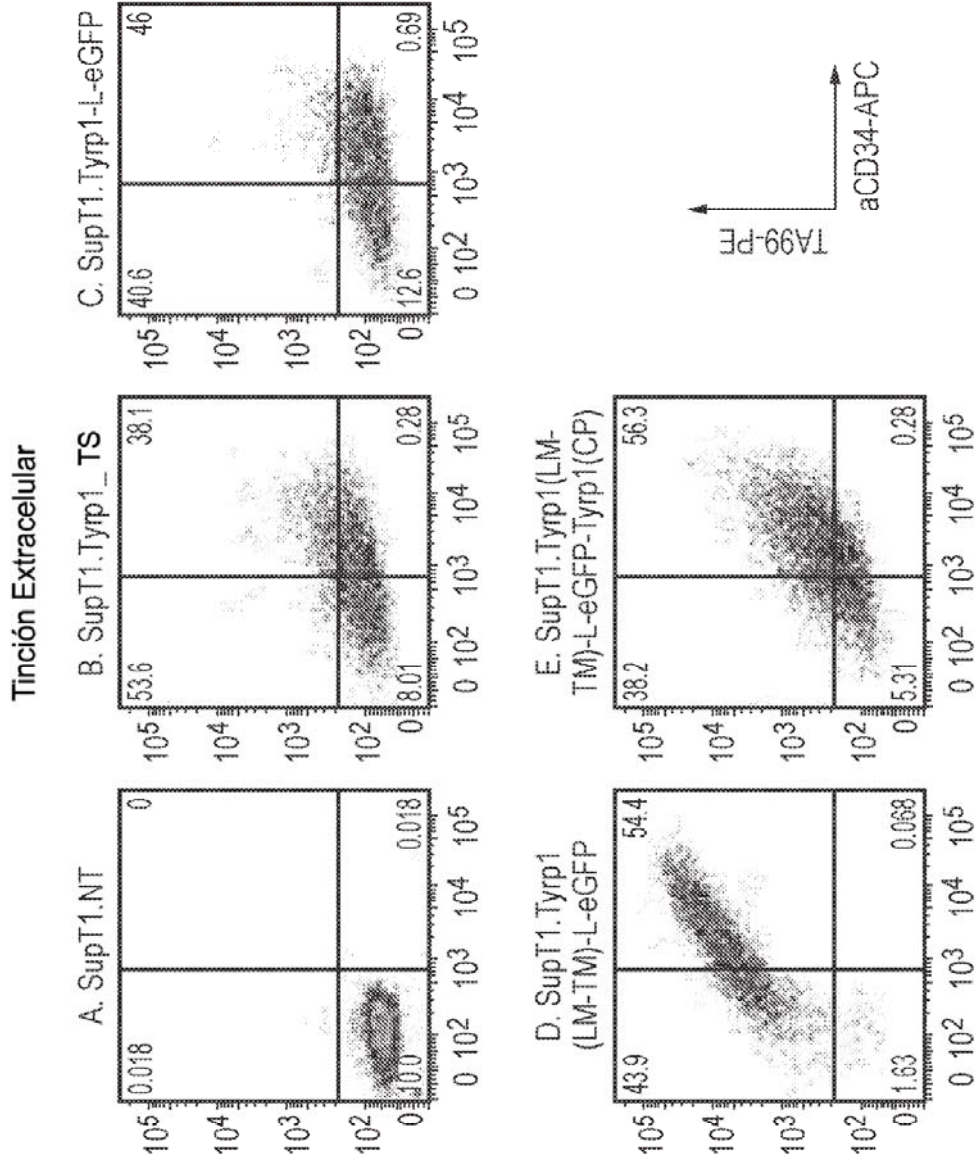


FIG. 9 (Continuación)

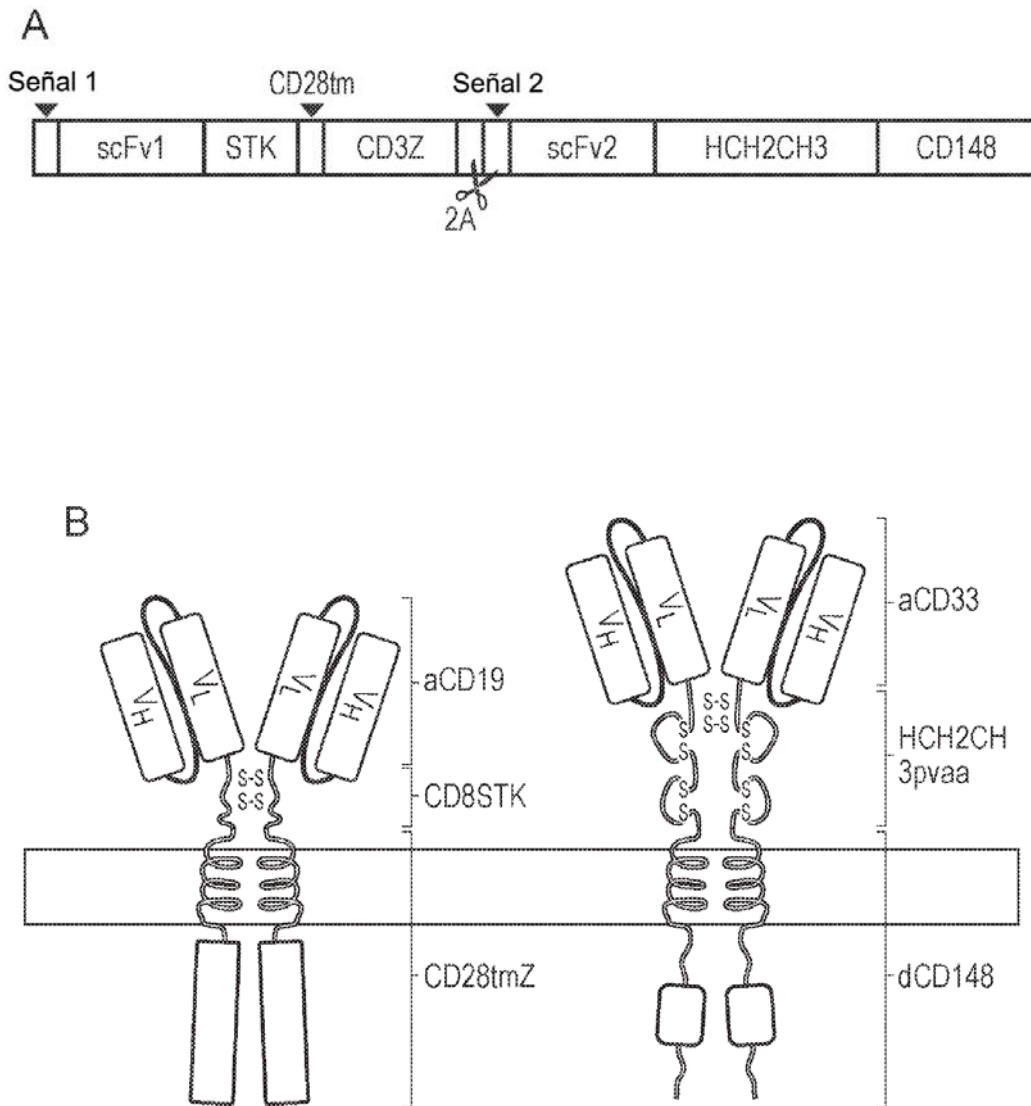


FIG. 10

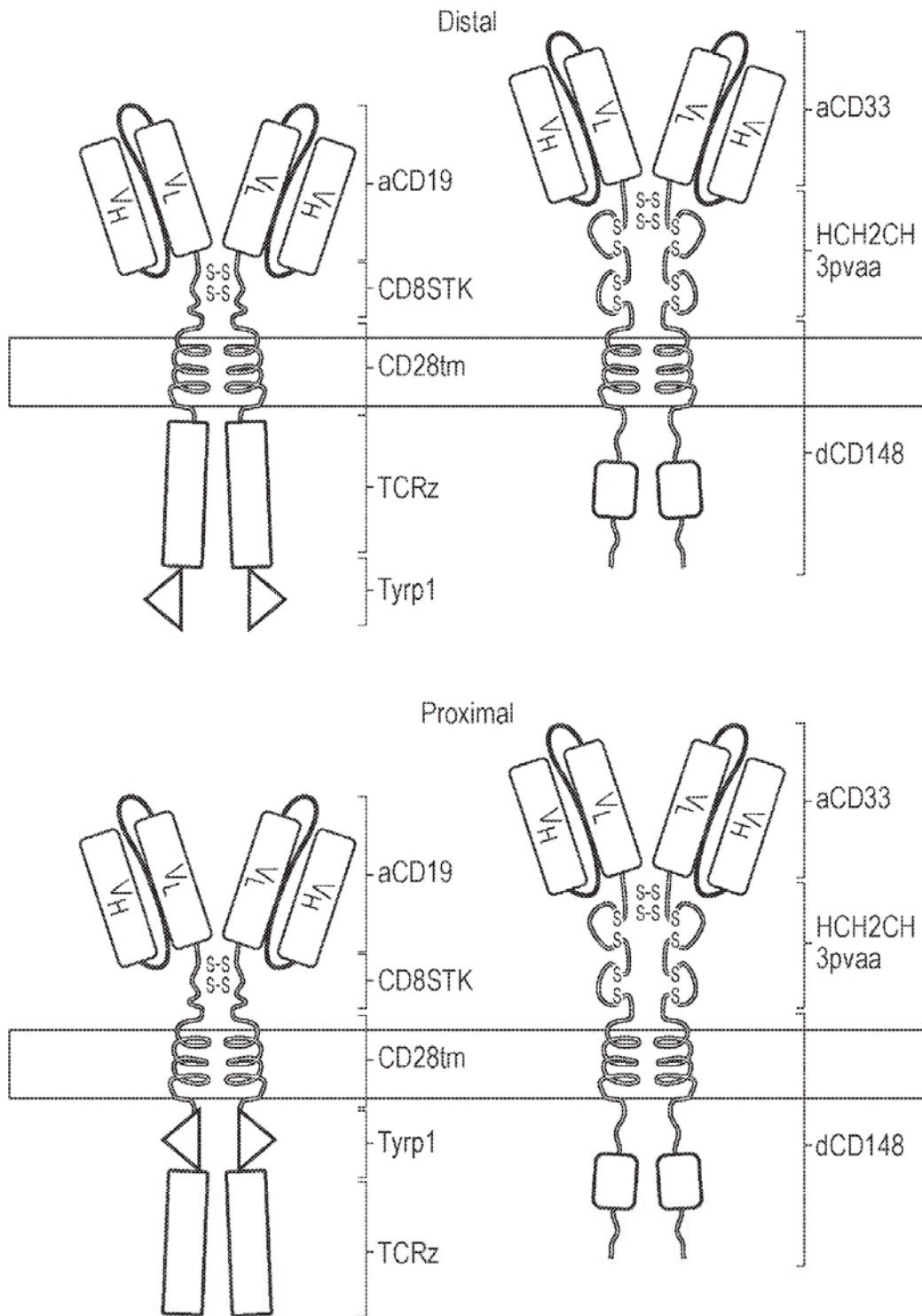


FIG. 10 (Continuación)

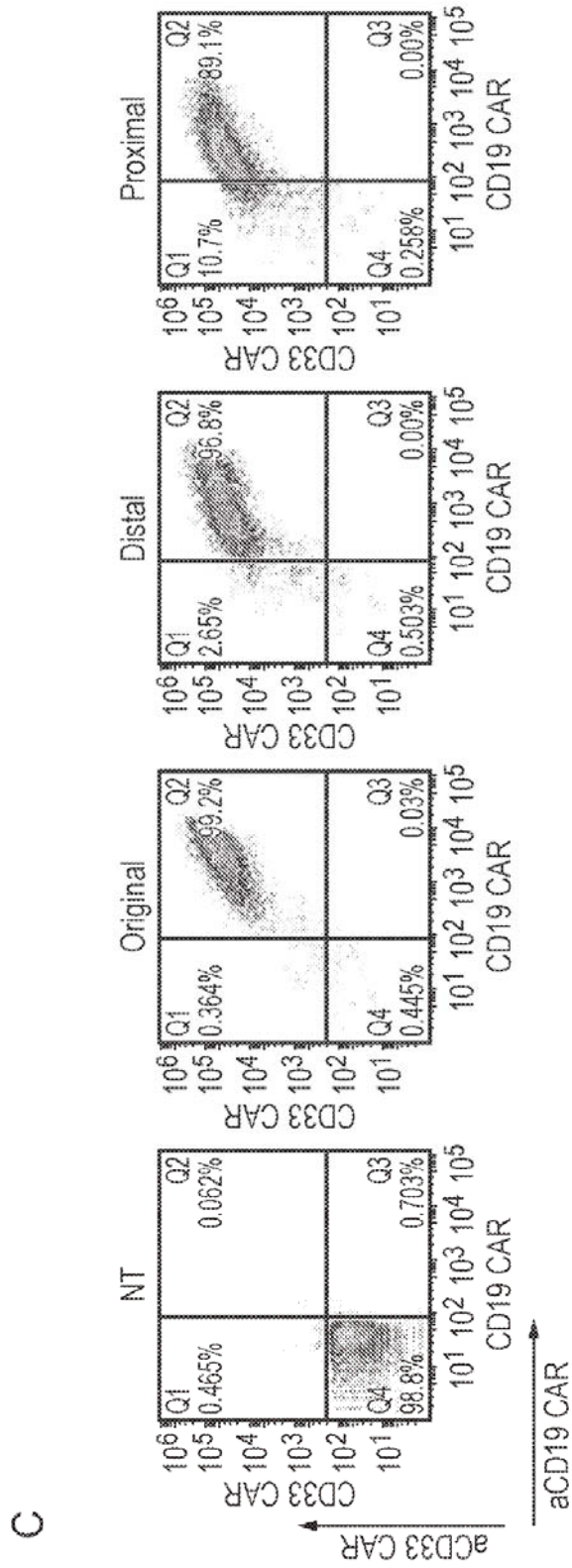


FIG. 10 (Continuación)

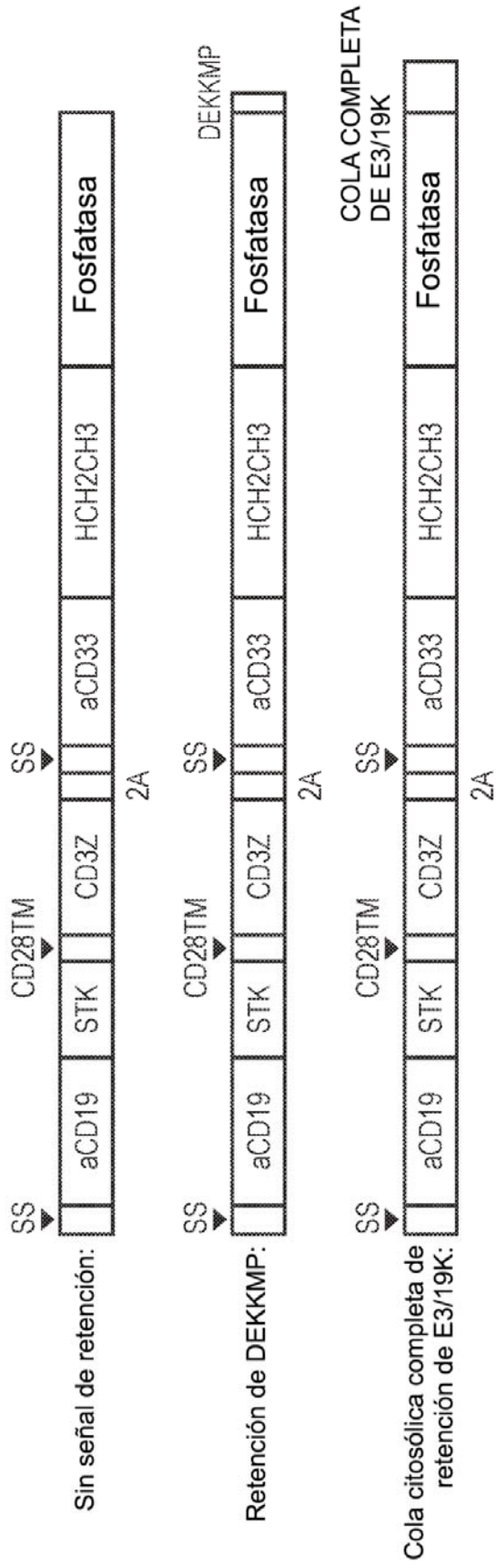


FIG. 11

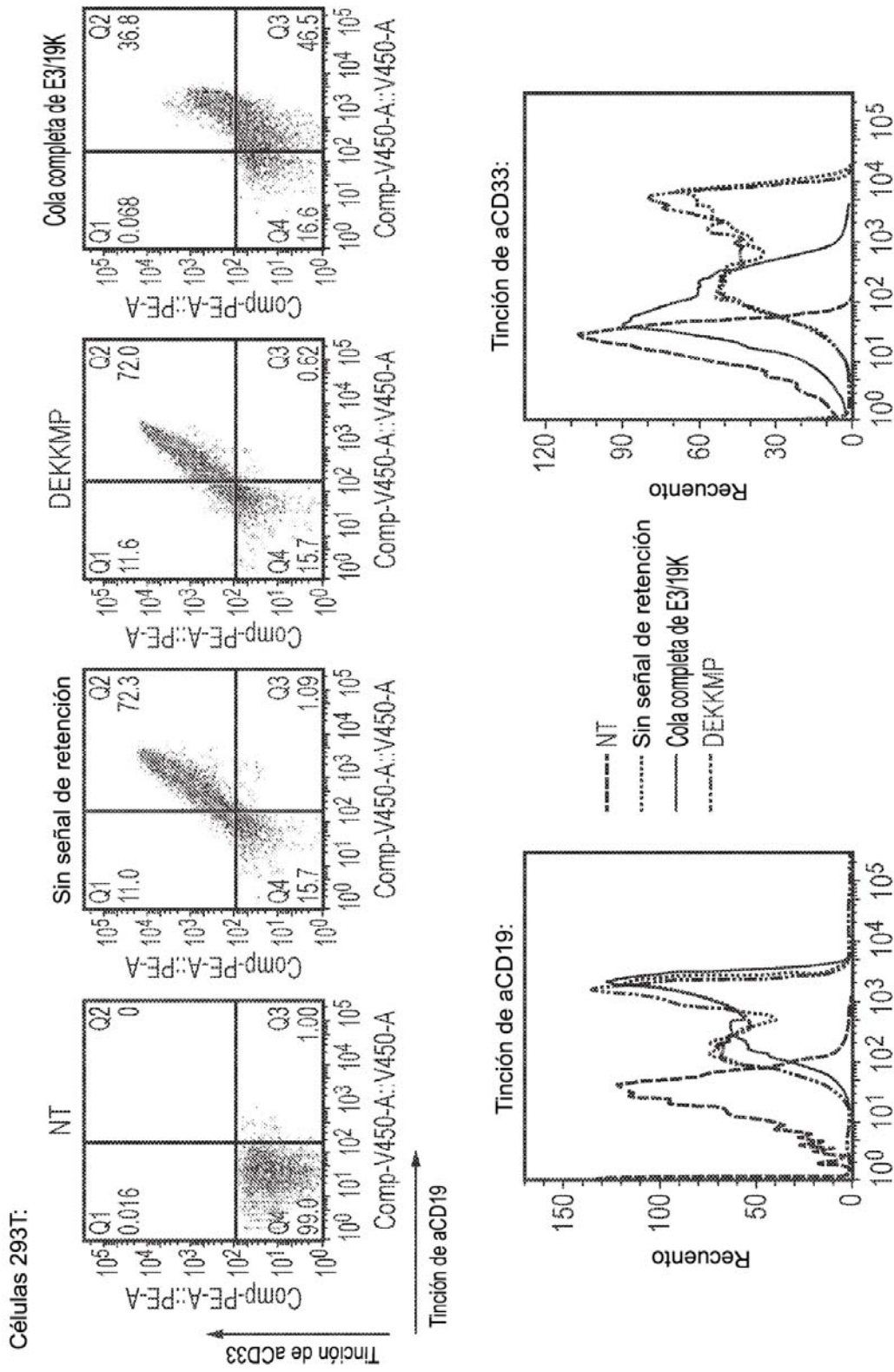


FIG. 12

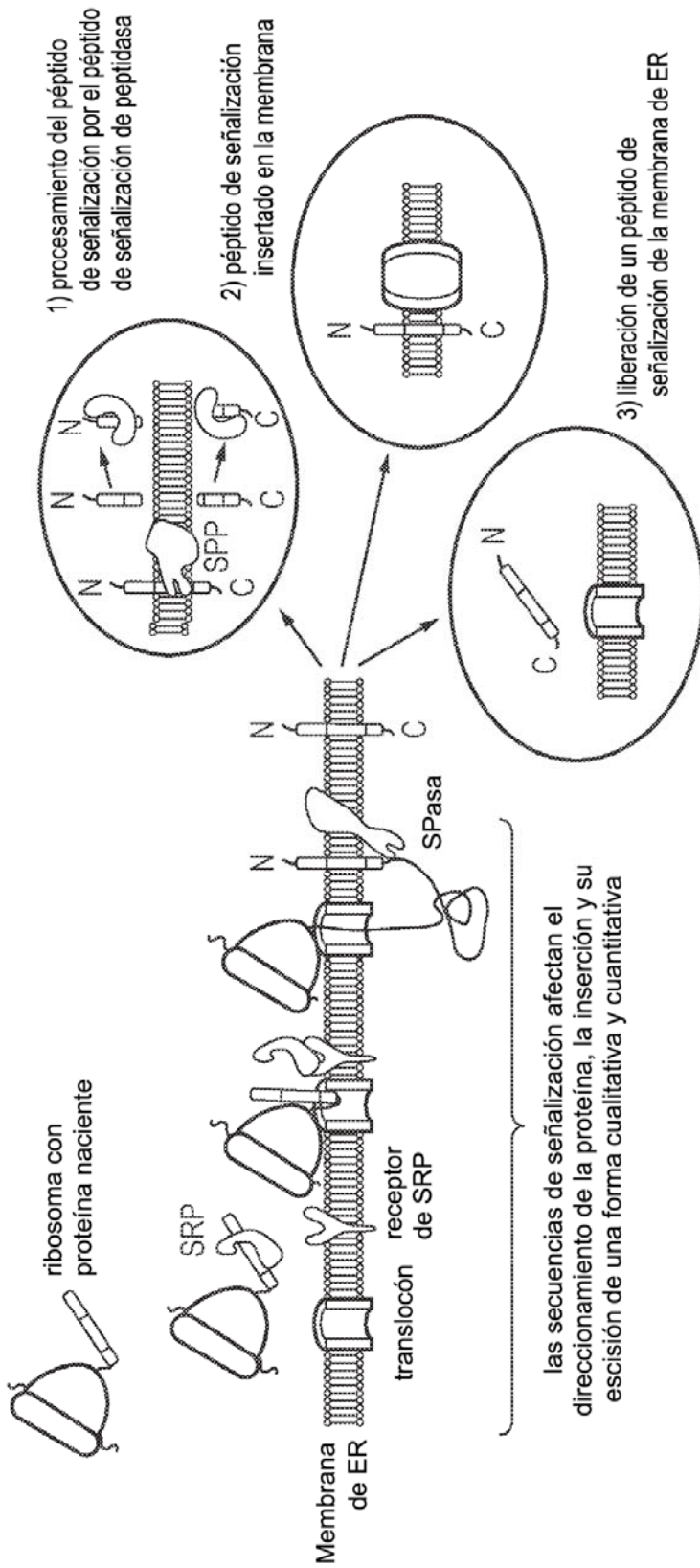


FIG. 13

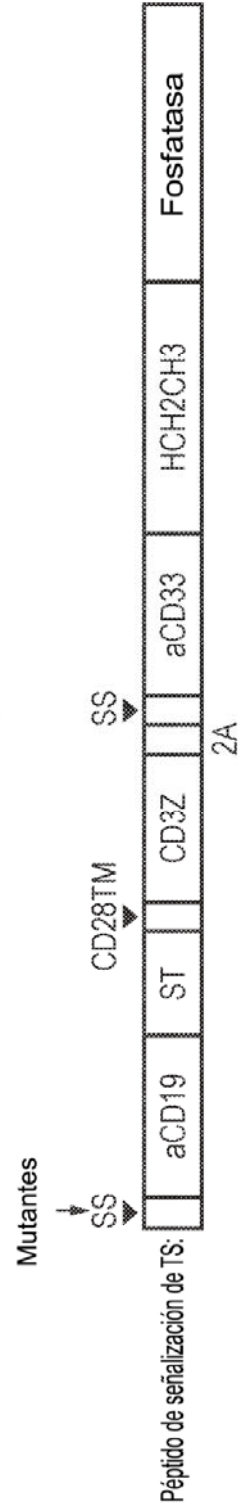


FIG. 14

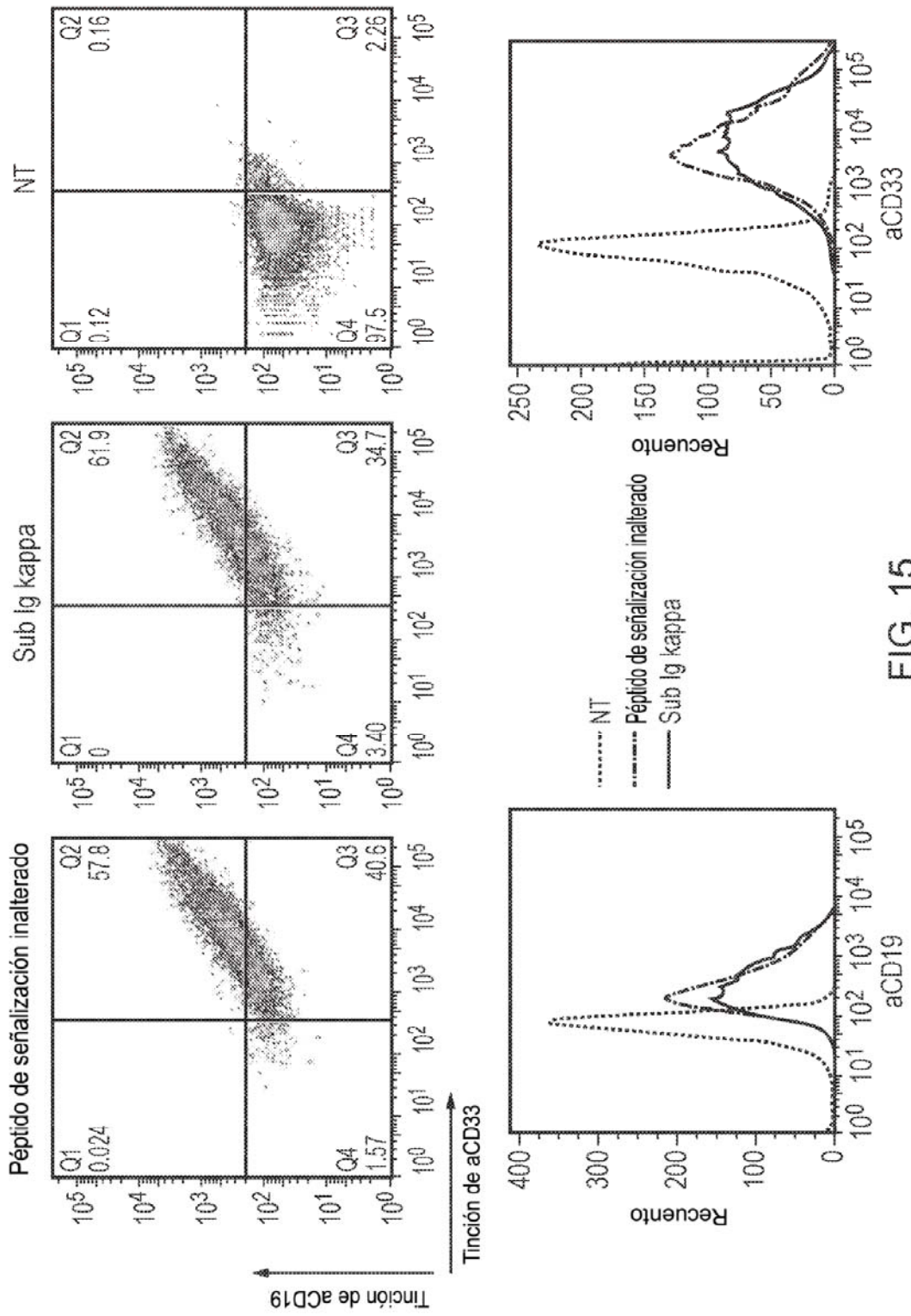


FIG. 15

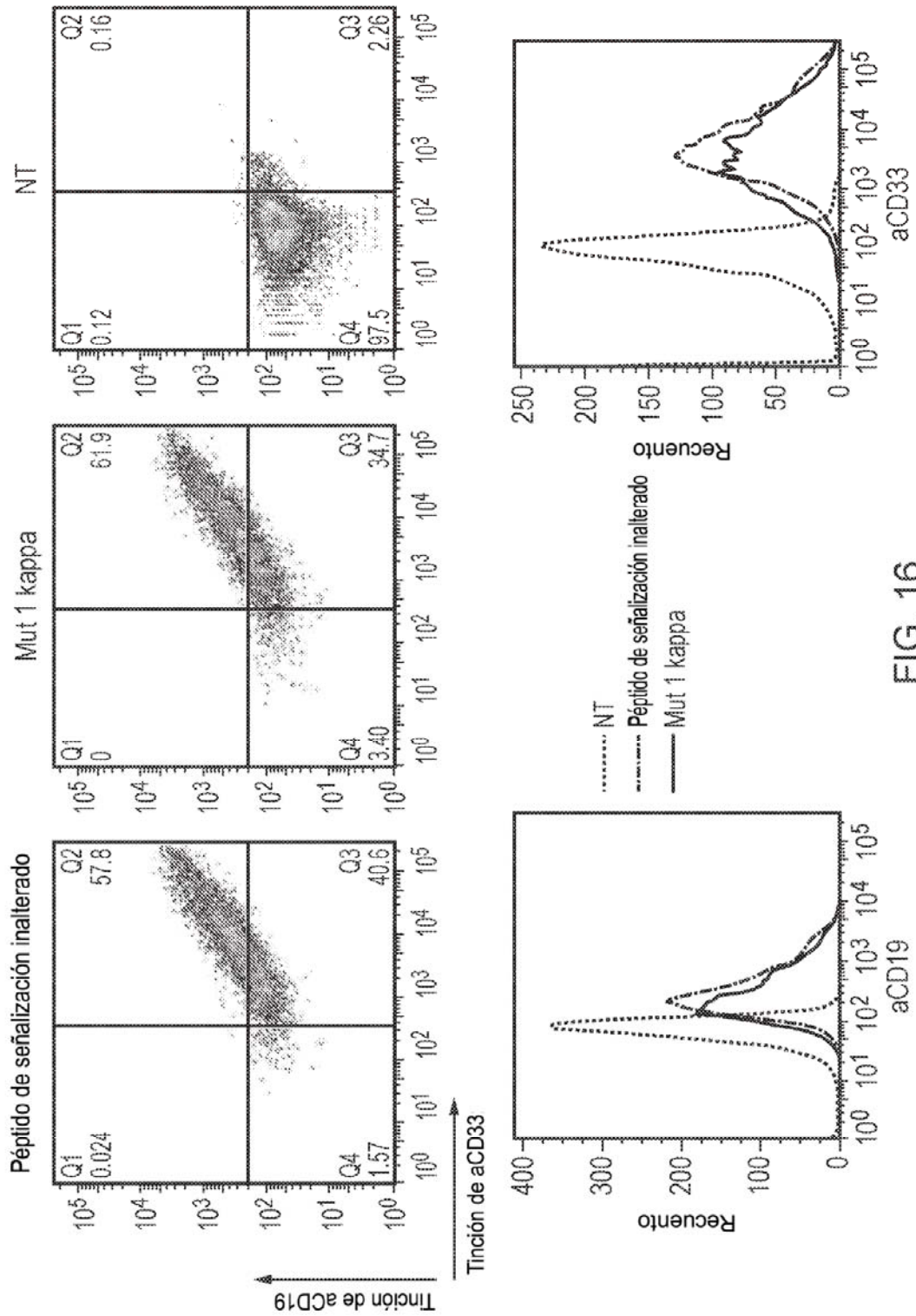


FIG. 16

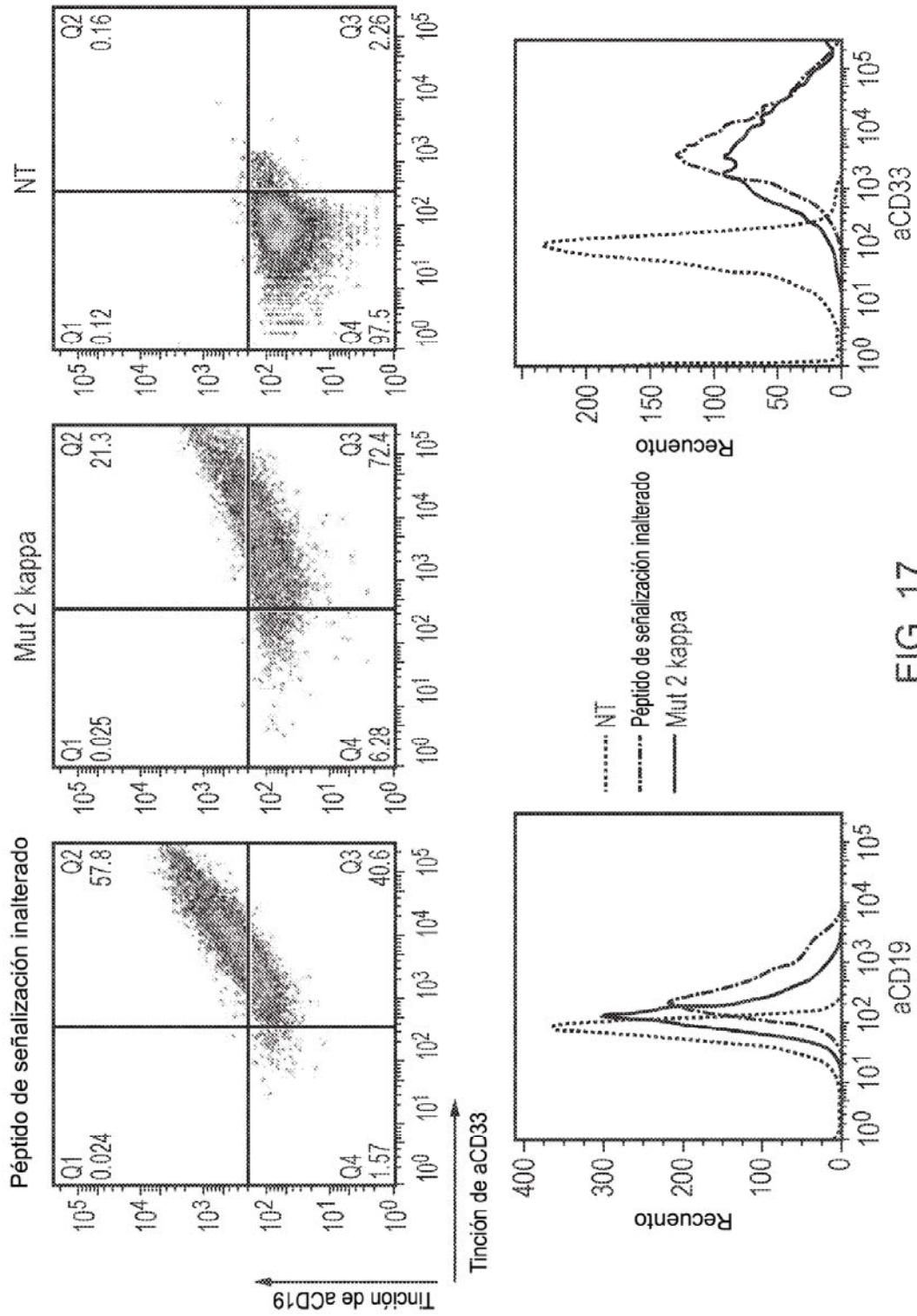


FIG. 17

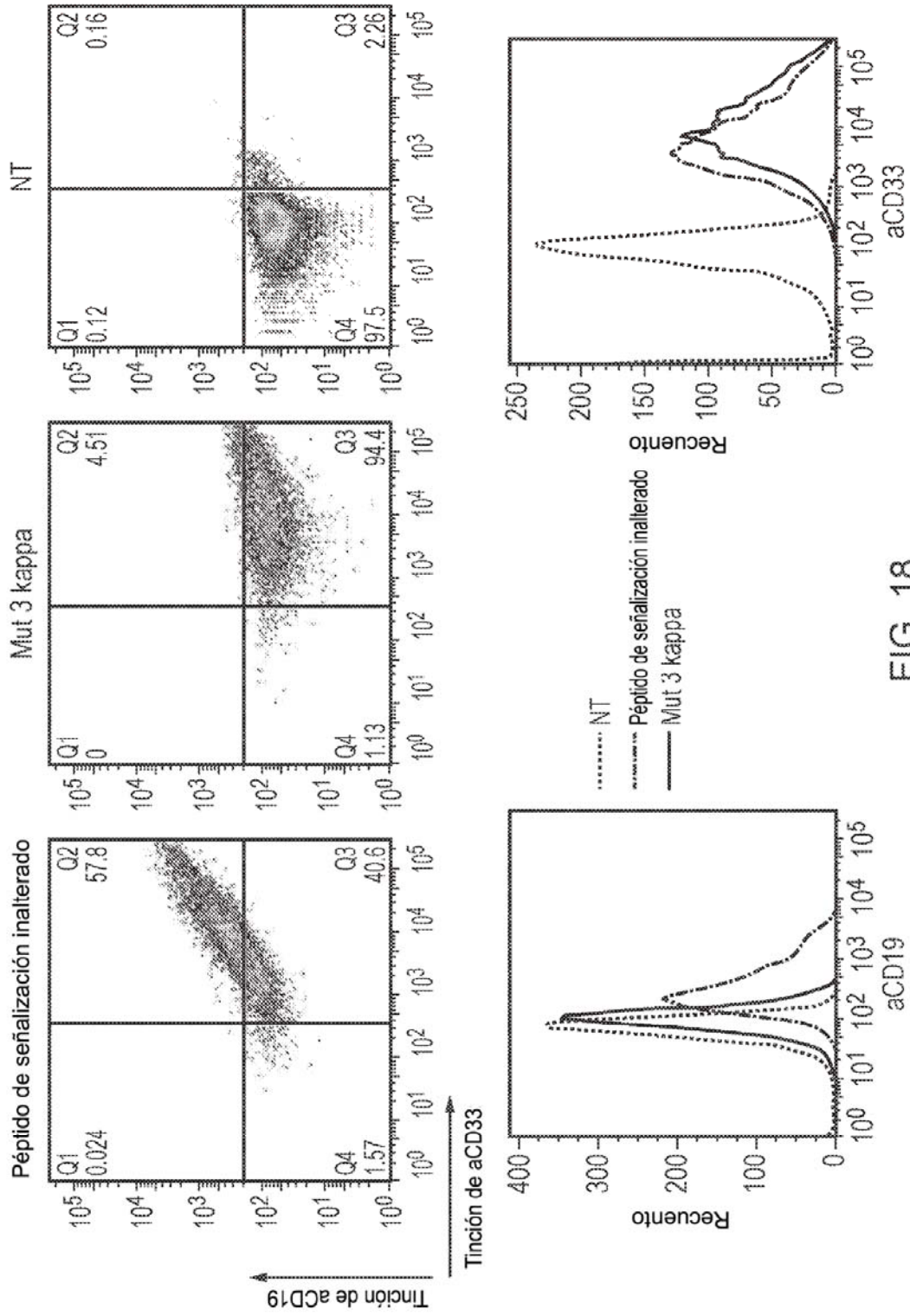


FIG. 18

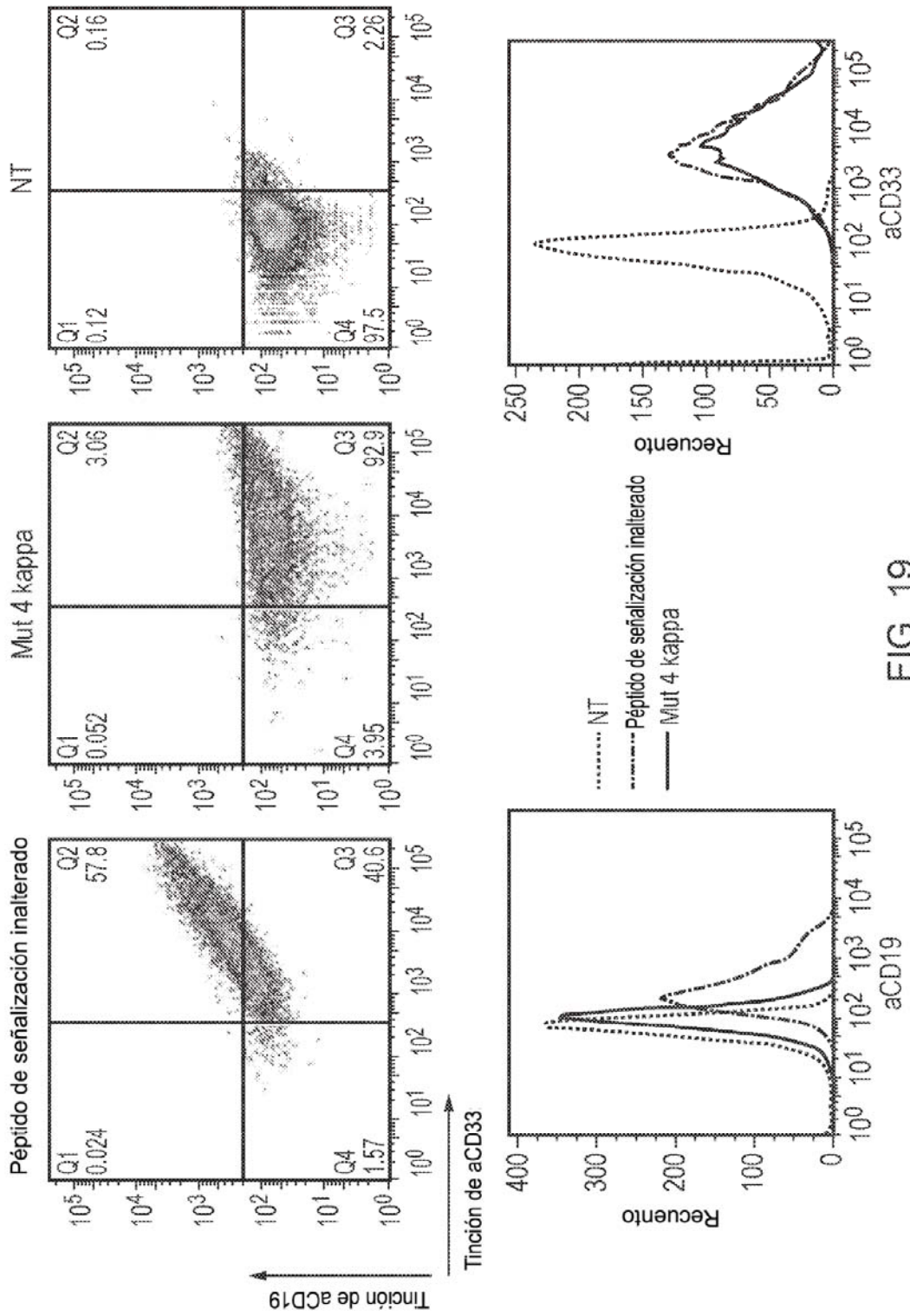


FIG. 19